UERJ OF TO STADOO

Universidade do Estado do Rio de Janeiro

Centro de Tecnologia e Ciências Programa de Pós-Graduação em Gestão e Regulação de Recursos Hídricos

Marcelo Kauffman

Qualidade da água no reservatório de Lajes-RJ: ocorrências de Cianobactérias e Cianotoxinas

Marcelo Kauffman

Qualidade da água no reservatório de Lajes-RJ: ocorrências de Cianobactérias e Cianotoxinas

Dissertação apresentada, como requisito parcial para obtenção do título de Mestre, ao Progama de Pós-Graduação em Gestão e Regulação de Recursos Hidrícos, Curso de Mestrado Profissional em Rede Nacional em Gestão e Regulação de Recursos Hidrícos (PROF-ÁGUA), na Universidade do Estado do Rio de Janeiro. Área de concentração: Regulação e Governança de Recursos Hídricos.

Orientador: Prof. Dr. Friedrich Wilhem Herms

CATALOGAÇÃO NA FONTE UERJ / REDE SIRIUS / BIBLIOTECA CTC/C

K211 Kauffman, Marcelo.

Assinatura

Qualidade da água no reservatório de Lajes-RJ: ocorrências de Cianobactérias e Cianotoxinas / Marcelo Kauffman .— 2021. 125 f. : il.

Orientador: Friedrich Wilhelm Herms. Dissertação (Mestrado) – Universidade do Estado do Rio de Janeiro, Centro de Tecnologia e Ciências.

1. Recursos hídricos - Teses. 2. Água - Qualidade - Teses. 3. Reservatório - Lajes (RJ) - Teses. 4. Abastecimento de água - Teses. 5. Gestão ambiental - Microorganismo - Teses. I. Herms, Friedrich Wilhelm. II. Universidade do Estado do Rio de Janeiro. Centro de Tecnologia e Ciências. III. Título.

CDU: 556.18(815.3)

Data

Bibliotecária Responsável: Priscila Freitas Araujo/ CRB-7: 7322

Autorizo,	apenas	para fins	acadêmicos	e científicos,	a r	reprodução	total c	ou parcial	desta
dissertaçã	o, desde	que citada	a fonte.						

Marcelo Kauffman

Qualidade da água no reservatório de Lajes-RJ: ocorrências de Cianobactérias e Cianotoxinas

Dissertação apresentada, como requisito parcial para obtenção do título de Mestre, ao Programa de Pós-Graduação em Gestão e Regulação de Recursos Hídricos, Curso de Mestrado Profissional em Rede Nacional em Gestão e Regulação de Recursos Hídricos (PROFÁGUA), na Universidade do Estado do Rio de Janeiro. Área de concentração: Regulação e Governança de Recursos Hídricos.

Aprovada em 07 de Janeiro de 2021.

Banca Examinadora:

Prof. Dr. Friedrich Wilhelm Herms (Orientador)

Faculdade de Oceanografia - UERJ

Prof. Dra. Cláudia Hamacher

Faculdade de Oceanografia - UERJ

Dr^a. Maria Isabel de A. Rocha

Ecology Brasil

DEDICATÓRIA

Dedico este trabalho ao Grande Arquiteto do Universo, à minha família por todo o apoio e ao meu amigo Geyson Mattos, que sem a sua ajuda, incentivo e palavras de apoio não teria conseguido.

AGRADECIMENTOS

Primeiramente, agradeço ao Grande Arquiteto do Universo por me permitir ter a glória de concluir mais uma etapa na vida com sucesso.

À minha mãe Ziva Kauffman, ao meu pai Natan Kauffman e à minha tia Malvina Baron, que sempre me deram apoio, em cada etapa, cada passo, cada momento vivido e presenciado, na vida e na instituição acadêmica.

À Maria Inês de Oliveira e ao Luiz Alvimar, a todo o apoio e suporte que me deram durante os três anos que me acolheram em sua família, permitindo o meu crescimento profissional e acadêmico.

Aos meus amigos Geyson Mattos, Alessandre Dias, José Vaz e Daniel Rodopiano pela amizade, companheirismo e incentivo.

Ao Friedrich Wilhelm Herms pela orientação, ensinamentos, amizade, apoio, socorro, incentivo e enorme carinho que me dedicou durante estes quase 3 anos de convivência.

Às professoras Dra. Maria Isabel de Almeida Rocha e Dra. Cláudia Hamacher que compõe a banca de avaliação.

À CEDAE, nas pessoas do Sérgio C. Marques, Rosiane Denofre e Adailton O. Fialho, agradeço a todos por toda a ajuda, flexibilidade concedida ao longo do mestrado, orientação profissional e acadêmica.

À LIGHT, na pessoa do Rinaldo Rocha, por todo o suporte fornecido para realização das coletas e amostragens.

Aos amigos da 2ª turma ProfÁgua (UERJ), por todas as conversas motivacionais, pelas experiências compartilhadas, pelo carinho e por toda ajuda.

Aos professores não só da universidade, mas de toda uma vida, dedico todo o meu respeito e reconhecimento pela linda profissão. Além do conhecimento acadêmico, vocês auxiliaram na minha formação pessoal e profissional, despertando senso crítico e a ética.

O presente trabalho foi realizado com apoio da coordenação de Aperfeiçoamento de Pessoal Nível Superior – Brasil (CAPES) – Código de Financiamento 001, agradeço também ao Programa de Mestrado Profissional em Rede Nacional em Gestão e Regulação de Recursos Hídricos – ProfÁgua, Projeto CAPES/ANA AUXPE Nº. 2717/2015, pelo apoio técnico científico aportado até o momento.

RESUMO

KAUFFMAN, Marcelo. **Qualidade de água no reservatório de Lajes-RJ**: ocorrência de Cianobactérias e Cianotoxinas. 2021. 125 f. Dissertação (Mestrado Profissional em Rede Nacional em Gestão e Regulação de Recursos Hídricos - PROF-ÁGUA), Centro de Tecnologia e Ciências, Universidade do Estado do Rio de Janeiro, Rio de Janeiro, 2021.

A represa de Lajes merece especial atenção devido a sua significativa contribuição ao sistema de abastecimento através da Companhia Estadual de Águas e Esgotos - CEDAE, sendo captados 5,5 m³/s, através de dois pontos de captação, para o abastecimento de 1,6 milhão de habitantes distribuídos em 7 municípios: Itaguaí, Japeri, Paracambi, Queimados, Rio de Janeiro, Seropédica e Piraí. O crescimento de cianobactérias vem se tornando cada vez mais frequente, indicando a necessidade de constante monitoramento. À vista disso, este trabalho objetivou avaliar os fatores e as variáveis que favorecem a floração de cianobactérias no ponto próximo a barragem do Reservatório de Lajes, através de coletas semanais, em quatro profundidades (superfície, 5m, 10m e 20m) durante o período janeiro/18-janeiro/19. Os parâmetros estudados foram: contagem e identificação das espécies de cianobactérias, nitrito, nitrato, amônia, ortofosfato, fósforo total, clorofila-α, oxigênio dissolvido, temperatura da água e para avaliação da ocorrência das cianotoxinas, microcistina, saxitoxina e cilindrospermopsina. O reservatório de Ribeirão das Lajes apresentou, durante o estudo, ocorrência de elevadas densidades de cianobactérias tendo ocorrências de aproximadamente 150.000 a 250.000 cél.mL⁻¹ e com picos de 400.000 cél.mL⁻¹, violando os limites estabelecidos pela CONAMA 357/05 para águas do tipo classe 1 (20.000 cél.mL⁻¹) em praticamente todo o ano, com diferenças significativas entre as estações climatológicas, tendo apresentado valores mais baixos no inverno. Dos gêneros identificados de cianobactérias, Aphanocapsa, Limnococcus, Lemmermanniella/Epigloeosphaera e Planktolyngbya limnetica se alternaram entre os gêneros dominantes de cianobactérias, sendo influenciados pelas estações climatológicas. Apesar da ocorrência do gênero Aphanocapsa ao longo de todo o período estudado, não foi detectada a presença das cianotoxinas avaliadas. Os resultados obtidos para os parâmetros oxigênio dissolvido e temperatura da água corroboram estudos desenvolvidos no reservatório que observaram uma estratificação térmica durante o verão, outono e primavera, ocorrendo a desestratificação no inverno. O grau de trofia do reservatório foi classificado como ultraoligotrófico para oligotrófico, apresentou baixas concentrações de clorofila-α, nitrogênio e fósforo, praticamente não sendo quantificadas concentrações de ortofosfato, possivelmente sendo limitante a organismos fitoplanctônicos. Apesar do baixo grau de trofia classificado pelo Índice de Estado Trófico – IET desenvolvido pela Companhia do Estado de São Paulo - CETESB, o reservatório foi enquadrado como moderadamente degradado pelo Índice de Qualidade de Águas em Reservatórios desenvolvido pelo Instituto Ambiental do Paraná - IAP. Embora as águas da represa de Lajes sejam consideradas de ótima qualidade e está situada em região onde não há indícios de forte contaminação antropogênica, é necessário uma permanente preocupação com as ocorrências de cianobactérias, devido ao aumento de densidade ao longo do tempo e a presença de gêneros potencialmente produtores de cianotoxinas.

Palavras-chave: reservatório tropical; Cianobactérias; Cianotoxinas.

ABSTRACT

KAUFFMAN, Marcelo. **Water quality in the Lajes-RJ reservoir:** occurrence of Cyanobacteria and Cyanotoxins. 2021. 125 f. Dissertação (Mestrado Profissional em Rede Nacional em Gestão e Regulação de Recursos Hídricos - PROF-ÁGUA), Centro de Tecnologia e Ciências, Universidade do Estado do Rio de Janeiro, Rio de Janeiro, 2021.

The Lajes Reservoir deserves special attention due to its significant contribution to the supply system through the State Water and Sewage Company – CEDAE, with 5.5 m³/s, through two catchment points for the supplying of 1.6 million inhabitants distributed in 7 municipalities: Itaguai, Japeri, Paracambi, Queimados, Rio de Janeiro, Seropedica and Pirai. The growth of cyanobacteria is becoming more and more frequent, indicating the need for constant monitoring. Therefore, this study aimed to evaluate the factors and variables that favor the flourishing of cyanobacteria at the point near the Lajes Reservoir dam through weekly collection in four depths (surface of 5m, 10m and 20 m) during the period of january/18 - january/19. The parameters studied were: counting and identification of the species of cyanobacteria, nitrite, nitrate, ammonia, orthophosphate, total phosphorus, chlorophyll-a, dissolved oxygen, water temperature and to evaluate the occurrence of cyanotoxins, mycrocystin, saxitoxin and cylinderspermopsin. The reservoir of Ribeirão das Lajes presented, during the study, the occurrence of high densities of cyanobacteria having occurrences of approximately 150,000 to 250,000 cells.mL⁻¹ and with peaks of 400,000 cell.ml⁻¹, violating the limits established by CONAMA 357/05 for class 1 waters (20,000 cel.m L⁻¹) in practically all year, with significant differences between climatological seasons, having presented lower values in winter. Of the identified genus of cyanobacteria, Aphanocapsa, Limnococcus, Lemmermanniella/Epigloeosphaera and Planktolyngbya limnetica alternated among the dominant genus, being influenced by weather seasons. Despite the occurrence of the genus Aphanocapsa throughout the study period, the presence of the evaluated cyanotoxins was not detected. The results obtained for the dissolved oxygen parameters and water temperature corroborate studies developed in the reservoir that observed a thermal stratification during the summer, autumn and spring, occurring de-stratification in the winter. The reservoir was classified as ultra-oligotrophic to oligotropic, presented low concentrations of chlorophyll-a, nitrogen and phosphorus, practically no ortophosphate concentrations were quantified, possibly being limiting to phytoplanktonic organisms. Although the classification of low degree by the Trophic State Index – EIT Despite the low trophic grade classified by the Tropical State Index – IET developed by the São Paulo State Company – CETESB, the reservoir was framed as moderately degraded by the Reservoir Water Quality Index developed by Paraná Environmental Institute – IAP. Although the water of the Lajes dam is considered to be of excellent quality and is located in a region where there are no signs of strong anthropogenic contamination, there is a need for a permanent concern with the occurrences of cyanobacteria, due to the increase in density over time and the presence of potentially cyanotoxin-producing genus.

Keywords: tropical reservoir; Cyanobacterias; Cyanotoxins.

LISTA DE FIGURAS

Figura 1 –	Evolução do processo de eutrofização cultural em um lago ou represa.
	Associação entre ouso e ocupação do solo e a eutrofização
Figura 2 –	Mapa e localização geográfica do reservatório de Ribeirão das Lajes
Figura 3 –	Localização do Reservatório de Lajes dentro do Complexo de estruturas
	da LIGHT
Figura 4 –	Imagem de satélite da bacia hidrográfica do Reservatório de Ribeirão das
	Lajes. Linha vermelha – limite da Bacia Hidrográfica do reservatório de
	Lajes. Ponto PF-01 (em verde) - Ponto de monitoramento
Figura 5 –	Unidades Hidrológicas de Planejamento da Região Hidrográfica II
Figura 6 –	Imagem da localização onde foi estabelecido o ponto de coleta
Figura 7 –	Disposição das comportas de emergência, serviço e da Calha CEDAE da
	barragem do Reservatório de Lajes
Figura 8 –	Materiais de coleta e de campo utilizado no trabalho (embarcação)
Figura 9 –	Evolução temporal da variação da profundidade do Disco de Secchi e da
	Zeu no ponto PF-01 entre janeiro/2018 e janeiro/2019
Figura 10 -	-Valores medianos, mínimo (Min) e máximo (Máx) da concentração de
	clorofila-a na superfície, 5, 10 e 20 m, do ponto PF-01, situado próximo a
	barragem do Reservatório de Ribeirão das Lajes, Piraí, RJ, para o período
	de janeiro de 2018 a janeiro de 2019
Figura 11 -	-Valores medianos, mínimo (Min) e máximo (Máx) de saturação de
	oxigênio dissolvido na superfície, 5, 10 e 20 m, do ponto PF-01, situado
	próximo a barragem do Reservatório de Ribeirão das Lajes, Piraí, RJ,
	para o período de janeiro de 2018 a janeiro de 2019
Figura 12 -	-Valores medianos, mínimo (Min) e máximo (Máx) de saturação de
	oxigênio dissolvido na superfície, 5, 10 e 20 m, do ponto PF-01, situado
	próximo a barragem do Reservatório de Ribeirão das Lajes, Piraí, RJ,
	para o período de janeiro de 2018 a janeiro de 2019
Figura 13 -	-Variação por data de amostragem da saturação de oxigênio dissolvido na
-	superfície, 5, 10 e 20 m, do ponto de PF-01, situado próximo a barragem
	do Reservatório de Ribeirão das Laies Piraí RI para o período de

	janeiro de 2018 a janeiro de 2019	7
Figura 14	-Estudo da sazonalidade da saturação de oxigênio dissolvido nas	
	profundidades superfície, 5, 10 e 20 m, do ponto de PF-01, situado	
	próximo a barragem do Reservatório de Ribeirão das Lajes, Piraí, RJ,	
	para o período de janeiro de 2018 a janeiro de 2019	7
Figura 15	-Gráficos Box plot para o parâmetro temperatura da água agrupados por	
	profundidade no do ponto de PF-01, situado próximo a barragem do	
	Reservatório de Ribeirão das Lajes, Piraí, RJ, para o período de janeiro	
	de 2018 a janeiro de 2019	8
Figura 16	-Evolução temporal da variação da temperatura da água nas profundidades	
	superfície, 5, 10 e 20 m, do ponto de PF-01, situado próximo a barragem	
	do Reservatório de Ribeirão das Lajes, Piraí, RJ, para o período de	
	janeiro de 2018 a janeiro de 2019	8
Figura 17	-Estudo da sazonalidade da temperatura da água nas profundidades	
	superfície, 5, 10 e 20 m, do ponto de PF-01, situado próximo a barragem	
	do Reservatório de Ribeirão das Lajes, Piraí, RJ, para o período de	
	janeiro de 2018 a janeiro de 2019	8
Figura 18	-Gráficos Box plot para o parâmetro pH agrupados por profundidade no	
	do ponto de PF-01, situado próximo a barragem do Reservatório de	
	Ribeirão das Lajes, Piraí, RJ, para o período de janeiro de 2018 a janeiro	
	de 2019	8
Figura 19	-Gráficos Box plot para o parâmetro nitrogênio amoniacal total agrupados	
	por profundidade no do ponto de PF-01, situado próximo a barragem do	
	Reservatório de Ribeirão das Lajes, Piraí, RJ, para o período de janeiro	
	de 2018 a janeiro de 2019	8
Figura 20	-Gráficos Box plot para o parâmetro nitrato agrupados por profundidade	
	no do ponto de PF-01, situado próximo a barragem do Reservatório de	
	Ribeirão das Lajes, Piraí, RJ, para o período de janeiro de 2018 a janeiro	
	de 2019	8
Figura 21	-Gráficos Box plot para o parâmetro nitrito agrupados por profundidade	
	no do ponto de PF-01, situado próximo a barragem do Reservatório de	
	Ribeirão das Lajes, Piraí, RJ, para o período de janeiro de 2018 a janeiro	
	de 2019	8

Figura 22 – Gráficos Box plot para o parâmetro fósforo total agrupados por profundidade no do ponto de PF-01, situado próximo a barragem do Reservatório de Ribeirão das Lajes, Piraí, RJ, para o período de janeiro de 2018 a janeiro de 2019.	88
Figura 23 – Gráficos Box plot para o parâmetro ortofosfato agrupados por profundidade no do ponto de PF-01, situado próximo a barragem do Reservatório de Ribeirão das Lajes, Piraí, RJ, para o período de janeiro de 2018 a janeiro de 2019	89
Figura 24 – Gráficos Box plot para o parâmetro cianobactérias agrupados por profundidade no do ponto de PF-01, situado próximo a barragem do Reservatório de Ribeirão das Lajes, Piraí, RJ, para o período de janeiro de 2018 a janeiro de 2019	91
Figura 25 – Distribuição relativa dos gêneros de cianobactérias na coluna d'água no do ponto de PF-01, situado próximo a barragem do Reservatório de Ribeirão das Lajes, Piraí, RJ, para o período de janeiro de 2018 a janeiro de 2019	93
Figura 26 – Densidade total de cianobactérias por profundidade e por amostragem no do ponto de PF-01, situado próximo a barragem do Reservatório de Ribeirão das Lajes, Piraí, RJ, para o período de janeiro de 2018 a janeiro de 2019	95
Figura 27 –Estudo da sazonalidade das cianobactérias por profundidade no ponto de PF-01, situado próximo a barragem do Reservatório de Ribeirão das Lajes, Piraí, RJ, para o período de janeiro de 2018 a janeiro de 2019	96
Figura 28 – Evolução temporal da variação da densidade de cianobactérias para o gênero <i>Aphanocapsa</i> na coluna d'água no do ponto de PF-01, situado próximo a barragem do Reservatório de Ribeirão das Lajes, Piraí, RJ, para o período de janeiro de 2018 a janeiro de 2019	98
Figura 29 – Estudo da sazonalidade do gênero <i>Aphanocapsa</i> por profundidade no ponto de PF-01, situado próximo a barragem do Reservatório de Ribeirão	
das Lajes, Piraí, RJ, para o período de janeiro de 2018 a janeiro de 2019 Figura 30 – Evolução temporal da variação da densidade de cianobactérias para o gênero <i>Limnococcus</i> na coluna d'água no do ponto de PF-01, situado próximo a barragem do Reservatório de Ribeirão das Lajes, Piraí, RJ,	99

para o período de janeiro de 2018 a janeiro de 2019	100
Figura 31 – Estudo da sazonalidade do gênero Limnococcus por profundidade no	
ponto de PF-01, situado próximo a barragem do Reservatório de Ribeirão	
das Lajes, Piraí, RJ, para o período de janeiro de 2018 a janeiro de 2019	101
Figura 32 - Evolução temporal da variação da densidade de cianobactérias para o	
gênero Lemmermanniella/Epigloeosphaera na coluna d'água no do ponto	
de PF-01, situado próximo a barragem do Reservatório de Ribeirão das	
Lajes, Piraí, RJ, para o período de janeiro de 2018 a janeiro de 2019	102
Figura 33 – Estudo da sazonalidade do gênero Lemmermanniella/Epigloeosphaera	
por profundidade no ponto de PF-01, situado próximo a barragem do	
Reservatório de Ribeirão das Lajes, Piraí, RJ, para o período de janeiro	
de 2018 a janeiro de 2019	103
Figura 34 – Evolução temporal da variação da densidade de cianobactérias para o	
gênero Planktolyngbya limnetica na coluna d'água no do ponto de PF-01,	
situado próximo a barragem do Reservatório de Ribeirão das Lajes, Piraí,	
RJ, para o período de janeiro de 2018 a janeiro de 2019	104
Figura 35 – Estudo da sazonalidade do gênero <i>Planktolyngbya limnetica</i> por	
profundidade no ponto de PF-01, situado próximo a barragem do	
Reservatório de Ribeirão das Lajes, Piraí, RJ, para o período de janeiro	
de 2018 a janeiro de 2019	105

LISTA DE TABELAS

Tabela 1 –	Quimiodiversidade de cianotoxinas, modo de ação em mamíferos e	
	principais gêneros de cianobactérias produtoras	28
Tabela 2 –	Casos de intoxicação em animais por cianotoxinas descritos na	
	literatura ocorridos entre os anos de 1800 e 2020	30
Tabela 3 –	Parâmetros utilizados neste estudo e limites estabelecidos para águas	
	doces de classe 1, segundo a Resolução CONAMA 357/2005	34
Tabela 4 –	Classificação dos Reservatórios, segundo Índice de Estado Trófico	
	(IET)	36
Tabela 5 –	Matriz de classes contendo a faixa dos parâmetros de qualidade de	
	água – IQAR	39
Tabela 6 –	Variáveis selecionadas e seus respectivos pesos	40
Tabela 7 –	Classes de Qualidade de Água segundo os Índices de Qualidade de	
	Água de Reservatórios (IQAR)	40
Tabela 8 –	Parâmetros e limites de detecção utilizados no estudo	53
Tabela 9 –	Relação do número de coletas, parâmetros e observações realizadas no	
	ponto de monitoramento PF-01	54
Tabela 10 –	Nome, notação de referência e unidade dos parâmetros estudados,	
	presentes no banco de dados	57
Tabela 11 –	Testes de normalidade Shapiro-Wilk a um nível de significância de	
	5% para os pontos monitorados	58
Tabela 12 –	Testes de Kruskal-Wallis a um nível de significância de 5% para	
	avaliação da homogeneidade dos dados entre as profundidades no	
	ponto PF-01	58
Tabela 13 –	Testes de Kruskal-Wallis a um nível de significância de 5% para	
	avaliação da homogeneidade dos dados entre cada profundidade no	
	ponto PF-01	60
Tabela 14 –		
	avaliação da homogeneidade dos dados entre as estações	
	climatológicas na superfície da coluna d'água no ponto PF-01	61
Tabela 15 –	Testes de Kruskal-Wallis a um nível de significância de 5% para	

	avaliação da homogeneidade dos dados entre as estações	
	climatológicas na profundidade de 5m no ponto PF-01	62
Tabela 16 –	Testes de Kruskal-Wallis a um nível de significância de 5% para	
	avaliação da homogeneidade dos dados entre as estações	
	climatológicas na profundidade de 10m no ponto PF-01	63
Tabela 17 –	Testes de Kruskal-Wallis a um nível de significância de 5% para	
	avaliação da homogeneidade dos dados entre as estações	
	climatológicas na profundidade de 20m no ponto PF-01	64
Tabela 18 –	Testes de Kruskal-Wallis a um nível de significância de 5% nos	
	parâmetros entre as estações climatológicas e por estação	
	climatológica para na superfície da coluna d'água no ponto PF-01	65
Tabela 19 –	Testes de Kruskal-Wallis a um nível de significância de 5% nos	
	parâmetros entre as estações climatológicas e por estação	
	climatológica para a profundidade de 5m no ponto PF-01	66
Tabela 20 –	Testes de Kruskal-Wallis a um nível de significância de 5% nos	
	parâmetros entre as estações climatológicas e por estação	
	climatológica para a profundidade de 10m no ponto PF-01	67
Tabela 21 –	Testes de Kruskal-Wallis a um nível de significância de 5% nos	
	parâmetros entre as estações climatológicas e por estação	
	climatológica para a profundidade de 20m no ponto PF-01	68
Tabela 22 –	Estatística descritiva dos dados das amostras coletadas nas	
	profundidades superfície, 5m, 10m e 20m entre janeiro/2018 e	
	janeiro/2019 no ponto PF-01	70
Tabela 23 –	Identificação dos gêneros de cianobactérias encontradas na Barragem	
	do Reservatório de Ribeirão das Lajes	91
Tabela 24 –	Índice de Estado Trófico calculado para o ponto de PF-01, situado	
	próximo a barragem do Reservatório de Ribeirão das Lajes, Piraí, RJ,	
	para o período de janeiro de 2018 a janeiro de 2019 agrupado por	
	estação climatológica	106
Tabela 25 –	Índice de Qualidade de Água de Reservatórios do Reservatório para o	
	ponto de PF-01, situado próximo a barragem do Reservatório de	
	Ribeirão das Lajes, Piraí, RJ, para o período de janeiro de 2018 a	
	janeiro de 2019 agrupado por estação climatológica	107

LISTA DE ABREVIATURAS E SIGLAS

ANA Agência Nacional de Águas e Saneamento Básico

CEDAE Companhia Estadual de Águas e Esgotos

CETESB Companhia Ambiental do Estado de São Paulo

CONAMA Conselho Nacional do Meio Ambiente

IAP Instituto Ambiental do Paraná

IET Índice de Estado Trófico

IQAR Índice de Qualidade de Água em Reservatórios

LIGHT Light Serviços de Eletricidade S.A

LPS Lipopolissacarídeos

LD Limite de Detecção

N Valores válidos

PCM Portaria da Consolidação do Ministério da Saúde

pH Potencial Hidrogeniônico

RH II Região Hidrográfica II

RSFA Radiação Solar Fotossintética Ativa

UHP Unidade Hidrológica de Planejamento

SUMÁRIO

	INTRODUÇÃO	17
1	OBJETIVO GERAL	19
1.1	Objetivos Específicos	19
2.	REVISÃO DA LITERATURA	20
2.1	Fitoplâncton e Reservatórios	20
2.2	Eutrofização	21
2.3	Cianobactérias	25
2.4	Cianotoxinas	27
2.5	Cianobactérias, cianotoxinas e fatores ambientais	29
2.6	Legislação e Qualidade da Água	33
2.7	Índice de Estado Trófico – IET	35
2.8	Índice de Qualidade de Água em Reservatórios – IQAR	36
3	ÁREA DE ESTUDO	40
3.1	Caracterização da área de estudo	40
3.1.1	Clima	44
3.1.2	Hidrografia	44
4	METODOLOGIA	45
4.1	Ponto de coleta	46
4.2	Coletas e análises de campo	47
4.3	Análises laboratoriais	49
4.4	Avaliação e organização dos dados	51
4.5	Análises estatísticas	52
4.5.1	Aplicação de testes estatísticos.	52
4.5.2	Análise descritiva dos resultados	53
5	RESULTADOS	54
5.1	Análise estatística	54
5.1.1	Teste de normalidade	54
5.1.2	Teste de Kruskal-Wallis	55
5.2	Análise descritiva	66
5 3	Índice de Estado Trófico (IET)	103

5.4	Índice de Qualidade de Água de Reservatórios (IQAR)	105
6	Discussão dos Resultados	106
	CONSIDERAÇÕES FINAIS	110
	REFERÊNCIAS	111
	APÊNDICE — Testes de kruskal-wallis aplicados a cada profundidade, entre cada parâmetro, a estação climatológica e em cada estação climatológica	120

INTRODUÇÃO

A água é um elemento vital para o ecossistema, para existência e o bem-estar do ser humano, sendo necessário estar disponível em quantidade suficiente e em boa qualidade para garantir a manutenção da vida.

Diversos são os usos praticados nos ambientes aquáticos em todo o mundo, com diferentes finalidades, entre as quais se destacam o abastecimento de água (doméstico e industrial), a geração de energia, a irrigação, a navegação, pesca, a aquicultura, a harmonia paisagística, dessedentação de animais, preservação da fauna e da flora, criação de espécies, diluição e transporte de despejos (MORAES; JORDÃO, 2002).

Atualmente, um dos principais desafios da população humana está relacionado a disponibilidade de água doce. O crescimento populacional, a urbanização, a transformação do uso e ocupação do solo, a poluição e as mudanças climáticas têm impactado a disponibilidade de água doce em qualidade e em quantidade para os usos múltiplos (VIALLE *et al.*, 2011).

O aumento na poluição dos corpos d'água, especialmente o lançamento de efluentes domésticos e industriais sem tratamento adequado, utilização intensa de fertilizantes na agricultura, principalmente no uso de nutrientes fosfatados e nitrogenados, vem enriquecendo os ambientes aquáticos com altas taxas de matéria orgânica, nutrientes, substâncias inorgânicas e tóxicas, acelerando os processos de eutrofização dos ecossistemas aquáticos (BRANDÃO; DOMINGOS, 2006)

O processo de eutrofização consiste no aumento da concentração de nutrientes, principalmente pelo fósforo e nitrogênio em um dado sistema aquático, tendo como consequência o aumento da produtividade primária do meio, podendo levar a crescimentos exagerados de organismos aquáticos autotróficos, como algas, cianobactérias e macrófitas aquáticas, causando alterações diversas sobre o funcionamento dos ecossistemas aquáticos (ARAÚJO et al., 2013).

As algas e as cianobactérias constituem o fitoplâncton, que são organismos planctônicos que obtêm sua energia a partir dos processos de fotossíntese. O aumento excessivo desses microrganismos pode representar um sério risco à saúde da população, em função da potencialidade de produção de toxinas por algumas espécies de cianobactérias, as chamadas cianotoxinas. Além disso, o excesso populacional de cianobactérias pode acarretar o desequilíbrio dos ecossistemas aquáticos pela geração do biofilme superficial, alterando a transparência do meio, podendo conduzir à desoxigenação do corpo d'água. Florações de

cianobactérias podem gerar prejuízos econômicos, tendo em vista que nestas situações a pesca e o contato primário (em ambientes destinados à recreação) devem ser interrompidos (BRASIL,2005).

A qualidade da água bruta de mananciais captada com a finalidade do abastecimento público é uma premissa para a sua escolha. Dentro desse contexto, o reservatório de Ribeirão das Lajes merece uma especial atenção devido a sua significativa contribuição ao sistema de abastecimento do Estado do Rio de Janeiro, sendo captados aproximadamente 5,5 m³/s para o abastecimento de cerca de 1,8 milhão de habitantes distribuídos em 7 municípios: Itaguaí, Japeri, Paracambi, Piraí, Queimados, Rio de Janeiro e Seropédica. No entanto, os múltiplos usos que o reservatório comporta, tendo como usuários a LIGHT, CEDAE, AMBEV, empreendedores que cultivam uma piscicultura de tilápia, clube de pesca e moradores da região que utilizam a represa como hidrovia vêm aumentando a degradação e gerando alteração na qualidade da água. Destarte, o manancial de Ribeirão das Lajes ainda se destaca pela qualidade das suas águas, apesar de estar sendo observado aumento nas densidades de cianobactérias.

A crise hídrica que afetou o Sudeste, em especial o Rio de Janeiro durante o período 2014-2015, demandou entendimentos e concessões dos diferentes atores envolvidos com os múltiplos usos das principais fontes de recursos hídricos do Estado do Rio de Janeiro, minimizando o impacto da crise hídrica para a sociedade. Em seu trabalho, Teixeira (2018), demonstrou a fragilidade dos sistemas de gestão de recursos hídricos, agravados pela escassez de chuvas e a elevada produção de energia realizada pelo setor elétrico, impactando de forma significativa a disponibilidade dos recursos hídricos na bacia do rio Paraíba do Sul. Nesse contexto a Agência Nacional de Águas e Saneamento Básico (ANA) teve papel importante na mediação do conflito, destacando o uso prioritário dos recursos hídricos para abastecimento humano e dessedentação de animais, buscou a gestão eficiente desses recursos que atendesse os múltiplos usos.

Tendo em vista que as águas do Reservatório de Lajes são utilizadas para usos múltiplos e tendo relevante parcela de contribuição para abastecimento de água de parte da Região Metropolitana do Rio de Janeiro (RMRJ), torna-se necessário o acompanhamento e monitoramento constante da qualidade de suas águas.

1 OBJETIVO GERAL

O presente estudo tem como objetivo geral avaliar a dinâmica da ocorrência da comunidade de cianobactérias, produção de cianotoxinas e busca compreender as principais variáveis físicas, químicas e ambientais que regulam estas ocorrências, através de monitoramento semanal da coluna d'água em diferentes profundidades em um ponto próximo a barragem do Reservatório de Ribeirão das Lajes.

1.1 Objetivos Específicos

Os objetivos específicos esperados do trabalho são:

- a) Avaliar a ocorrência de populações de cianobactérias no Reservatório de Lajes, através de coletas semanais, ao longo de quatro profundidades da coluna d'água no ponto próximo à barragem do reservatório;
- b) Estudar a distribuição de gêneros de cianobactérias ao longo da coluna d'água no ponto próximo à barragem do reservatório;
- c) Avaliar a ocorrência de produção de microcistinas e saxitoxinas, e cilindrospermopsina através de coletas semanais d'água no ponto próximo à barragem do reservatório;
- d) Coletar amostras de água bruta e analisar as variáveis físicas e químicas: temperatura da água, saturação de oxigênio dissolvido, transparência da água, pH, concentração de nutrientes e clorofila-*a* em quatro profundidades no ponto próximo a barragem do reservatório;

2 REVISÃO DA LITERATURA

2.1 Fitoplâncton e Reservatórios

Os reservatórios de água são ambientes de transição entre rios e lagos, podendo ser naturais ou artificiais, estando presentes nas principais bacias hidrográficas brasileiras. Os reservatórios artificiais são grandes obras de engenharia civil motivadas por demandas regionais específicas, como geração de energia elétrica, regulação da vazão de rios, abastecimento, recreação, pesca, aquicultura, irrigação, uso industrial, entre outras (ROCHA, 2012).

Segundo Rocha (2012) a bacia hidrográfica, o reservatório e as descargas a jusante, são três subsistemas ecológicos que operam em conjunto e suas interações são interdependentes. O reservatório, sendo um desses componentes, tem sua função determinada por ações climatológicas, hidrológicas e operacionais.

Os reservatórios conservam diferenças espaciais e temporais na estrutura da comunidade fitoplanctônica. No mundo, diversos trabalhos descrevem a comunidade fitoplanctônica em reservatórios, destacando-se os trabalhos de McIntire, Larson e Truitt (2007); Salmasso e Padisâk (2007); Cabecinha *et al.* (2009), Becker *et al.* (2010), Bortolini *et al.* (2019) e Allende *et al.* (2019).

No Brasil, sobre esse assunto, destacam-se os trabalhos de Dos Santos e Calijuri (1998); Bouvy *et al.* (2000); Figueredo e Giani (2001); Calijuri *et al.* (2002); Falco e Calijuri (2002); Ramírez e Bicudo (2002); Tucci e Sant'anna (2003); Silva, Train e Rodrigues (2005); Train *et al.* (2005); Moura *et al.* (2007); Rocha (2007); Borges, Train e Rodrigues (2008); Crosseti *et al.* (2008); Dellamano-Oliveira *et al.* (2008); Becker, Huszar e Crossetti (2009); Figueredo e Giani (2009); Cunha e Calijuri (2011); Cunha (2012); Rocha (2012), Adloff *et al.* (2018) e Braga e Becker (2020).

Os autores supracitados analisaram as influências de diversos fatores determinantes da distribuição e composição das comunidades fitoplanctônicas em reservatórios, dentre os quais destacam-se: estabilidade da coluna de água, tempo de detenção hidráulica, operação da barragem, disponibilidade de nutrientes, penetração da luz na camada d'água, temperatura e predação. O uso e ocupação do solo no entorno do reservatório também ressoam no padrão da comunidade fitoplanctônica, temporal e espacialmente.

No Reservatório de Ribeirão das Lajes alguns trabalhos se destacam: Gomes (2005) em seu trabalho, estudou através de mesocosmos, os efeitos do enriquecimento artificial e os efeitos da atividade de piscicultura, nas características físicas e químicas e na comunidade fitoplanctônica do Reservatório de Ribeirão das Lajes, tendo observado que a comunidade fitoplanctônica do reservatório esteve dominada por espécies de cianobactérias durante todo o período experimental, com as maiores contribuições das espécies Leptolyngbya perelegans (55%) e Cyanodictyon sp. (8,7%). Branco et al. (2009) estudou a hidrodinâmica de mistura e estratificação do perfil vertical em um ponto localizado na barragem do reservatório, indicando que o reservatório segue um padrão monomítico quente, Puga (2016) avaliou a representatividade da biomassa em termos de carbono em componentes do fitoplâncton e zooplâncton em sete reservatórios tropicais de características hidrodinâmicas e de trofia distintas, destacando o grupo Dinophyceae como um dos mais representativos no Reservatório de Ribeirão das Lajes. Silva (2016) relacionou a composição da comunidade fitoplanctônica às condições da coluna d'água, sobretudo nos períodos de estratificação térmica, destacando a ocorrência de cianobactérias. Teixeira (2020) complementou os estudos iniciados por Branco et al. (2009), porém com uma conclusão diferente, onde demonstrou que não ocorre a mistura da coluna d'água nos meses de inverno, diferentemente do apontado pelo estudo realizado por Branco et al. (2009).

A dinâmica entre as condições ambientais, características do reservatório e disponibilidade de nutrientes são fatores determinantes na composição fitoplanctônica.

2.2 Eutrofização

A eutrofização é o processo de enriquecimento de um corpo d'água por nutrientes fundamentais para o crescimento vegetal, principalmente fósforo e nitrogênio, podendo ser natural ou através da ação antropogênica (KALFF, 2002).

No processo de eutrofização natural dos corpos hídricos os aportes de nutrientes são realizados pelas chuvas e pelas águas superficiais que erodem e lavam as superfícies terrestres, sendo este um processo gradual e contínuo podendo perdurar por centenas de anos, uma vez que depende de diversos fatores, dentre eles, da dinâmica do fluxo de carga inorgânica no lago, tempo de renovação das águas e da contribuição dos processos naturais nas bacias hidrográficas (ESTEVES, 1998).

Quando o processo de eutrofização natural é intensificado devido às ações antropogênicas, alterando os ciclos químicos e biológicos do ecossistema aquático, é denominado eutrofização cultural ou artificial (TUNDISI; MATSUMURA-TUNDISI, 2008).

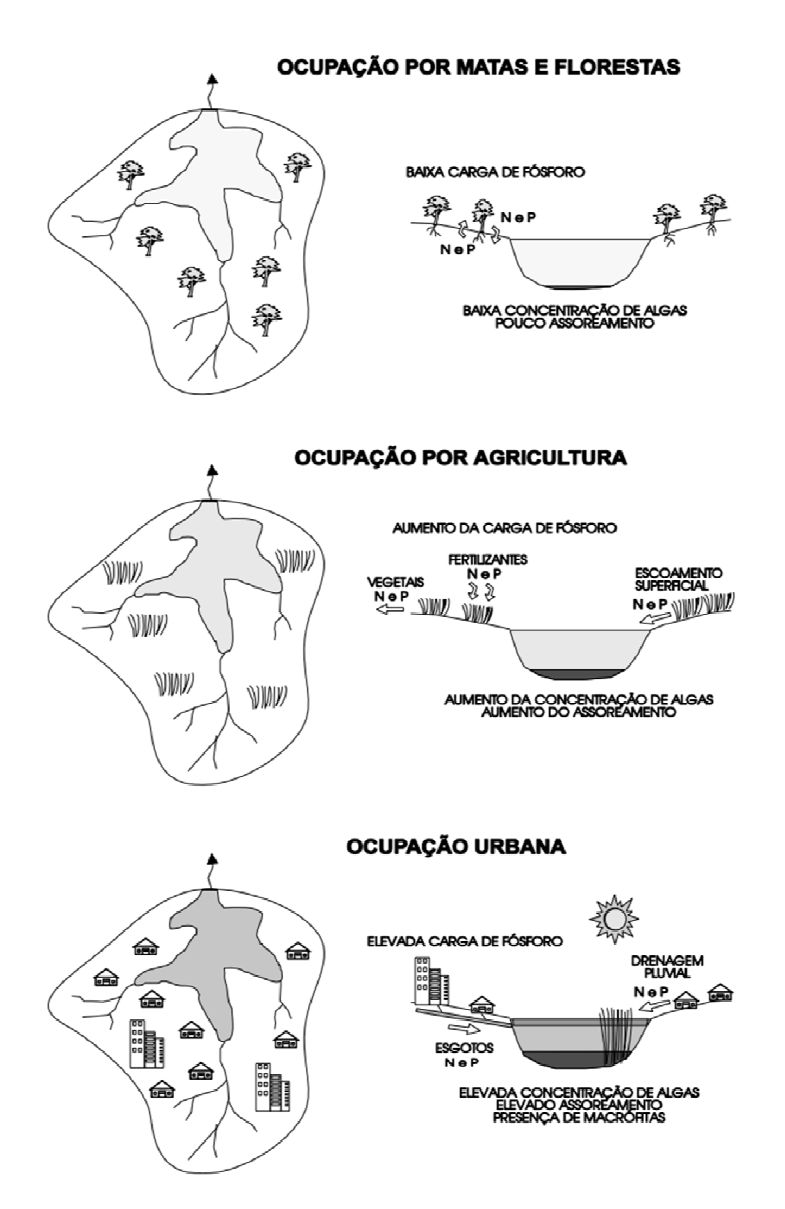
Os maiores aportes de nitrogênio (N) e fósforo (P) oriundos de atividades antropogênicas vem acelerando acentuadamente o processo de eutrofização, alterando as características naturais dos lagos e reservatórios, impactando na qualidade da água, colocando em risco os seus diversos usos (TUNDISI; MATSUMURA-TUNDISI, 2008).

Segundo Smith, Tilman e Nekola (1999) o uso de fertilizantes na agricultura, criação de pastagens para pecuária e os lançamentos de esgotos domésticos e industriais advindos dos grandes centros urbanos promovem a eutrofização artificial dos corpos d'água.

A Figura 1 apresenta de forma simplificada a evolução do processo de eutrofização cultural em um lago ou represa, associando este processo ao uso e ocupação do solo.

Figura 1 - Evolução do processo de eutrofização cultural em um lago ou represa. Associação entre ouso e ocupação do solo e a eutrofização.

EVOLUÇÃO DO PROCESSO DE EUTROFIZAÇÃO DE UM LAGO OU REPRESA



Fonte: Von Sperling, 1996.

Os impactos da eutrofização artificial são potencialmente nocivos aos ecossistemas aquáticos, podendo alterar as estruturas das comunidades aquáticas, com consequente dominância de alguns grupos em detrimento de outros concebendo efeitos ao longo de toda a cadeia alimentar.

O processo de eutrofização de um ambiente aquático pode ser descrito e classificado em diferentes graus de trofia, isto é, em níveis de estado trófico, de acordo com as suas características químicas e biológicas (como concentrações de nutrientes e produtividade

primária), variando de estágios menos eutrofizados (oligotrófico) para mais avançados (eutrófico e hipereutrófico).

O processo de eutrofização dos cursos d'água vem ocorrendo em escala mundial e estima-se que, na América do Sul, 41% dos lagos e reservatórios estejam eutrofizados (NYENJE *et al.*, 2010).

No Brasil, o intenso crescimento da população urbana, aporte de esgotos doméstico, efluentes oriundos das indústrias e das atividades agrícolas vem ocasionando o aumento da eutrofização nos ecossistemas aquáticos, enriquecendo esses ambientes com nitrogênio, fósforo e outros nutrientes. Uma das grandes questões ambientais enfrentadas pelas regiões Sul e Sudeste é a recuperação de rios, lagos e reservatórios eutrofizados (TUNDISI, 2003).

Segundo levantamento feito por Bina (2008), alguns dos principais reservatórios brasileiros que estão submetidos à eutrofização são: Funil-RJ, Itaipu-PR, Capivara-PR, Amparo-SP e Itaquacetuba-SP, Tapacurá-PE, Ingazeira-PE, Itaúba-RS, Sta. Rita-SP, Juramento-MG, Três Marias-MG, Furnas MG, Vargem das Flores-MG, São Simão-MG, Guarapiranga-SP, Salto Grande-SP, Barra Bonita-SP, Irai-PR e Billings-SP.

O Reservatório de Ribeirão das Lajes é pouco impactado pela ação humana, com florestas tropicais ocupando mais de 50% da área total da bacia hidrográfica (SOARES *et al.*, 2008), contribuindo para um alto padrão de qualidade das águas no reservatório (BRANCO *et al.*, 2009). A baixa disponibilidade de nutrientes (principalmente nitrogênio e fósforo), elevada transparência da água e baixas concentrações de pigmentos fotossintetizantes caracterizam baixo grau de trofia do reservatório, sendo suas águas classificadas como oligotróficas para mesotróficas (GUARINO *et al.*, 2005). Segundo estudo realizado pelo Comitê Guandu (2013), o rio Piraí, um dos afluentes do reservatório de Lajes, vem sofrendo eutrofização com aportes de esgotos domésticos, incremento de elementos associados às atividades de agricultura presente no entorno e pelo descarte de efluentes, gerando deterioração da qualidade das águas naturais.

A utilização de índices de qualidade de águas, busca tornar mais simples a interpretação dos diversos parâmetros avaliados permitindo sua comparação ao caracterizar e classificar os rios e reservatórios em diferentes graus de trofia (CORDEIRO *et al.*, 2009). Neste trabalho serão utilizados os índices Índice de Estado Trófico (CETESB, 2020) e Índice de Qualidade de Água em Reservatórios (IAP, 2017).

2.3 Cianobactérias

As cianobactérias são microrganismos procarióticos¹, uni ou pluricelulares, aeróbios, fotoautotróficos, com reprodução assexuada. A vasta flexibilidade fisiológica, genética e reprodutiva, possibilita a esses microrganismos sobreviver em diversos ecossistemas (CARMICHAEL, 1994).

As cianobactérias ou cianoprocariotos (antes denominadas cianofíceas ou algas-azuis) têm sua presença no planeta datada de 3,5 bilhões de anos, fazendo parte de um grupo de microrganismos que possuem organização celular procariótica, uma das formas mais primitivas de vida. Segundo Yoo *et al.* (1995) há registros de fósseis de cianobactérias no noroeste da Austrália, com estudos de datação indicando que estes microrganismos foram os primeiros produtores a liberarem oxigênio na atmosfera terrestre. Em função de não terem uma estrutura organizada do seu material genético e demais organelas se diferenciam dos eucariotos² (WHITTON; POTTS, 2000), contudo, são fundamentais para o ecossistema por terem a capacidade de realizar fotossíntese oxigênica³.

A classe de cianobactérias é bastante ampla contendo cerca de 150 gêneros e mais de 2800 morfoespécies⁴ identificadas. Em função da grande variabilidade de tipos de células de cianobactérias, somada a uma grande diversidade morfológica e ecológica, várias propostas de classificação, com base nas diversas características morfológicas (tipo de filamentos, plano de divisão celular etc.) vem sendo estudadas (BINA, 2008).

Segundo Sant'anna et~al.~(2006)~ os processos vitais das cianobactérias são dependentes de água, dióxido de carbono substâncias inorgânicas e luz. A clorofila- α e os demais pigmentos fotossintéticos são encontrados nos tilacóides⁵, que não são envolvidos por membranas.

Algumas espécies de cianobactérias possuem vantagens adaptativas, dentre elas a capacidade de estocar fósforo (formação de grânulos de fosfato), capacidade de fixar

¹São organismos em que as células que não possuem um núcleo celular definido, em função disso, seu material genético celular fica disperso no citoplasma.

²A principal característica das células eucarióticas é a presença de um núcleo definido separando o DNA do restante dos componentes celulares.

³A fotossíntese pode ser oxigênica ou anoxigênica. As cianobactérias realizam fotossíntese oxigênica. As bactérias púrpuras e verdes realizam fotossíntese anoxigênica, na qual não há a produção de oxigênio, utilizando compostos reduzidos de enxofre, hidrogênio molecular, ou simplesmente de compostos orgânicos como doadores de elétrons, originando compostos oxidados como sulfatos, prótons, compostos orgânicos e CO₂.

⁴Grupo de organismo que difere em algum aspecto morfológico de todos os outros grupos. Utiliza-se quando ainda não foi possível identificar a espécie.

⁵Tilacóides são membranas onde estão localizadas estruturas utilizadas nos processos de fotossíntese.

nitrogênio atmosférico (espécies que possuem heterocitos⁶), a possibilidade de flutuarem na coluna d'água (espécies que possuem aerótopos⁷ possuem maior capacidade de controle de flutuabilidade na coluna d'água), mixotrofia e adaptação de sobrevivência em condições de baixa luminosidade, com produção de pigmentos acessórios necessários à absorção mais eficiente da luz (ficobiliproteinas). Estas adaptações lhes conferem flexibilidade e resiliência quanto às oscilações ambientais. (HANEY, 1987; REYNOLDS, 1987; PETTERSSON; HERLITZ; ISTAVANOVICS, 1993).

São encontradas diversas variações morfológicas entre as cianobactérias, desde as mais simples (0,5 a 100 µm) a maiores agregações com mais de 100 células. Podem ser unicelular colonial, multicelular ou filamentosas e podem estabelecer relações simbióticas com plantas e fungos, serem bentônicas ou se distribuírem ao longo da coluna d'água.

Tendo em vista a ampla variabilidade morfológica e as diversas vantagens adaptativas supracitadas, as cianobactérias são encontradas nos ambientes mais adversos, como lagos antárticos, fontes termais, rochas úmidas e solos ácidos. Entretanto, os ambientes que oferecem condições mais favoráveis ao seu crescimento são os ambientes de água doce, em função de suas águas neutro-alcalinas com pH variando de 6,0 a 9,0, temperaturas variando entre 15 e 30°C e disponibilidade de nutrientes, em especial, nitrogênio e fósforo (FOGG; THAKE, 1987).

A comunidade fitoplanctônica de um ambiente aquático é frequentemente composta por um elevado número de espécies de cianobactérias. Como importante consequência do processo de eutrofização artificial, a composição da comunidade fitoplanctônica vem sendo alterada, favorecendo a dominância de táxons específicos, que podem causar florações que podem vir a gerar desequilíbrio na cadeia trófica. Segundo Yunes *et al.* (1996) quando não há excessos de nitrogênio ou fósforo, as cianobactérias são mais vulneráveis no processo de competição pela assimilação de nutrientes se comparadas a outros grupos, que nestas condições se adaptam melhor.

O gênero *Microcystis* é um dos gêneros mais associados às florações de cianobactérias no mundo e a espécie *Microcystis aeruginosa* uma das espécies que mais se tem identificado nas florações tóxicas (TSUTSUMI *et al.*, 1998). No Brasil, são exemplos de gêneros frequentes as *Cylindrospermopsis* e *Microcystis*. (HUSZAR; DA SILVA, 1999).

⁶Heterocitos são células especializadas em fixar nitrogênio atmosférico, presentes em algumas espécies de cianobactérias. Observa-se a formação de heterocito quando há deficiência de nitrogênio inorgânico no corpo d'água.

Os aerótopos são vacúolos de gás que auxiliam na flutuação, presentes em algumas espécies de cianobactérias

No Reservatório de Lajes já foram identificados diversos gêneros de cianobactérias, Gomes (2005) identificou os gêneros *Chroococcus, Cyanodiction, Epigloeosphaera, Leptolyngbya, Radiocystis e Synechocystis.* Unirio (2006) identificou os gêneros *Aphanocapsa, Coelomoron, Lemmermmaniella, Leptolynbya, Merismopedia e Synechococcus.*

2.4 Cianotoxinas

Os estudos sobre as cianotoxinas são recentes e as principais descobertas sobre a sua existência bem como os efeitos de suas ocorrências aconteceram nos últimos trinta anos. Tem-se conhecimento que nem todos os gêneros de cianobactérias produzem cianotoxinas, e mesmo dentro de uma mesma espécie, nem todas as cepas são tóxicas. Eventualmente, é possível encontrar, na mesma floração, cepas tóxicas coabitando com outras não tóxicas (FERNANDES, 2008). Entretanto, ainda não há esclarecimentos sobre quais os fatores que levam determinada cepa a produzir, ou não, cianotoxinas. Uma mesma cepa pode produzir mais do que uma variante⁸ de determinada cianotoxina (FERNANDES, 2008).

As toxinas de cianobactérias (cianotoxinas) ficam armazenadas dentro de suas células (endotoxinas) e sua liberação poderá ocorrer através do rompimento da célula (lise celular) ou quando houver mudanças na permeabilidade da membrana celular, devido a ação de algum fator ambiental (CARMICHAEL, 1997; SOONG *et al.*, 1992).

Segundo Vasconcelos (2014) estas moléculas podem ser classificadas em função de suas estruturas químicas, contemplando quatros grupos principais: peptídeos cíclicos como as microcistinas e nodularinas, os, alcalóides: saxitoxinas, cilindrospermopsina, anatoxina-a e lyngbyatoxina, o aminoácido não proteico BMAA e um organofosforado natural, anatoxina-a(s) e lipopolisacarídeos. Em função das propriedades toxicológicas em mamíferos, as cianotoxinas podem ser classificadas em neurotóxicas (anatoxina-a, saxitoxina), hepatotóxicas (microcistina, nodularina) ou irritantes ao contato (PANOSSO *et al.*, 2007), também são consideradas citotóxicas, imunotóxicas, embriotóxicas e genotóxicas.

⁸ São variações estruturais nos aminoácidos. Em casos de microcistinas, o grau de metilação e isomeria são usados para designar as diferentes MCs, tendo-se conhecimento da existência de mais de 60 microcistinas (Chorus & Bartram, 1999).

A Tabela 1 relaciona a quimiodiversidade de cianotoxinas com o modo de ação em mamíferos e os principais gêneros de cianobactérias produtoras.

Tabela 1 – Quimiodiversidade de cianotoxinas, modo de ação em mamíferos e principais gêneros de cianobactérias produtoras

Cianotoxina	Entidade química	Modo de ação	Cianobactéria
Anatoxina-a*	Alcaloide	N	Anabaena, Aphanizomenon, Cylindrospermum, Microcystis, Planktothrix, Oscillatoria
Anatoxina-a(s)	Organofosforado	N	Anabaena flos-aquae, A. lemmermani
ВМАА	Aminoácido	N	A maioria das espécies
Cilindrospermopsina*	Alcaloide	С	Cylindrospermopsis raciborskii, Aphanizomenon ovalisporum, Anabaena spp., Raphidiopsis curvata, Umezakia natans
LPS	Lipopolisacarido	D	A maioria das espécies
Lyngbyatoxina*	Alcaloide	N	Moorea producens (antes Lyngbya majuscula)
Microcistina*	Péptido cíclico	Н	Microcystis spp.
Nodularina*	Péptido cíclico	Н	Nodularia spumigena
Palitoxina*		N	Trichodesmium spp.
Saxitoxina*	Alcaloide	N	Muitas espécies de Anabaena, Aphanizomenon, Cylindrospermopsis, Lyngbya, Planktothrix

Legenda N-Neurotoxina, H-Hepatotoxina, C-Citotoxina, D-Dermatotoxina (* estão descritos gêneros análogos). Fonte: Vasconcelos (2014)

No Brasil, várias cianobactérias já foram relatadas como potenciais produtoras de toxinas, como espécies de *Microcystis*, *Cylindrospermopsis*⁹, *Dolichospermum* (antiga *Anabaena*), *Planktothrix*, *Aphanizomenon*, entre outras (CETESB, 2013).

As neurotoxinas já identificadas no Brasil são produzidas por espécies e linhagens incluídas nos gêneros *Anabaena*, *Aphanizomenon*, *Oscillatoria*, *Trichodesmium*, *Lyngbya* e *Cylindrospermopsis*. Em função de sua atuação no sistema nervoso, pode ocasionar a morte por paralisia dos músculos respiratórios (FERNANDES, 2008). São três tipos de neurotoxinas produzidas pelas espécies dos gêneros supracitados, anatoxina-a, anatoxina-a(s) e saxitoxina.

As hepatotoxinas são os tipos mais comuns de intoxicação provocado por cianobactérias. Este tipo de toxinas apresentam uma ação mais lenta, podendo causar morte num intervalo de poucas horas a poucos dias, dependendo do organismo afetado. Quando

⁹ Trabalhos como o de AGUILERA et al.(2018) propõe a unificação dos gêneros *Cylindrospermopsis* e *Raphidiopsis*.

inaladas ou ingeridas, os sintomas são: dor abdominal, diarreia, vômitos, aftas e dores de cabeça (FALCONER, 1996).

Podem ser divididas em toxinas peptídicas e toxinas alcalóides (cilindrospermopsina). As toxinas peptídicas são representadas pelos heptapepitídeos cíclicos conhecidos como microcistinas e os pentapepitídeos designados como nodularinas. As espécies já identificadas como produtoras dessas hepatotoxinas estão incluídas nos gêneros *Microcystis*, *Anabaena*, *Planktotrix*, *Hapalosiphon*, *Anabaenopsis Nodularia*, *Oscillatoria*, *Nostoc* e *Cylindrospermopsis* (CARMICHAEL, 1994; MARTINS, 2020)

2.5 Cianobactérias, cianotoxinas e fatores ambientais

As florações de cianobactérias vêm se tornando cada vez mais frequentes, principalmente como consequência da eutrofização dos ambientes aquáticos. Seu sucesso em lagos e reservatórios está sendo associado a diversos fatores ambientais (estabilidade física da coluna d'água, temperaturas elevadas e pH neutro-alcalino, disponibilidade de nutrientes (principalmente fósforo e nitrogênio), elevado tempo de residência das águas em reservatórios, luminosidade etc. e às suas adaptações morfológicas desenvolvidas ao longo do seu processo evolutivo favorecem a sua dominância na comunidade fitoplanctônica em condições ambientais estáveis.

A dominância das cianobactérias também é associada a algumas condições ambientais características, tais como: regime de mistura com estratificação duradoura da coluna d'água (Reynolds, 1987) ou diária (constância ambiental) (Ganf, 1974); baixa disponibilidade de luz (Smith, 1986); reduzida razão zona eufótica/zona de mistura (Jensen *et al.*, 1994); pH elevado e baixa disponibilidade de CO2 (Caraco; Miller, 1998), elevada concentração de fósforo total (P) (McQueen; Lean, 1987); baixos teores de nitrogênio total (N) (Smith, 1983) e de nitrogênio inorgânico dissolvido (Blomqvist *et al.* 1994) e baixa razão N/P (Smith, 1983). Além do fato delas apresentarem vantagens adaptativas para estocar fósforo, capacidade de fixar nitrogênio atmosférico, habilidade para minimizar herbivoria e para flutuabilidade (Petterson *et al.*, 1993, ;Haney, 1987; Reynolds, 1987). Quanto à pressão de herbivoria sobre o fitoplâncton, que seria um potencial fator controlador de florações, esta tende a ser maior em ambientes oligotróficos do que em ambiente eutróficos. Além disso, certas características morfológicas de espécies formadoras de florações, como formação de colônias e grandes

filamentos, dificultam a herbivoria, apesar de alguns grupos zooplanctônicos possuírem a capacidade de manipular filamentos de cianobactérias (PAERL; OTTEN, 2013).

As florações de cianobactérias também impactam nas diversas variáveis físicas, químicas e biológicas da coluna d'água, uma vez que as florações podem formar "tapetes" na superfície da água, dificultando a entrada de luz e oxigênio na interface ar/água; alteração da viscosidade do meio; diminuição da zona eufótica; alteração do odor e do sabor da água; e ocasionar situações de hipóxia ou anoxia, geradas pela decomposição de cianobactérias mortas por bactérias heterotróficas e com consequente morte dos peixes (PAERL; OTTEN, 2013).

As cianobactérias tóxicas têm um papel ecológico importante (Tabela 2), tanto na consequência da ingestão pelo zooplâncton, peixes ou outros animais, com risco de bioacumulação de cianotoxinas ao longo da cadeia alimentar (SAKER *et al.*, 2003) ou pela morte natural da célula podendo gerar a lise celular liberando as cianotoxinas na coluna d'água, gerando um sério problema de saúde pública, principalmente quando da ocorrência dessas florações em mananciais de abastecimento público.

As florações de cianobactérias bem como a produção de cianotoxinas podem impactar diversas atividades econômicas (Tabela 2) das quais dependem e tem como atividades a criação e o desenvolvimento de animais aquáticos, como a piscicultura, criação de camarão, entre outras, além de impedir alimentação de várias famílias ribeirinhas que possuem o pescado como fonte de subsistência. (SANTOS, 2009). A Tabela 2 relaciona os casos de intoxicação em animais por cianotoxinas descritos na literatura entre os anos de 1800 e 2020.

Tabela 2- Casos de intoxicação em animais por cianotoxinas descritos na literatura ocorridos entre os anos de 1800 e 2020. (continua)

Localização	Ano	Espécie	Nº de	Cianobactéria	Toxina	Referências
		afetada	mortes	Local de identificação		
Austrália, lago	1878	Animais	>100	Nodularia spumigena	Nodularina	(Sivonen, 2009;
Alexandrina		de	animais	identificada na água		Hilborn &
		produção				Beasley, 2015)
Finlândia, lago	1928	Bovinos	40	Anabaena spp.	Neurotoxin	(Sivonen, 2009)
Vesijarvi			animais		a	

Bioacumulação é o termo geral que descreve um processo pelo qual substâncias (ou compostos químicos) são absorvidas pelos organismos. O processo pode ocorrer de forma direta, quando as substâncias são assimiladas a partir do meio ambiente (solo, sedimento, água) ou de forma indireta pela ingestão de alimentos quem contém essas substâncias. Esses processos frequentemente ocorrem de forma simultânea, em especial em ambientes aquáticos.

Tabela 2- Casos de intoxicação em animais por cianotoxinas descritos na literatura ocorridos entre os anos de 1800 e 2020. (continuação)

Localização	Ano	Espécie	Nº de	Cianobactéria	Toxina	Referências
		afetada	mortes	Local de identificação		
Estados Unidos,	Entre	Peixes	Inderter	Anabaena flos-aquae	Desconhec	(Hilborn &
Rio Elk,	1930		minado	identificada na água	ida	Beasley, 2015)
Kanawha, e Ohio	a					
	1931					
Estados Unidos,	1948	Peixes e	Indeterm	Anabaena flos-aquae	Desconhec	(Hilborn &
lowa, Storm Lake		Cães	inado	identificada na água	ida	Beasley, 2015)
Canada,	1951	Cavalo e	Indeterm	Anabaena flos-aquae	Desconhec	(Hilborn &
Manitoba, Lago		Cães	inado	identificada na água	ida	Beasley, 2015)
Dauphin						
Canada, lago	1959	Peixes,	Muitos	Anabaena circinalis	Desconhec	(Hilborn &
Echo e lago		gansos e	animais,	identificada em fezes de	ida	Beasley, 2015)
Qu'Appelle		cães	indeterm	animais		
			inado			
Estados Unidos,	1977	Bovinos	Muitos	Anabaena spp. e	Desconhec	(Hilborn &
Montana,		e cães	animais,	Aphanizomenon flos-	ida	Beasley, 2015)
Hegman			indeterm	aquae identificadas na		
Reservoir			inado	água		
Noruega,	1978	Novilhas	4	Microcystis aeruginosa	Microcisti	(Sivonen, 2009)
Roagland	1770	TVOVIII	animais	microcysus deruguiosa	nas	(Bivonen, 2007)
Estados Unidos,	1979	Cães	Indeterm	Anabaena spp.	Desconhec	(Hilborn &
	1919	Cacs	inado	identificada na água	ida	,
lagos da			mado	identificada na agua	lua	Beasley, 2015)
Pensilvânia	1004		T 1.	D1 : (6	D 1	(IIII)
Estados Unidos,	1984	Bovinos	Indeterm	Bloom inespecífico,	Desconhec	(Hilborn &
lago em Montana			inado	identificado na água	ida	Beasley, 2015)
Canada, lago	1985	Morcego	>1000	Anabaena flos-aquae	Anatoxina-	(Sivonen, 2009)
Steele em Alberta		s, patos e	animais		a	
		pombos				
Canada, Alberta	1986	Bovinos	16	Anabaena flos-aquae	Anatoxina-	(Sivonen, 2009)
			animais	Oscillatoria	a	
Portugal, rio	1987	Peixes	Indeterm	Aphanizomenon flos-	Desconhec	(Hilborn &
Guadiana			inado	aquae, bloom	ida	Beasley, 2015)
				identificado na água		
Inglaterra,	1989	Ovinos e	34	Microcystis aeruginosa	Microcisti	(Sivonen, 2009;
Leicestershir e		cães	animais	identificada na água	na-LR	Hilborn &
lago Rutland						Beasley, 2015)

Tabela 2- Casos de intoxicação em animais por cianotoxinas descritos na literatura ocorridos entre os anos de 1800 e 2020. (continuação)

Localização	Ano	Espécie	Nº de	Cianobactéria	Toxina	Referências
		afetada	mortes	Local de identificação		
Austrália, rio	1990	Bovinos e	>2000	Anabaena circinalis	Saxitoxina	(Sivonen,
Darling		Ovinos	animais			2009)
África do Sul, lago	1994	Animais de	Indeterm	Nodularia spumigena e	Nodularina	(Hilborn &
Zeekoevlei		produção e	inado	Microcystis aeruginosa	e	Beasley, 2015
		cães		identificadas na água	Microcisti	
					na-LR	
Bangladesh, lagoa	2002	Caprinos e	Indeterm	Aphanizomenon flos-	Desconhec	(Hilborn &
em Mymensingh		peixes	inado	aquae e Microcystis	ida	Beasley, 2015
				aeruginosa		
				identificadas na água		
Holanda, Rio	2003	Aves e	Indeterm	Bloom inespecífico	Desonheci	(Hilborn &
Meuse		peixes	inado		da	Beasley, 2015
Estados Unidos,	2004	Cães,	Indeterm	Anabaena spp.	Microcisti	(Hilborn &
lago Buccaneer		animais de	inado	Microcystis	na-LR e	Beasley, 2015
Bay		produção e		Oscillatoria	Microcisti	
		silváticos		Aphanizomenon	na	
Nova Zelandia,	2005	Cães	5	Bloom bentônico	Anatoxina-	(Sivonen,
Norte da ilha			animais	inespecífico	a	2009)
				identificado na água		
Argélia, lago	2005	Tartarugas	Indeterm	Microcystis spp.	Microcisti	(Sivonen,
Oubeíra			inado		na	2009)
					identificad	
					a no fígado	
Estados Unidos,	2010	Cães,	Indeterm	Anabaena spp.,	Microcisti	(Hilborn &
lagos em Ohio		peixes e	inado	Cylindrospermopsis	na,	Beasley, 2015
		aves		raciborskii	Anatoxina-	
				Aphanizomenon spp.	a,	
				Planktolyngbya	Cilindrosp	
				limnetica	ermopsina,	
					Saxitoxina	
Portugal, Ribeira	2017	Bovinos de	25	Microcystis spp	Microcisti	(Menezes et
de Oeiras,		carne	animais	identificada na água	na-LR	al., 2019)
Almodôvar (Sul)					identificad	
					a no rim	

Tabela 2- Casos de intoxicação em animais por cianotoxinas descritos na literatura ocorridos entre os anos de 1800 e 2020. (conclusão)

Localização	Ano	Espécie	Nº de	Cianobactéria	Toxina	Referências
		afetada	mortes	Local de identificação		
Botsuana, Delta do	2020	Elefantes	>300	Cianobactérias	Neurotoxin	(BBC News,
Okavango, África			animais	identificadas na água,	as	2020)
				espécie ainda não		
				descrita		

Fonte: Martins (2020)

Em relação à saúde humana as intoxicações normalmente associadas a cianobactérias provocam efeitos adversos, podendo ocorrer via consumo de água de reservatório com a presença de florações, por meio de atividades de recreação em mananciais comprometidos ou pelo consumo de animais contaminados com toxinas (SANTOS, 2009).

O primeiro caso confirmado de mortes humanas no Brasil causadas por cianotoxinas ocorreu no início de 1996, quando 117 pacientes renais crônicos, tiveram contato com a água contaminada, após terem sido submetidos a sessões de hemodiálise em uma clínica da cidade de Caruaru (PE). Desses pacientes, 49 vieram a falecer até 10 meses após o início dos sintomas (SANTOS, 2009).

2.6 Legislação e Qualidade da água

Na medida em que se intensificou o crescimento populacional, a urbanização, a industrialização e o desenvolvimento econômico no Brasil e no mundo, os processos de eutrofização dos rios e reservatórios foram intensificados. Essas pressões ambientais fazem com que a normatização e o estabelecimento de limites máximos e mínimos de padrões de qualidade para os corpos hídricos em função do seu uso sejam extremamente importantes, bem como o seu controle e sua vigilância.

No Brasil, a Resolução CONAMA Nº 357/2005 (Brasil, 2005) dispões sobre a classificação dos corpos d'água e diretrizes ambientais para o seu enquadramento, e estabelece as condições e padrões de lançamento de efluentes.

A Resolução CONAMA N° 357/2005 classifica os corpos de água em treze classes, dentre elas, as águas doces superficiais são classificadas em cinco classes, segundo seus usos preponderantes, dos mais nobres, a classe especial, aos menos nobres, a classe 4.

A supracitada norma estabelece os limites e condições máximas e mínimas para diversos parâmetros físicos, químicos e biológicos, em função da qualidade das águas necessárias para os seus usos: ao abastecimento para consumo humano; à proteção das comunidades aquáticas, à preservação dos ambientes aquáticos em unidades de conservação de proteção integral, à recreação de contato primário (conforme a Resolução CONAMA 274/2000); irrigação de hortaliças, plantas frutíferas e de parques, jardins, campos de esporte e lazer, com os quais o público possa vir a ter contato direto; e a aquicultura e a atividade de pesca.

As águas do reservatório em estudo, são classificadas como água doce de classe tipo 1 (corpo principal – saída do túnel de Tocos até a barragem) e classe tipo especial para os trechos dos braços e afluentes de 1ª, 2ª e 3ª ordem do corpo principal, segundo a resolução do Conselho Estadual de Recursos Hídricos n °127/14 (RIO DE JANEIRO, 2014). Os limites legais estabelecidos pela CONAMA 357/2005 dos parâmetros utilizados neste estudo são apresentados na Tabela 3.

Tabela 3 - Parâmetros utilizados neste estudo e limites estabelecidos para águas doces de classe 1, segundo a

Parâmetros	Limite Classe 1		
Clorofila-a (µg.L ⁻¹)	10		
Densidade de Cianobactérias (cél.mL ⁻¹)	≤ 20.000		
pH	6,0 a 9,0		
Oxigênio dissolvido (mg.L ⁻¹ O ₂)	≥6,0		
	$3.7 \text{ mg.L}^{-1} \text{ N, para pH} \le 7.5$		
Nitrogênio amoniacal total	$2.0 \text{ mg.L}^{-1} \text{ N, para } 7.5 < \text{pH} \le 8.0$		
Nitrogemo amomacar totar	$1.0 \text{ mg.L}^{-1} \text{ N, para } 8.0 < \text{pH} \le 8.5$		
	$0.5 \text{ mg.L}^{-1} \text{ N}, \text{ para pH} > 8.5$ $0.020 \text{ mg.L}^{-1} \text{ P}$		
Fósforo total			
Nitrato	10,0 mg.L ⁻¹ N		
Nitrito	1,0 mg.L ⁻¹ N		

Resolução CONAMA 357/2005

Fonte: Adaptado de Brasil, 2005.

Em vistas ao abastecimento público de água, as classes de uso decorrentes do processo de enquadramento influenciam no grau de tratamento a ser adotado para tornar potável a água a ser distribuída, conforme os padrões de potabilidade determinados pela legislação brasileira e definidos pelo Ministério da Saúde por meio de portarias regulamentadoras. Neste sentido o Anexo XX da Portaria de Consolidação (PCMS) Nº 5/2017 estabelece o padrão brasileiro de

potabilidade de água, condicionando os valores mínimos e máximos permitidos para cada um deles. Além disso, atribui aos responsáveis pelo tratamento e distribuição da água de sistemas para consumo humano, seja a partir de manancial superficial ou subterrâneo, a periodicidade nas coletas de amostras de água bruta no ponto de captação, com a finalidade de avaliação de risco à saúde humana (BRASIL, 2017).

Com relação as cianotoxinas, o Anexo XX da PCMS 5/2017 traz a obrigatoriedade de monitoramento semanal na água do manancial, no ponto de captação, caso a densidade de cianobactérias exceda 20.000 células.mL⁻¹.

Adicionalmente, o Anexo 8 do Anexo XX da PCMS 5/2017 traz como limites máximos permitidos de microcistinas 1,0 µg.L⁻¹ e de saxitoxinas 3,0 µg equivalente STX.L⁻¹.

2.7 Índice de Estado Trófico – IET

O Índice do Estado Trófico tem por finalidade classificar corpos d'água em diferentes graus de trofia, ou seja, avalia a qualidade da água quanto ao enriquecimento por nutrientes e seu efeito relacionado ao crescimento excessivo das algas e cianobactérias. Os resultados correspondentes ao fósforo, IET(P), devem ser entendidos como uma medida do potencial de eutrofização, já que este nutriente atua como o agente causador do processo. A avaliação correspondente à clorofila- α , IET (CL), por sua vez, deve ser considerada como uma medida da resposta do corpo hídrico ao agente causador, indicando de forma adequada o nível de crescimento de algas. Assim, este índice engloba de forma satisfatória a causa e o efeito do processo.

As equações utilizadas para o cálculo do Índice do Estado Trófico em reservatórios, para o fósforo total – IET(PT) e o Índice do Estado Trófico para a clorofila a – IET(CL), modificados por Lamparelli (2004):

$$IET (CL) = 10x \left(6 - \left(\frac{0.92 - 0.24x(\ln CL)}{\ln 2}\right)\right)$$

(1)

IET (PT) =
$$10x \left(6 - \left(\frac{1,77 - 0,42x(\ln PT)}{\ln 2}\right)\right)$$

(2)

onde:

PT: concentração de fósforo total medida à superfície da água, em µg.L⁻¹;

CL: concentração de clorofila a medida à superfície da água, em µg.L⁻¹;

ln: logaritmo natural.

O resultado apresentado na Tabela 4 do IET será a média aritmética simples dos índices relativos ao fósforo total e a clorofila-α, segundo a equação abaixo para cada amostragem realizada:

$$IET = \frac{[IET (PT) + IET (CL)]}{z}$$
 (3)

Os limites estabelecidos para as diferentes classes de trofia para reservatórios estão descritos na tabela a seguir:

Tabela 4 - Classificação dos Reservatórios, segundo Índice de Estado Trófico (IET)

Categorias - IET	Ponderação - IET
Ultraoligotrófico	$IET \le 47$
Oligotrófico	$47 < IET \le 52$
Mesotrófico	$52 < IET \le 59$
Eutrófico	$59 < IET \le 63$
Supereutrófico	$63 < IET \le 67$
Hipereutrófico	IET > 67

Fonte: CETESB, 2020.

2.8 Índice de Qualidade de Água em Reservatórios - IQAR

O Índice de Qualidade de Água de Reservatórios (IQAR) foi desenvolvido pelo Instituto Ambiental do Paraná (IAP) com objetivos de avaliar a degradação da qualidade da água dos reservatórios. Este índice estabelece diferentes classes de reservatórios em relação ao grau de degradação da qualidade de suas águas, através de uma matriz contendo os intervalos de classe dos parâmetros mais relevantes.

A matriz desenvolvida pelo IAP apresenta seis classes de qualidade de água, as quais foram estabelecidas a partir do cálculo dos percentis de 10, 25, 50, 75 e 90% de cada uma das variáveis selecionadas (Tabela 5).

Para o cálculo do IQAR as variáveis selecionadas receberam pesos distintos, em função de seus diferentes níveis de importância na avaliação da qualidade da água de reservatório (Tabela 6).

A classe de qualidade de água a que cada reservatório pertence (Tabela 7), é definida através do Índice de Qualidade de Água de Reservatórios (IQAR) calculado de acordo com a seguinte fórmula:

$$\frac{\sum (w_i \times q_i)}{\sum (w_i)} \tag{4}$$

onde:

w_i = pesos calculados para as variáveis "i";

 $q_i = \text{classe de qualidade de água em relação a variável "i", o valor de "q" pode variar de 1 a 6. \\$

As profundidades estabelecidas para o cálculo do IQAR são:

Profundidade I: Camada da zona eufótica com 40% da luz incidente, onde é esperada uma produção primária de fitoplâncton representativa da camada trofogênica.

$$Prof.I = ZdS \times 0.54$$

(5)

onde:

 Z_{dS} = profundidade Secchi

0,54 = fator para calcular 40% de luz incidente

Profundidade II: metade da zona afótica, onde independentemente da ocorrência de estratificação térmica, a respiração e a decomposição são predominantes sobre a produção autotrófica.

$$Prof.II = \frac{Zmax + Zeu}{2}$$

(6)

onde:

Z_{max} = profundidade máxima (m), na estação de amostragem;

 $Z_{eu}=$ zona eufótica (profundidade Secchi x 3, onde 3 é o fator correspondente a aproximadamente 1% da luz incidente na superfície da água);

Profundidade III: quando, durante as medições "in situ", for detectada zona anóxica, e esta não coincidir com a profundidade II, recomenda-se a coleta de mais uma amostra na porção intermediária desta camada.

Tabela 5 - Matriz de classes contendo a faixa dos parâmetros de qualidade de água - IQAR

Classes de qualidade (q)						
Variáveis	Classe 1	Classe 2	Classe 3	Classe 4	Classe 5	Classe 6
Déficit de Oxigênio dissolvido (%)	≤5	6-20	21-35	36-50	51-70	>70
Clorofila-α (µg.L ⁻¹)	≤1,5	1,5-3,0	3,1-5,0	5,1-10,0	11,0-32,0	>32
Fósforo total (P mg.L ⁻¹)	≤0,010	0,011-0,025	0,026-0,040	0,041-0,085	0,086-0,210	>0,210
Profundidade – Disco de Secchi (m)	≥3	3-2,3	2,2-1,2	1,1-0,6	0,5-0,3	<0,3
Demanda química de oxigênio – DQO (mg.L ⁻¹)	≤3	3-5	6-8	9-14	15-30	>30
Tempo de residência (dias)	≤10	11-40	41-120	121-365	366-550	>550
Nitrogênio inorgânico total (N mg.L ⁻¹)	≤0,15	0,16-0,25	0,26-0,60	0,61-2,00	2,00-5,00	>5,00
Cianobactérias (cél.mL ⁻¹)	≤1.000	1.001-5.000	5.001-20.000	20.001-50.000	50.001-100.000	>100.000
Profundidade média (m)	≥35	34-15	14-7	6-3,1	3-1,1	<1

Fonte: IAP, 2017.

Tabela 6 - Variáveis selecionadas e seus respectivos pesos

Parâmetro de Qualidade da Água	Peso (w)
Déficit de Oxigênio dissolvido (%) 1	17
Clorofila- $a (\mu g.L^{-1})^3$	15
Fósforo total (P -mg.L ⁻¹) ²	12
Profundidade Secchi (m)	12
Demanda química de oxigênio – DQO (mg.L ⁻¹) ²	12
Tempo de residência (dias)	10
Nitrogênio inorgânico total (N-mg.L ⁻¹) ²	8
Cianobactérias (nº de células.mL ⁻¹) ³	8
Profundidade média (metros)	6

(1) média da coluna d'água; (2) média das profundidades I e II; (3)

concentração da profundidade I

Fonte: IAP, 2017.

Tabela 7 - Classes de Qualidade de Água segundo os Índices de Qualidade de Água de Reservatórios (IQAR)

Qualificação	Classes	Valor do IQAR
Não impactado a muito pouco degradado	1	0 - 1,50
Pouco degradado	2	1,51 - 2,50
Moderadamente degradado	3	2,51 - 3,50
Criticamente degradado a poluído	4	3,51 - 4,50
Muito poluído	5	4,51 - 5,50
Extremamente poluído	6	> 5,51

Fonte: IAP, 2017.

3 ÁREA DE ESTUDO

3.1 Caracterização da área de estudo

O Reservatório de Ribeirão das Lajes (Figura 2) está localizado no sudeste do Brasil, em uma região de clima tropical entre as vertentes da Serra do Mar e os municípios de Rio Claro e Piraí, no estado do Rio de Janeiro, estando a uma distância de aproximadamente 80 Km da cidade do Rio de Janeiro.

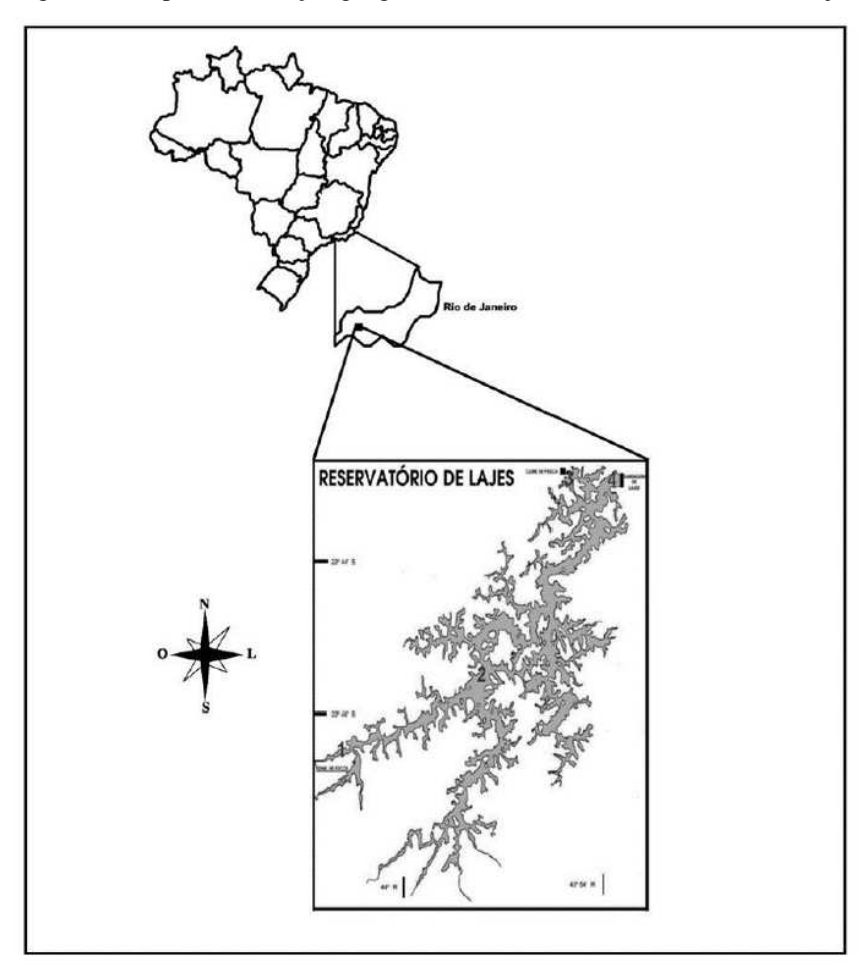


Figura 2 - Mapa e localização geográfica do reservatório de Ribeirão das Lajes

Fonte: Gomes, 2005.

A construção do Reservatório de Lajes iniciou em 1905, foi concluída em 1908 e foi feita a partir do barramento do Ribeirão das Lajes. A bacia contribuinte tem uma área de 326

km² (Figura 4). É um importante reservatório de água doce do Estado do Rio de Janeiro, com um volume útil de 445,3 hm³ (Profill/Agevap, 2017).

O Reservatório de Lajes está contido no complexo de reservatórios da Light Serviços de Eletricidade S.A. (Figura 3), tendo importância estratégica para a geração de energia elétrica, sendo este complexo de usinas responsável por fornecer 78% de toda a energia elétrica consumida no Estado do Rio de Janeiro. O reservatório também se destaca pela sua importância, pela sua significativa contribuição ao sistema de abastecimento público de água através da concessionária de águas e esgotos (CEDAE), sendo captados 5,5 m³/s para o abastecimento de 1,6 milhão de habitantes distribuídos em 7 municípios: Itaguaí, Japeri, Paracambi, Piraí, Queimados, Rio de Janeiro e Seropédica.



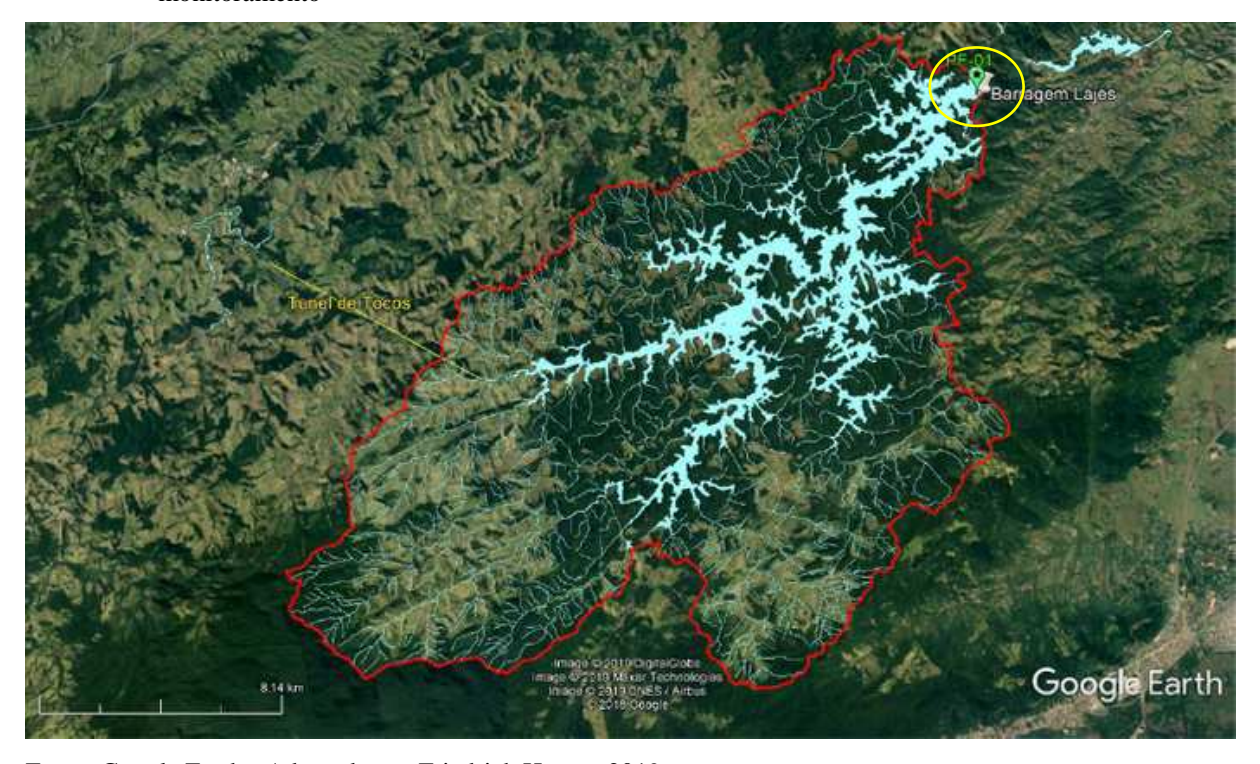
Figura 3 - Localização do Reservatório de Lajes dentro do Complexo de estruturas da LIGHT

Fonte: Adaptado de Profill/Agevap, 2017.

Além da produção de energia elétrica e captação de água para abastecimento público através da captação da CEDAE (Calha CEDAE), o reservatório possui diversos usos: abriga uma captação de água que abastece a fábrica da AMBEV, a estação de tratamento de água do município de Piraí, possui um clube de pesca adjacente, onde as pessoas utilizam o reservatório como fonte de lazer e pesca esportiva, e abriga uma piscicultura de tilápia, em formato tanques-rede.

O ponto amostral (PF-01) escolhido para o presente estudo está localizado próximo a barragem (43°51'47"O, 22°41'30"S). Este ponto é caracterizado pelas maiores profundidades e é também o ponto em que as águas possuem menor velocidade em função da proximidade do barramento (Figura 4).

Figura 4 - Imagem de satélite da bacia hidrográfica do Reservatório de Ribeirão das Lajes. Linha vermelha – limite da Bacia Hidrográfica do reservatório de Lajes. Ponto PF-01 (em verde) - Ponto de monitoramento



Fonte: Google Earth - Adaptado por Friedrich Herms, 2019.

A Bacia do Ribeirão das Lajes, é uma sub-bacia do Rio Guandu. Devido a sua importância estratégica para o abastecimento de água de toda a Região Metropolitana do Rio de Janeiro, foi definida como uma das 13 Unidades Hidrográficas de Planejamento (UHP) (Profill/Agevap, 2017). A UHP-03 (Figura 5), na qual foi inserida, engloba toda a área de contribuição do Reservatório de Lajes, incluindo os afluentes e a área alagada (Figura 4).

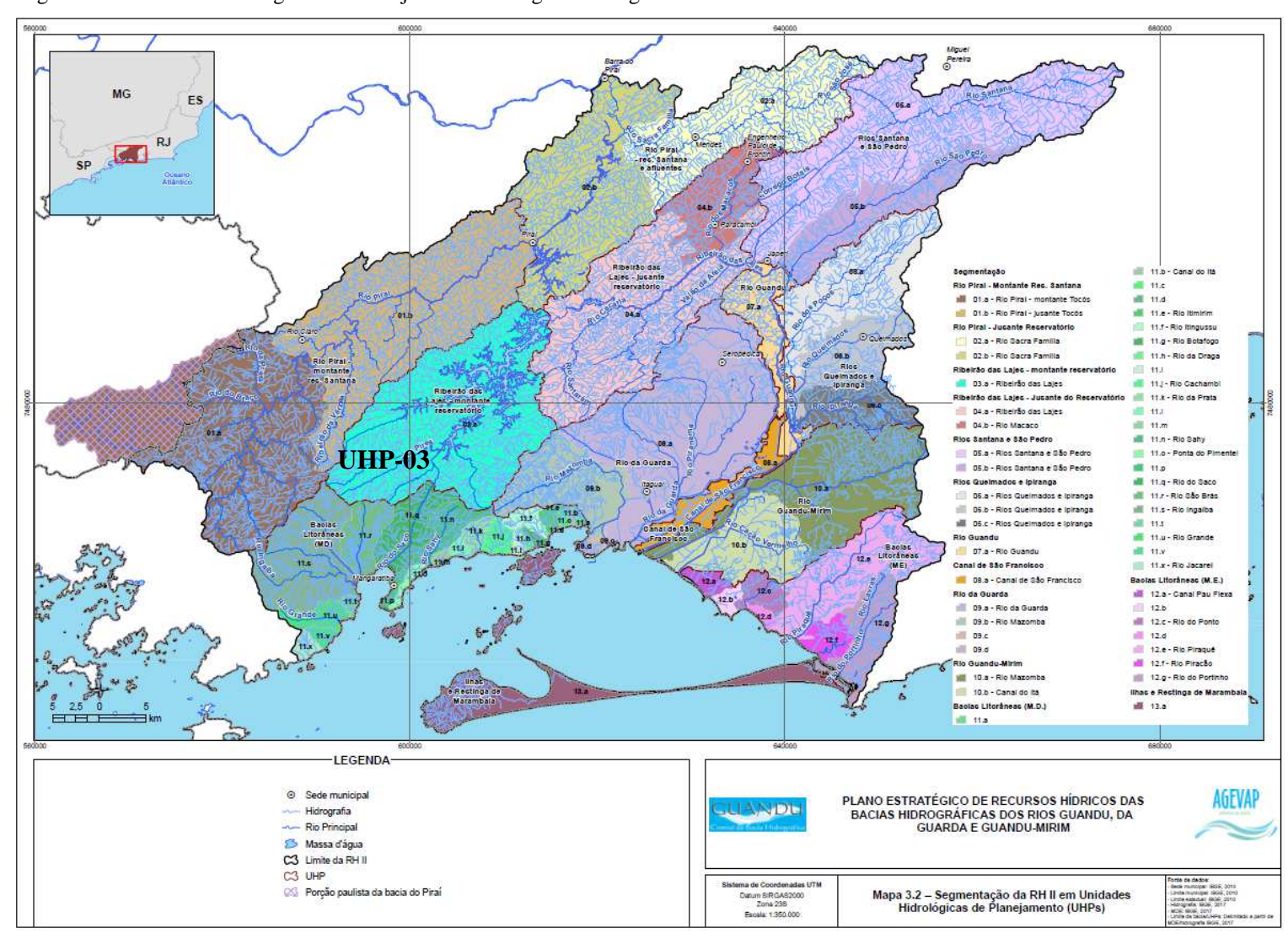


Figura 5 - Unidades Hidrológicas de Planejamento da Região Hidrográfica II

Fonte: Adaptado de Profill/Agevap, 2017.

3.1.1 <u>Clima</u>

O clima predominante na região do reservatório é classificado como tropical úmido com valores de temperatura média anual entre 20°C e 27°C, apresentando elevados índices pluviométricos, com média anual variando de 1000 mm a 2300 mm. Através do levantamento feito entre 1942-2006 com os dados oriundos da microestação de monitoramento em Piraí, os meses mais chuvosos são dezembro, janeiro e fevereiro, que apresentaram volumes médios de precipitação acumulada de 203,2; 227,3 e 181,0 mm, respectivamente. O volume médio de precipitação anual é de 1298,5 mm (Profill/Agevap, 2017).

As médias das temperaturas máximas neste mesmo período foram 30,8°C; 31,0°C e 30,2°C, nos meses de janeiro, fevereiro e março, respectivamente, enquanto as médias das temperaturas mínimas foram 12,4°C; 11,6°C e 12,6°C nos meses de junho, julho e agosto, respectivamente. Ao longo do ano, as médias das temperaturas máximas e as médias das temperaturas mínimas são de 27,8°C e 16°C, respectivamente (Profill/Agevap, 2017).

Em um estudo mais recente, segundo levantamento feito por Teixeira (2020) os microclimas da região de Resende e Seropédica tem uma influência significativa nas características do reservatório. Teixeira (2020) avaliou que o setor Oeste – Noroeste do reservatório de Lajes é ligeiramente mais frio que o Sudeste – Leste, o Setor Oeste-Noroeste é mais chuvoso que o eixo Leste-Sudeste, sendo os valores extremos de temperatura registrados em Seropédica e a estação seca (inverno) apresentando valores médios mensais baixos de precipitação acumulada (inferiores a 50mm).

3.1.2 Hidrografia

Os principais cursos de água da bacia de contribuição do reservatório de Lajes são os rios Pires, Bálsamo, Ponte de Zinco, Passa Vinte, da Prata e Palmeiras e ainda pelas águas do Rio Piraí, que nela chegam através de um túnel de 8.430m (Túnel de Tocos, Figuras 3 e 4) que transpassa a Serra dos Cristais, que é o divisor de águas. A quantidade de água que chega no reservatório proveniente dos rios exclusivamente da bacia é estimada em 5,7 m³/s (UERJ, 2019).

O vertimento máximo é de 27 m³/s e o médio de 12,8 m³/s, sendo essa vazão variável conforme as condições operacionais e climáticas de acordo com a época do ano. As águas represadas no Reservatório de Lajes são utilizadas para movimentar as turbinas das usinas de Fontes Velha e Fontes Nova.

O formato do reservatório é dendrítico, contendo diversos braços e ilhas, seu comprimento e largura máxima, são 20 km e 5 km, respectivamente. O reservatório abrange uma área de 30 km² na cota de 415 metros, com perímetro aproximado de 230 km. O nível da água mínimo normal se situa na cota de 405 metros e o máximo maximorum na cota de 419 metros. A profundidade média é de 15 metros, havendo locais com profundidades de até 40 metros. O volume de água armazenado é da ordem de 450.000.000 m³, com tempo de retenção médio de aproximadamente 282 dias (Profill/Agevap, 2017), o que contribui para a estratificação térmica, em grande parte do ano e química, durante praticamente o ano todo (TEIXEIRA, 2020).

4 METODOLOGIA

Para a construção deste estudo e o alcance dos objetivos traçados, as atividades desenvolvidas foram realizadas em seis etapas:

- a) Levantamento bibliográfico nesta etapa foi realizada a fundamentação teórica.
- b) Coleta de amostras e análises de campo Foram realizadas, ao longo de janeiro/2018 a janeiro/2019 amostragens em quatro profundidades no ponto PF-01 próximo da barragem do reservatório de Lajes conforme Figura 3. As medições de oxigênio dissolvido, temperatura da água e transparência foram realizadas *in loco*.
- c) Análises em laboratório As análises para os parâmetros nitrogênio amoniacal (N-NH₃), nitrito (NO₂), nitrato (NO₃), ortofosfato (PO₄), fósforo total (P_{tot}), clorofila- α (Cl- α), pH, contagem e identificação de cianobactérias, microcistinas, saxitoxina e cilindrospermopsina foram realizadas no laboratório de controle de qualidade de água da CEDAE.
- d) Organização dos dados Os dados oriundos das medições de campo e os resultados das análises realizadas em laboratório foram tabeladas utilizando os softwares Excel 2016 e Statistica 10.0.
- e) Análise dos dados nesta etapa foi verificada a quantidade de dados válidos, e os parâmetros que apresentaram poucos dados e/ou grande parte dos dados abaixo do limite de detecção do método (LD).
- f) Análise estatística dos dados Foi realizado análise estatística descritiva dos resultados, apresentando tabelas e gráficos Box plot. Foram realizadas análises estatísticas para avaliar a distribuição dos dados e testes de significância na comparação dos dados.

4.1 Ponto de coleta

A Figura 6 indica a localização do ponto de coleta PF-01 definido para o desenvolvimento das amostragens, sendo este, próximo à barragem do Reservatório. Esse ponto foi escolhido (43°51'47" O, 22°41'30''S), em função de ser o ponto mais próximo à captação de água tomada pela concessionária de águas com fins para abastecimento público.



Figura 6 - Imagem da localização onde foi estabelecido o ponto de coleta.

Fonte: Google Earth, 2020. Adaptado pelo Autor, 2019.

Em função da profundidade do reservatório neste ponto, acima de 30 metros, o estudo foi desenvolvido em 4 profundidades de monitoramento: superfície, 5 m, 10 m e 20. Estas profundidades englobam as profundidades das tomadas de água (Figura 7) e permitem uma avaliação da distribuição dos nutrientes e dos gêneros de cianobactérias, na porção da coluna d'água que é captada para o abastecimento público (Calha CEDAE).

BARRAGEM DE LAJES COMPORTAS DE COMPORTAS DE **COMPORTAS DE COMPORTAS DE** SERVIÇO **EMERGÊNCIA** SERVIÇO **EMERGÊNCIA** 432,00m 432,00m N.A. MAX 430,00m N.A. MAX 430,00m 421,00m N.A. MAX ATUAL: 416,00m TOMADAS D'ÁGUA DE SUPERFÍCIE 412,00m 404,00m 396,00m **Ø**2,00M GRADE 379,00m 378,00m d 6,15m 400年43 TOMADA D'ÁGUA DO TOMADA D'ÁGUA DO TÚNEL Nº1 DE LAJES **TÚNEL Nº2 DE LAJES** COMPRIMENTO: 2.222m (ÁGUA POTÁVEL PARA A CEDAE) CAPACIDADE: 120m3/s

Figura 7 - Disposição das comportas de emergência, serviço e da Calha CEDAE da barragem do Reservatório de Lajes.

Fonte: Light.

4.2 Coletas e análises de campo

As amostragens foram realizadas entre os meses de janeiro de 2018 e janeiro de 2019, com frequência semanal. As coletas ocorreram nas profundidades do ponto de monitoramento PF-01: superfície (aproximadamente 30 cm de profundidade), 5 m, 10 m e 20 m, com o objetivo de determinar padrões espaciais e temporais das seguintes variáveis limnológicas: clorofila-α, densidade de cianobactérias, microcistina, saxitoxina, cilindrospermopsina temperatura da água, oxigênio dissolvido, pH, transparência da água, ortofosfato, fósforo total, amônia, nitrito e nitrato. Todas as amostras foram coletadas em triplicata, exceto as amostras para contagem e identificação de cianobactérias, microcistina, saxitoxina e cilindrospermopsina.

As amostras foram coletadas através da garrafa de Van Dorn de 3L de capacidade.

Figura 8 - Materiais de coleta e de campo utilizado no trabalho (embarcação)









Legenda: A-frascos de coleta para os parâmetros clorofila-α, densidade de cianobactérias, microcistina, saxitoxina, cilindrospermopsina, pH, ortofosfato, fósforo total, amônia, nitrito e nitrato; b- frascos disco de secchi; c- oxímetro modelo 550A da fabricante YSI; d- garrafa de Van Dorn de 3L de capacidade.

Fonte: O autor, 2019.

A transparência da água foi medida através do uso do disco de Secchi (Figura 8). A leitura do desaparecimento visual do disco foi realizada, afundando-o na coluna d'água, estando este preso à uma corda graduada. A profundidade do disco de Secchi foi utilizada para avaliação da extensão da zona eufótica, multiplicando-se o valor de sua profundidade por um fator igual a 3 (Zds x 3). O valor obtido corresponde a 1% da radiação da superfície. (ESTEVES, 1998).

As medições de temperatura da água e o oxigênio dissolvido foram realizadas através do oxímetro modelo 550A da fabricante YSI.

As amostras coletadas para os parâmetros clorofila-*a*, ortofosfato, fósforo total, nitrito, nitrato, amônia, pH, saxitoxina, microcistina, cilindrospermopsina e contagem de cianobactérias foram armazenadas em frascos adequados, previamente descontaminados, preservadas, e transportadas sob refrigeração para o laboratório da CEDAE, onde posteriormente foram conservadas sob temperatura inferior a 4°C até serem analisadas.

As amostras coletadas para análise de ortofosfato e fósforo total foram preservadas com ácido sulfúrico e as amostras coletadas para cianobactérias preservadas com lugol.

4.3 Análises laboratoriais

As amostras coletadas para a determinação das concentrações dos íons nitrito (NO₂⁻) e nitrato (NO₃⁻) foram filtradas através de filtros de 25 mm de diâmetro e porosidade de 0,45 μm e posteriormente analisadas por cromatografia iônica de ânions. Os resultados foram expressos na forma de N-NO₂ e N-NO₃ em mg.L⁻¹. O limite de detecção (LD) para o parâmetro N-NO₂ é de 0,001 mg.L⁻¹ e para o parâmetro N-NO₃ é de 0,002 mg.L⁻¹ (Tabela 8). A metodologia utilizada para análise dos ânions via cromatografia iônica segue os padrões adotados pela APHA; AWWA; WEF (2005).

As concentrações de amônia (NH₃) foram determinadas através de kit da marca Hach modelo TNTplus 830, cuja faixa de concentração é de 0,015 - 2,0 mg.L⁻¹, sendo os resultados expressos na forma de N-NH₃ mg.L⁻¹.

As análises de ortofosfato e fósforo total foram realizadas através do método de ácido ascórbico, seguindo a metodologia definida e validada por Rodrigues (2016).

O procedimento experimental para a análise de ortofosfatos e fósforo total são similares, este último é precedido de uma etapa de digestão das amostras com ácido sulfúrico e persulfato de potássio. A digestão foi realizada utilizando forno microondas da marca Anton Paar modelo Multiwave 3000 por 30 minutos à uma potência de 450W. As amostras para análise de ortofosfatos e as amostras digeridas para análise de fósforo total foram separadas retirando-se alíquotas de 5,0 mL, em seguida feito o ajuste de pH utilizando fenolftaleína, adicionando a solução combinada¹¹. Dentro do intervalo de 10-30 min após a adição da solução combinada procedeu-se a leitura no espectrofotômetro Hach DR 5000 em um comprimento de onda de 880nm. Os resultados foram expressos nas formas de P-PO₄ e P_{total} em mg.L⁻¹. O limite de detecção do método é de 0,003 mg.L⁻¹ (Tabela 8).

Para a determinação de pH utilizou-se uma sonda terminal com medidor de bancada da marca Thermo Scientific modelo Orion Versa Star.

¹¹Solução combinada é uma solução contendo ácido sulfúrico 5N, tartarato de antimônio e potássio, molibdato de amônio e ácido ascórbico 0,1 mol L⁻¹.

A concentração de clorofila-*a* foi medida por espectrofotometria de luz visível, seguindo a metodologia estabelecida por APHA; AWWA; WEF (2005). As amostras foram filtradas utilizando filtro de fibra de vidro de 47 mm de diâmetro com porosidade de 0,45 μm, e posteriormente submetidas a extração utilizando acetona 90% como solvente e armazenados em tubos de ensaio. Após a extração, os tubos contendo os extratos das amostras foram acondicionados sob refrigeração à 4°C pelo período mínimo de 2 horas e máximo de 24 horas. Terminado o período de repouso, os tubos foram centrifugados durante 20 minutos a uma rotação de aproximadamente 3000 rpm. Após a centrifugação, foi realizada a leitura no espectrofotômetro da marca Hach modelo DR 5000. As amostras foram lidas nos comprimentos de onda de 664 e 750 nm, e depois acidificadas com ácido clorídrico 0,1M, após 90 segundos e em seguida, foram lidas novamente nos comprimentos de onda 665 e 750 nm. Os resultados foram expressos em μg.L⁻¹. O limite de detecção do método é de 0,67 μg.L⁻¹.

A identificação e contagem de cianobactérias foi realizada pelo método de Utërmohl e tem o objetivo de determinar a composição da comunidade de cianobactérias e avaliar suas concentrações relativas. O método de Utermöhl se baseia na concentração de organismos por sedimentação em câmaras de Utermöhl, nas quais a amostra preservada é colocada e levada a uma câmara úmida (caixa de sedimentação), onde repousa o tempo suficiente para a sedimentação de todos os organismos da amostra.

Dependendo da quantidade de organismos e partículas presentes, diferentes volumes de amostra podem ser sedimentados. Amostras com grande concentração de organismos (ex: florações, ambientes lênticos) ou muito turvas são sedimentadas em pequenos volumes (2,5mL) ou até mesmo diluídas caso seja necessário. Amostras com pouca concentração de organismos (ex: ambientes lóticos) podem ser sedimentadas em maiores volumes, com o auxílio de cubetas de sedimentação;

A subamostra é analisada parcialmente, por meio de contagem em transectos ou campos aleatórios, dependendo da quantidade de organismos, com o auxílio de um retículo de Whipple calibrado. O resultado obtido é multiplicado por um fator de conversão apropriado para estimativa do número de células por mL. Esta contagem e identificação foi realizado pelo Laboratório de Controle de Qualidade de Água da CEDAE.

As análises de microcistinas, saxitoxinas e cilindrospermopsinas foram realizadas pelo método de e ensaios imunoenzimáticos (ELISA) no laboratório de Controle de Qualidade de Água da CEDAE.

A Tabela 8 apresenta de forma resumida os limites de quantificação de cada metodologia adotada.

Tabela 8 - Parâmetros e limites de detecção utilizados no estudo

Parâmetro	LD	Unidade
Clorofila a	0,67	μg.L ⁻¹
Densidade de Cianobactérias	0	cél.mL ⁻¹
Fósforo total	0,003	mg.L ⁻¹ P
Nitrato	0,002	mg.L ⁻¹ N
Nitrito	0,001	mg.L ⁻¹ N
Nitrogênio amoniacal total	0,015	mg.L ⁻¹ N
Ortofosfato	0,003	$mg.L^{-1} P-PO_4$
Microcistina	0,1	μg.L ⁻¹
Saxitoxina	0,02	μg.L ⁻¹
Cilindrospermopsina	0,05	μg.L ⁻¹

Fonte: O autor, 2020.

Nesse estudo, as profundidades de coleta foram predefinidas conforme o item 4.1 deste capítulo, portanto, foi utilizado para fins de cálculo as profundidades que mais se aproximaram das profundidades calculadas para utilização do IQAR. Essa aproximação foi possível pela característica do Reservatório de Lajes, que se encontra sempre estratificado quimicamente de forma permanente e altera entre estratificado e não estratificado termicamente nos períodos de verão e inverno, respectivamente, apresentando uma camada superficial de até 5 metros permanentemente misturada abaixo dos 20 m uma camada estável (TEIXEIRA, 2020).

Os dados coletados foram calculados e agrupados por estação climatológica, recebendo um IQAR parcial. O IQAR final foi calculado através da média aritmética dos índices parciais.

O Índice de Estado Trófico (IET) utilizado neste trabalho segue a metodologia adotada pela CETESB (2020), composto pelo Índice de Estado Trófico para o Fósforo IET (PT) e o Índice de Estado Trófico para a Clorofila-*a* IET (CL) modificados por Lamparelli (2004), para reservatórios.

4.4 Avaliação e organização dos dados

Após as etapas de coleta das amostras e as análises laboratoriais, os dados produzidos foram organizados, permitindo calcular os percentuais de dados válidos.

A Tabela 9 relaciona as amostragens realizadas nas diferentes profundidades da coluna d'água no ponto PF-01, em um total de 36 amostragens com monitoramento dos parâmetros clorofila-α, fósforo total, nitrogênio amoniacal, nitrito, nitrato, ortofosfato, oxigênio dissolvido, temperatura da água, contagem e identificação de cianobactérias, microcistinas, saxitoxina e cilindrospermopsina totalizando 1578 observações. Além desses parâmetros também foi mensurada a transparência da água.

Tabela 9 - Relação do número de coletas, parâmetros e observações realizadas no ponto de monitoramento PF-01

	Superfície	5 metros	10 metros	20 metros
Total de coletas	36	36	36	36
Parâmetros analisados	13	13	13	13
Número de observações	418	387	386	387

Fonte: O autor, 2020.

Em função da complexidade dos processos de coleta e análises, ocorreram perdas de amostras, ocasionando ausências de dados e, portanto, diferença no número de observações em cada profundidade de monitoramento.

Os 13 parâmetros foram examinados e foi verificada a necessidade de substituição dos resultados inferiores ao LD. Diversos autores realizaram estudos avaliando a metodologia de imputação de um valor arbitrário e pequeno para a substituição do LD (MARTÍN-FERNANDEZ; BARCELÓ-VIDAL; PAWLOWSKY-GLAHN, 2003; PALAREA-ALBALADEJO; MARTÍN-FERNÁNDEZ, 2013; MIKŠOVÁ; FILZMOSER; MIDDLETON, 2020). No presente trabalho optou-se pela substituição dos valores menores que o LD pelo valor do LD/2, mais comumente utilizado, para que seja possível realizar as análises estatísticas.

4.5 Análises estatísticas

4.5.1 Aplicação de testes estatísticos

Para comparação estatística, é necessário avaliar se os dados se encontram normalmente distribuídos ou não. Dados ambientais, como de qualidade da água, de forma geral, não seguem uma distribuição Normal, tornando os testes não-paramétricos mais adequados para a análise de tendência.

Os dados foram submetidos ao teste de normalidade Shapiro-Wilk, de forma a avaliar o seu padrão de distribuição e depois submetidos aos Testes de Kruskal-Wallis para avaliação da existência de diferenças estatísticas significativas entre as profundidades e a sazonalidade. O primeiro teste de Kruskal-Wallis buscou avaliar se houve diferença significativa entre os resultados de cada parâmetro entre as profundidades da superfície, 5 m, 10 m e 20 m. Posteriormente, foi realizado o teste Kruskal-Wallis avaliando se existiu diferença significativa entre as estações climatológicas para cada parâmetro e dentro de cada estação climatológica, para avaliação da homogeneidade dos dados dentro desses grupos amostrais.

4.5.2 Análise descritiva dos resultados

Segundo Naghettini e Pinto (2007), o padrão de distribuição das variáveis pode ser sintetizado através de medidas-resumo, de forma que se permita realizar de forma simples a análise descritiva dos dados. Diversas técnicas estatísticas podem ser empregadas, como por exemplo, a organização tabular dos dados, o cálculo de medidas descritivas (média, desvio padrão, mediana etc.), além da descrição gráfica dos dados.

Nesse estudo, optou-se na apresentação dos dados e dos resultados através de gráficos Box plot (também chamados de diagramas Box plot). Este tipo de gráfico, é um dispositivo conciso e útil para resumir um conjunto de dados, apresentando visualmente a mediana dos dados, o intervalo entre os quartis e os valores outliers presentes na série.

Os diagramas Box plot são importantes ferramentas para fornecer uma visão geral do valor central da dispersão, da assimetria, das caudas e os pontos discordantes. A dispersão é observada pela amplitude inter-quartis e o valor central pela mediana.

Para todas as séries de dados de qualidade de água foram gerados os gráficos Box plot, agrupados por parâmetro de modo que fosse possível observar as variações nos seus valores em todas as profundidades coletadas.

Foram apresentados, também, na forma de tabela, para cada parâmetro, em cada profundidade, os resultados estatísticos básicos: mediana, máximo e mínimo.

Para avaliar o comportamento temporal ao longo do perfil da coluna d'água, foram feitos gráficos em linhas contendo todas as amostragens, por profundidade, para os parâmetros: oxigênio dissolvido e temperatura. Para avaliação da densidade de cianobactérias optou-se pelo gráfico em barras.

Foram identificados os gêneros de cianobactérias e apresentados, avaliando a densidade relativa das espécies predominantes e sua distribuição sazonal, através de gráfico Box plot.

5 **RESULTADOS**

Os resultados do monitoramento do reservatório de Lajes, utilizados para o desenvolvimento desta pesquisa, cuja amostragens ocorreram através de coletas semanais compreendidas entre janeiro de 2018 e janeiro de 2019, totalizaram, originalmente, 36 coletas, 14 parâmetros (Tabela 10) e 1578 observações.

Tabela 10 - Nome, notação de referência e unidade dos parâmetros estudados, presentes no banco de dados

Parâmetro	Notação de Referência	Unidade
Clorofila-a	Cl-a	μ g. L^{-1}
Densidade de Cianobactérias		cél.mL ⁻¹
Fósforo total	P_{T}	mg.L ⁻¹ P
Microcistinas	MC	$\mu g.L^{-1}$
Nitrato	$N-NO_3^-$	mg.L ⁻¹ N
Nitrito	$N-NO_2^-$	mg.L-1 N
Nitrogênio amoniacal total	$\mathrm{N} ext{-}\mathrm{NH_4}^+\mathrm{_T}$	mg.L ⁻¹ N
Oxigênio dissolvido (saturação)	$\mathrm{OD}_{\mathrm{SAT}}$	9 O_2
Ortofosfato	$P-PO_4$	mg.L ⁻¹ P
Saxitoxina	STX	$\mu g.L^{-1}$
Cilindrospermopsina	CYN	$\mu g.L^{-1}$
pH	pН	
Profundidade do disco de Secchi	$\mathrm{D}_{\mathrm{SEC}}$	m
Temperatura da água	$\mathrm{T}_{\mathrm{H2O}}$	°C

Fonte: O autor, 2020.

5.1 Análise Estatística

5.1.1 <u>Teste de Normalidade</u>

Para todos os parâmetros das séries de dados aplicou-se o teste de normalidade Shapiro-Wilk, cujos resultados para as diferentes profundidades monitoradas estão apresentados na Tabela 12. Cerca de 85% dos testes realizados, considerando os diferentes parâmetros de qualidade de água e as profundidades monitoradas, rejeitaram a hipótese de distribuição normal (os valores p-value nos testes supracitados apresentaram-se inferiores a 0,05, sendo este, valor do nível de significância abaixo do qual rejeita-se a hipótese nula de normalidade).

Neste contexto, os testes não paramétricos de Kruskal-Wallis constituem alternativa metodológica adequada para a análise de testes de significância entre os grupos amostrais.

Tabela 11 - Testes de normalidade Shapiro-Wilk a um nível de significância de 5% para os pontos monitorados

Parâmetro		p value					
Taranetto	Superfície	5 metros	10 metros	20 metros			
Clorofila-α	$3,35 \times 10^{-03}$	$2,00 \times 10^{-02}$	$8,90x10^{-04}$	$1,00 \times 10^{-05}$			
Densidade de cianobactérias	$4,06 \times 10^{-04}$	$3,20 \times 10^{-03}$	$9,82 \times 10^{-04}$	$3,89 \times 10^{-06}$			
Fósforo Total	$1,00 \times 10^{-05}$	$1,00 \times 10^{-05}$	$1,00 \times 10^{-05}$	$2,30 \times 10^{-04}$			
Ortofosfato	$1,00 \times 10^{-05}$	$1,00 \times 10^{-05}$	$1,00 \times 10^{-05}$	$1,00 \times 10^{-05}$			
Nitrato	$1,49 \times 10^{-03}$	$1,06 \times 10^{-03}$	$2,77x10^{-02}$	$5,44 \times 10^{-02}$			
Nitrito	$1,00 \times 10^{-05}$	$1,00 \times 10^{-05}$	$3,00 \times 10^{-05}$	$1,00 \times 10^{-05}$			
Nitrogênio Amoniacal	$1,00 \times 10^{-05}$	$1,00 \times 10^{-05}$	$1,00 \times 10^{-05}$	$1,00 \times 10^{-05}$			
$\mathrm{OD}_{\mathrm{SAT}}$	$4,83 \times 10^{-01}$	$2,41x10^{-01}$	$1,12x10^{-02}$	$5,45 \times 10^{-02}$			
pH	$1,76 \times 10^{-01}$	$1,49 \times 10^{-02}$	$6,12x10^{-03}$	$1,90x10^{-03}$			
Temperatura da água	1,96x10 ⁻⁰¹	$1,87 \times 10^{-02}$	3,61x10 ⁻⁰⁴	$3,38 \times 10^{-03}$			

Legenda: Os valores que apresentaram p-value <0,05 foram destacados em vermelho.

Fonte: O autor, 2020.

5.1.2 <u>Teste de Kruskal-Wallis</u>

Após verificar a normalidade, foram aplicados os testes Kruskal-Wallis para verificar a homogeneidade dos resultados destes parâmetros em relação à profundidade do reservatório. Cada parâmetro foi testado para que seja possível identificar se há ou não diferenças significativas na distribuição dos dados entre as profundidades, conforme a Tabela 13.

Tabela 12 - Testes de Kruskal-Wallis a um nível de significância de 5% para avaliação da homogeneidade dos dados entre as profundidades no ponto PF-01.

Parâmetro	Kruskal-Wallis
	p value
Clorofila-α	$1,00 \times 10^{-05}$
Densidade de cianobactérias	$1,00 \times 10^{-05}$
Fósforo Total	$8,65 \times 10^{-01}$
Ortofosfato	$8,35 \times 10^{-01}$
Nitrato	$1,00 \times 10^{-05}$
Nitrito	$5,07x10^{-02}$
Nitrogênio Amoniacal	$2,25 \times 10^{-01}$
$\mathrm{OD}_{\mathrm{SAT}}$	$1,00 \times 10^{-05}$
pH	$1,00 \times 10^{-05}$
Temperatura da água	$1,00 \times 10^{-05}$
Aphanocapsa	$1,00 \times 10^{-04}$

Planktolyngbya limnetica	$3,50 \times 10^{-03}$
Limnococcus	$1,00 \times 10^{-05}$
Lemmermanniella/Epigloeosphaera	1.00×10^{-05}

 $Legenda:\ Os\ valores\ que\ apresentaram\ p\mbox{-value}<0,05\ foram\ destacados\ em\ vermelho.$

Fonte: O autor, 2020.

Os parâmetros densidade de cianobactérias, clorofila- α , nitrato, saturação de oxigênio, pH, temperatura da água apresentaram p-value inferiores a 0,05 indicando que há diferença significativa na distribuição dos dados em relação à profundidade de coleta. Os gêneros de cianobactérias *Aphanocapsa*, *Planktolyngbya limnetica*, *Limnococcus* e *Lemmermanniella/Epigloeosphaera*, também apresentaram diferenças significativas em relação à sua distribuição na coluna d'água no ponto PF-01.

As Tabelas 14-18 apresentam os resultados dos testes de Kruskal-Wallis a um nível de significância de 5% de cada parâmetro, em cada profundidade em relação à estação climatológica (as tabelas com os p-value são apresentadas no Apêndice A). Os parâmetros que tiveram diferenças significativas entre as estações climatológicas, foram submetidos a um novo teste de Kruskal-Wallis em cada estação climatológica para avaliação da homogeneidade dos dados em relação à sazonalidade.

Tabela 13 - Testes de Kruskal-Wallis a um nível de significância de 5% para avaliação da homogeneidade

Parâmetro	Profundidade		p va	lue	
		Superfície	5 m	10 m	20 m
	Superfície	-	1.000000	1.000000	0.000702
Aphanocapsa	5 m	1.000000	-	1.000000	0.000868
	10 m	1.000000	1.000000	-	0.005166
	20 m	0.000702	0.000868	0.005166	-
	Superfície	-	1.000000	1.000000	0.012498
DI 1.1 1 1	5 m	1.000000	-	1.000000	0.015658
Planktolyngbya limnetica	10 m	1.000000	1.000000	-	0.524389
	20 m	0.012498	0.015658	0.524389	-
	Superfície	-	1.000000	1.000000	0.000240
Limnococcus	5 m	1.000000	-	0.625580	0.000021
Limnococcus	10 m	1.000000	0.625580	-	0.015227
	20 m	0.000240	0.000021	0.015227	-
	Superfície	-	1,000000	0,070386	0,000000
Lemmermanniella/Epigloeosphaera	5 m	1,000000	-	0,008928	0,000000
Lemmermanniena/Epigioeosphaera	10 m	0,070386	0,008928	-	0,000005
	20 m	0,000000	0,000000	0,000005	-
	Superfície	-	1,000000	0,002519	0,000000
Temperatura da água	5 m	1,000000	-	0,186653	0,000002
Temperatura da agua	10 m	0,002519	0,186653	-	0,016864
	20 m	0,000000	0,000002	0,016864	-
	Superfície	-	1,000000	0,000022	0,000000
пU	5 m	1,000000	-	0,000009	0,000000
pH	10 m	0,000022	0,000009	-	0,060811
	20 m	0,000000	0,000000	0,060811	-
	Superfície	-	1,000000	1,000000	1,000000
Nitrogênio Amoniacal	5 m	1,000000	-	1,000000	1,000000
Nitrogenio Amoniacai	10 m	1,000000	1,000000	-	0,880564
	20 m	1,000000	1,000000	0,880564	-
	Superfície	-	1,000000	0,353290	1,000000
Nitrito	5 m	1,000000	-	0,353290	1,000000
Nutto	10 m	0,353290	0,353290	-	1,000000
	20 m	1,000000	1,000000	1,000000	-
	Superfície	-	1,000000	0,006023	0,000437
Nitrato	5 m	1,000000	-	0,003022	0,000194
Nitrato	10 m	0,006023	0,003022	-	1,000000
	20 m	0,000437	0,000194	1,000000	-
	Superfície	-	1,000000	1,000000	1,000000
Fósforo Total	5 m	1,000000	-	1,000000	1,000000
1 051010 101111	10 m	1,000000	1,000000	-	1,000000
	20 m	1,000000	1,000000	1,000000	-
	Superfície	-	1,000000	1,000000	1,000000
Ortofosfato	5 m	1,000000	-	1,000000	1,000000
OTTOTOSIUTO	10 m	1,000000	1,000000	-	1,000000
	20 m	1,000000	1,000000	1,000000	-
	Superfície		0,527048	1,000000	0,000300
Clorofila-α	5 m	0,527048	-	0,080097	0,000000
Clorolliu w	10 m	1,000000	0,080097	-	0,006897
	20 m	0,000300	0,000000	0,006897	
	Superfície	-	1,000000	0,161724	0,000000
Densidade de cianobactérias	5 m	1,000000	-	0,051396	0,000000
Denorado de Cianovacterias	10 m	0,161724	0,051396	-	0,000000
	20 m	0,000000	0,000000	0,000000	-
	Superfície	-	1,000000	0,000000	0,000000
OD	5 m	1,000000	-	0,000005	0,000000
$\mathrm{OD}_{\mathrm{SAT}}$	10 m	0,000000	0,000005	_	0,001447
OZ SAI	10 III	0,000000	0,000005	_	0,001447

Tabela 14 - Testes de Kruskal-Wallis a um nível de significância de 5% para avaliação da homogeneidade.

Parâmetro	Estação climatológica		p va	llue	
	emmatorogica .	Verão	Outono	Inverno	Primavera
	Verão	-	0,042419	1,000000	0,786106
Anhanagansa	Outono	0,042419	-	0,040816	1,000000
Aphanocapsa	Inverno	1,000000	0,040816	-	0,712605
	Primavera	0,786106	1,000000	0,712605	-
	Verão	_	1,000000	0,000325	0,000857
DI 1.1 1 1 1	Outono	1,000000	-	0,030529	0,069451
Planktolyngbya limnetica	Inverno	0,000325	0,030529	_	1,000000
	Primavera	0,000857	0,069451	1,000000	-
	Verão	-	0,457250	0,464219	1,000000
	Outono	0,457250	-	0,002524	1,000000
Limnococcus	Inverno	0,464219	0,002524	-	0,021992
	Primavera	1,000000	1,000000	0,021992	-
	Verão	-	0,050995	1,000000	0,033212
	Outono	0,050995	-	0,498183	1,000000
Lemmermanniella/Epigloeosphaera	Inverno	1,000000	0,498183	-	0,348537
	Primavera	0,033212	1,000000	0,348537	-
	Verão		1,000000	0,000032	0,022594
	Outono	1,000000	-	0,000532	0,317140
Temperatura da água	Inverno	0,000032	0,001532	-	0,492182
	Primavera	0,022594	0,317140	0,492182	-
	Verão	-	1,000000	0,097526	1,000000
	Outono	1,000000	1,000000	0,284340	1,000000
pH	Inverno	0,097526	0,284340	0,204340	0,050957
	Primavera	1,000000	1,000000	0,050957	-
	Verão	1,000000	0,777852	1,000000	1,000000
	Outono	0,777852	0,777632	1,000000	1,000000
Nitrogênio Amoniacal	Inverno	1,000000	1,000000	1,000000	1,000000
	Primavera	1,000000	1,000000	1,000000	-
	Verão	1,000000	1,000000	0,447130	1,000000
	Outono	1,000000	1,000000	0,447130	0,951222
Nitrito	Inverno	0,447130	0,155273	0,133273	1,000000
	Primavera	1,000000	0,155275	1,000000	1,000000
	Verão	1,000000	1,000000	0,049653	0,327154
	Outono	1,000000	1,000000	0,049033	0,072921
Nitrato	Inverno	0,049653	0,008837	0,008837	1,000000
	Primavera	0,049055	0,008837	1,000000	1,000000
	Verão	0,327134	0,568351	0,678637	1,000000
	Outono	0,568351	0,308331	0,078037	0,515997
Fósforo Total	Inverno	0,508551	0,007131	-	0,313997
	Primavera	1,000000	0,515997	0,739934	0,739934
		1,000000		,	1 000000
	Verão Outono	- 0.91 <i>4276</i>	0,814276	1,000000	1,000000
Ortofosfato	Outono	0,814276	- 0.166272	0,166373	0,138391
	Inverno Primovoro	1,000000	0,166373	1,000000	1,000000
	Primavera	1,000000	0,138391	-	0.160005
	Verão Outono	0.006711	0,006711	1,000000	0,169885 1,000000
Clorofila- α		0,006711	0.122070	0,122969	,
	Inverno	1,000000	0,122969	1 000000	1,000000
	Primavera	0,169885	1,000000	1,000000	1.000000
	Verão	1 000000	1,000000	0,032398	1,000000
Densidade de cianobactérias	Outono	1,000000	0.000003	0,000803	1,000000
	Inverno	0,032398	0,000803	0.016920	0,016829
	Primavera	1,000000	1,000000	0,016829	- 0.202000
	Verão	-	1,000000	0,001277	0,293908
OD_{SAT}	Outono	1,000000	-	0,001473	0,353322
nu 1	Inverno	0,001277	0,001473	-	0,437564
	Primavera	0,293908	0,353322	0,437564	-

ponto PF-01

Tabela 15 - Testes de Kruskal-Wallis a um nível de significância de 5% para avaliação da homogeneidade.

Parâmetro	Estação climatológica	p value						
	· · · · · · · · · · · · · · · · · · ·	Verão	Outono	Inverno	Primavera			
	Verão	-	0,309627	1,000000	1,000000			
	Outono	0,309627	-	0,941166	1,000000			
Aphanocapsa	Inverno	1,000000	0,941166	-	1,000000			
	Primavera	1,000000	1,000000	1,000000	, -			
	Verão	-	0,623412	0,000034	0,000518			
	Outono	0,623412	-	0,012778	0,097824			
Planktolyngbya limnetica	Inverno	0,000034	0,012778	-	1,000000			
	Primavera	0,000518	0,097824	1,000000	-			
	Verão	-	0,418722	0,407246	1,000000			
	Outono	0,418722	-	0,001722	0,851004			
Limnococcus	Inverno	0,407246	0,001722	-	0,188668			
	Primavera	1,000000	0,851004	0,188668	-			
	Verão	-	0,716304	1,000000	0,658139			
	Outono	0,716304	0,710304	0,556763	1,000000			
Lemmermanniella/Epigloeosphaera	Inverno	1,000000	0,556763	-	0,512557			
	Primavera	0,658139	1,000000	0,512557	-			
	Verão	0,050157	1,000000	0,000044	0,004944			
	Outono	1.000000	1,000000	0,000682	0,004944			
Temperatura da água	Inverno	0,000044	0,000682	0,000082	1,000000			
	Primavera	0,000044	0,045276	1,000000	1,000000			
	Verão	0,004344	0,790819	0,010745	1,000000			
			0,790819					
pH	Outono Inverno	0,790819 0,010745	0,445787	0,445787	0,878069 0,011007			
				0.011007	0,011007			
	Primavera	1,000000	0,878069	0,011007	1 000000			
	Verão	1 000000	1,000000	1,000000	1,000000			
Nitrogênio Amoniacal	Outono	1,000000	1 000000	1,000000	1,000000			
_	Inverno	1,000000	1,000000	1 000000	1,000000			
	Primavera ~	1,000000	1,000000	1,000000	1 000000			
	Verão	1 000000	1,000000	0,103050	1,000000			
Nitrito	Outono	1,000000	-	0,086375	1,000000			
	Inverno	0,103050	0,086375	- 0.400700	0,490789			
	Primavera	1,000000	1,000000	0,490789	1 000000			
	Verão	-	1,000000	0,032442	1,000000			
Nitrato	Outono	1,000000	0.001561	0,001561	0,285716			
	Inverno	0,032442	0,001561	-	0,762593			
	Primavera	1,000000	0,285716	0,762593	-			
	Verão	-	1,000000	1,000000	1,000000			
Fósforo Total	Outono	1,000000	-	0,820119	0,938282			
	Inverno	1,000000	0,820119	-	1,000000			
	Primavera	1,000000	0,938282	1,000000				
	Verão	-	1,000000	1,000000	0,952252			
Ortofosfato	Outono	1,000000	-	0,574480	0,124116			
	Inverno	1,000000	0,574480	-	1,000000			
	Primavera	0,952252	0,124116	1,000000				
	Verão	-	0,001314	0,006195	0,290750			
Clorofila- α	Outono	0,001314	_	1,000000	0,714462			
	Inverno	0,006195	1,000000	_	1,000000			
	Primavera	0,290750	0,714462	1,000000	_			
	Verão	-	1,000000	0,078304	1,000000			
Densidade de cianobactérias	Outono	1,000000	_	0,004402	1,000000			
Deligitude de cianobacterias	Inverno	0,078304	0,004402	-	0,111988			
	Primavera	1,000000	1,000000	0,111988	-			
	Verão	-	1,000000	0,012339	1,000000			
$\mathrm{OD}_{\mathrm{SAT}}$	Outono	1,000000	-	0,012356	1,000000			
ODSAT	Inverno	0,012339	0,012356	-	0,179864			
	111101110	,						

profundidade de 5 m no ponto PF-01

Tabela 16 - Testes de Kruskal-Wallis a um nível de significância de 5% para avaliação da homogeneidade

Netro	Parâmetro	Estação climatológica	p value						
Aphanocapsa			Verão	Outono	Inverno	Primavera			
Inverno 1,000000 0,577476 - 1,00 1,000000		Verão	-	1,000000	1,000000	1,000000			
Primavera 1,000000 0,3774/6 0 1,000000 1,0	A mla mana a ama a	Outono	1,000000	-	0,577476	1,000000			
Planktolyngbya limnetica	Apnanocapsa	Inverno	1,000000	0,577476	-	1,000000			
Planktolyngbya limnetica Outono Inverno (n,00070°) 0,148177 (n) 0,244 (n) 0,00070°) 0,148177 (n) 0,00000° 0,244382 (n) 0,00000° 0,00000° 0,244382 (n) 0,00000° 0,00000° 0 Limnococcus Verão (nyerno (n) 0,003837 (n) 0,640067 (n) 0,00000° 1,000000 (n) 0,00000° 1,000000 (n) 0,000000 (n) 0,000000 (n) 0,000000° 1,000000 (n) 0,000000 (n) 0,		Primavera	1,000000	1,000000	1,000000	-			
Inverno		Verão	-	0,478163	0,000709	0,001281			
Note	Dlanktohnahva limnotiaa	Outono	0,478163	-	0,148177	0,244382			
Limnococcus	-tanktotyngbya timnetica	Inverno	0,000709	0,148177	-	1,000000			
Limnococcus Outono Inverno O.003837 (0.640067 (0.000000 (0.000000) (0.000000) (0.000000) (0.000000) (0.000000) (0.000000 (0.000000) (0.000000) (0.000000) (0.000000 (0.000000) (0.000000) (0.000000) (0.000000 (0.43 (0.00000) (0.43 (0.00000) (0.43 (0.00000) (0.43 (0.00000) (0.43 (0.00000) (0.43 (0.00000) (0.43 (0.00000) (0.43 (0.00000) (0.43 (0.00000) (0.43 (0.00000) (0.43 (0.00000) (0.43 (0.00000) (0.43 (0.00000) (0.43 (0.00000) (0.00000) (0.00000) (0.00000) (0.000000) (0.000000) (0.000000) (0.000000) (0.000000) (0.000000) (0.000000) (0.000000) (0.000000) (0.000000) (0.		Primavera	0,001281	0,244382	1,000000	-			
Inverno		Verão	-	0,310454	0,003837	0,018877			
Inverno N. N. N. N. N. N. N. N	Limnococcus	Outono	0,310454	-	0,640067	1,000000			
Lemmermanniella/Epigloeosphaera	2mnococcus	Inverno	0,003837	0,640067	-	1,000000			
Lemmermanniella/Epigloeosphaera Outono Inverno Incon0000 Incon00000 Incon0000 Incon000 Incon0000 Incon000 Incon00 Incon000 Incon000 Incon000 Incon000 Incon000 Incon000 Incon		Primavera	0,018877	1,000000		-			
Inverno		Verão	-	1,000000		1,000000			
Inverno 1,000000 1,000000 - 1,00000	l emmermanniella/Fnioloeosnhaera			-	1,000000	0,432709			
Temperatura da água	zomici mannena Lpigweospinieru				-	1,000000			
Temperatura da água Outono Inverno (0,009578 (0,003373 (0,000000 (0,009578 (0,003373 (0,000000 (0,000000 (0,000000 (0,000000 (0,000000 (0,00000 (0,00000 (0,00000 (0,00000 (0,00000 (0,00000 (0,00000 (0,00000 (0,00000 (0,00000 (0,00000 (0,00000 (0,00000 (0,000000 (0,00000 (0,00000 (0,00000 (0,00000 (0,00000 (0,00000 (0,000000 (0,00000 (0,00000 (0,00000 (0,00000 (0,00000 (0,00000 (0,000000 (0,00000 (0,00000 (0,00000 (0,00000 (0,00000 (0,00000 (0,000000 (0,00000 (0,00000 (0,00000 (0,00000 (0,00000 (0,00000 (0,000000 (0,00000 (0,00000 (0,00000 (0,00000 (0,00000 (0,00000 (0,000000 (0,00000 (0,00000 (0,00000 (0,00000 (0,00000 (0,00000 (0,000000 (0,00000 (0,00000 (0,00000 (0,00000 (0,00000 (0,00000 (0,000000 (0,00000 (0,00000 (0,00000 (0,00000 (0,00000 (0,00000 (0,000000 (0,00000 (0,00000 (0,00000 (0,00000 (0,00000 (0,00000 (0,000000 (0,00000 (0,00000 (0,00000 (0,00000 (0,00000 (0,00000 (0,000000 (0,00000 (0,00000 (0,00000 (0,00000 (0,00000 (0,00000 (0,000000 (0,0			1,000000		,	-			
Inverno 0,009578 0,003373 - 1,000 0,000 1,00000 - 1,000000 - 1,00000 - 1,00000 - 1,000000 - 1,000000 - 1,000000 - 1,000000 - 1,000000			-	1,000000		0,002156			
Primavera 0,002156 0,000617 1,000000 1,00000	Femneratura da água		,	-	0,003373	0,000617			
PH	remperatura da agua				-	1,000000			
pH Outono Inverno O,076960 O,265898 O,036 O,265898 O,000 O,76960 O,265898 O,000 O,076960 O,265898 O,000 O,00000 O,000			0,002156			-			
Inverno 0,076960 0,265898 - 1,00			-	1,000000		0,007947			
Nitrogênio Amoniacal Primavera 0,007947 0,034308 1,000000 1,0000	эΗ			-	0,265898	0,034308			
$ Nitrogênio Amoniacal & Verão & - & 1,000000 & 1,000000 & 1,00 \\ Outono & 1,000000 & - & 1,000000 & 1,00 \\ Inverno & 1,000000 & 1,000000 & - & 1,00 \\ Primavera & 1,000000 & 1,000000 & 1,000000 & - & 1,00 \\ Verão & - & 1,000000 & 1,000000 & 1,00 \\ Outono & 1,000000 & - & 0,243181 & - & 1,00 \\ Inverno & 1,000000 & 0,806811 & 1,000000 & - & 1,00 \\ Primavera & 1,000000 & 0,806811 & 1,000000 & 1,00 \\ Verão & - & 1,000000 & 1,000000 & - & 1,00 \\ Outono & 1,000000 & - & 1,000000 & 1,00 \\ Inverno & 1,000000 & 1,000000 & - & 1,00 \\ Primavera & 1,000000 & 1,000000 & - & 1,00 \\ Primavera & 1,000000 & 1,000000 & - & 0,011166 & 0,36 \\ Inverno & 0,275108 & 0,011166 & - & 1,00 \\ Primavera & 1,000000 & 0,369298 & 1,000000 \\ Outono & 1,000000 & 0,369298 & 1,000000 \\ Inverno & 0,724219 & 0,420933 & - & 1,00 \\ Primavera & 0,658139 & 0,369298 & 1,000000 \\ Primavera & 0,658139 & 0,369298 & 1,000000 \\ Outono & 1,000000 & - & 1,000000 & 1,00 \\ Primavera & 0,658139 & 0,369298 & 1,000000 \\ Outono & 1,000000 & - & 1,000000 & 1,00 \\ Primavera & 0,658139 & 0,369298 & 1,000000 \\ Outono & 1,000000 & - & 1,000000 & 1,00 \\ Outono & 1,000000 & - & 1,000000 & 1,00 \\ Inverno & 0,724219 & 0,420933 & - & 1,00 \\ Primavera & 0,658139 & 0,369298 & 1,000000 \\ Inverno & 1,000000 & - & 1,000000 & - & 1,000000 \\ Inverno & 1,000000 & - & 1,000000 & - & 1,000000 \\ Inverno & 1,000000 & - & 1,000000 & - & 1,000000 \\ Inverno & 1,000000 & - & 1,000000 & - & 1,000000 \\ Inverno & 1,000000 & 1,000000 & - & 1,000000 \\ Inverno & 1,000000 & 1,000000 & - & 1,000000 \\ Inverno & 1,000000 & 1,000000 & - & 1,000000 \\ Inverno & 1,000000 & 1,000000 & - & 1,000000 \\ Inverno & 1,000000 & 1,000000 & - & 1,000000 \\ Inverno & 1,000000 & 1,000000 & - & 1,000000 \\ Inverno & 1,000000 & 1,000000 & - & 1,000000 \\ Inverno & 1,000000 & 1,000000 & - & 1,000000 \\ Inverno & 1,000000 & 1,000000 & - & 1,000000 \\ Inverno & 1,000000 & 1,000000 & - & 1,000000 \\ Inverno & 1,000000 & 1,000000 & - & 1,000000 \\ Inverno & 1,000000 & 1,000000 & - & 1,000000 \\ Inverno & 1,000000 & 1,000000 & - & $, <u></u> -				-	1,000000			
Nitrogênio Amoniacal Outono Inverno I,000000 I,00000 I,000000 I,00000 I,00000 I,00000 I,00000 I,00000 I,000000 I,00000 II I,			0,007947			-			
			-	1,000000		1,000000			
Nitrito 1,0000000	Nitrogênio Amoniacal		,	-	1,000000	1,000000			
Nitrito $ \begin{array}{c ccccccccccccccccccccccccccccccccccc$					-	1,000000			
			1,000000	,		-			
			1 000000	1,000000		1,000000			
	Nitrito		,	0.242191	0,243181	0,806811			
$ \begin{tabular}{ l l l l l l l l l l l l l l l l l l l$					1 000000	1,000000			
			1,000000			1,000000			
Nitrato Inverno 1,000000 1,000000 - 1,00 Primavera 1,000000 1,000000 - 1,00 Verão - 1,000000 0,275108 1,00 Fósforo Total Outono 1,000000 - 0,011166 - 1,00 Primavera 1,000000 0,369298 1,000000 - 1,00 Ortofosfato Verão - 1,000000 0,724219 0,65 Inverno 0,724219 0,420933 - 1,00 Primavera 0,658139 0,369298 1,000000 1,00 Verão - 1,000000 - 1,000000 Primavera 0,658139 0,369298 1,000000 1,00 Clorofila-α Outono 1,000000 - 1,000000 - 1,000000 1,00 Inverno 1,000000 1,000000 - 1,000000 - 1,000000 -			1 000000	1,000000		1,000000			
Primavera 1,000000 1,000000 1,000000 Verão - 1,000000 0,275108 1,00 Outono 1,000000 - 0,011166 0,36 Inverno 0,275108 0,011166 - 1,00 Primavera 1,000000 0,369298 1,000000 - Ortofosfato Verão - 1,000000 - 0,420933 0,36 Inverno 0,724219 0,420933 - 1,00 Primavera 0,658139 0,369298 1,000000 - Verão - 1,000000 - 1,000000 Clorofila-α Verão - 1,000000 - 1,000000 Local de la complexación - 1,000000 - 1,000000 - Local de la complexación - 1,000000 - 1,000000 - Local de la complexación - 1,000000 - 1,000000 - Local de la complexación - 1,000000	Nitrato		,	1 000000	1,000000	1,000000			
Fosforo Total					1 000000	1,000000			
Fósforo Total Outono Inverno O,275108 O,011166 O,360 - O,011166 O,360 0,011166 O,360 - O,011166 O,360 - O,0000 - O,00000			1,000000			1,000000			
$ \begin{array}{c ccccccccccccccccccccccccccccccccccc$			1.000000	1,000000	,	0,369298			
$ \begin{array}{c ccccccccccccccccccccccccccccccccccc$	Fósforo Total			0.011166	0,011100	1,000000			
$ \begin{array}{c ccccccccccccccccccccccccccccccccccc$,		1 000000	-			
$ \begin{array}{c ccccccccccccccccccccccccccccccccccc$			-			0,658139			
$ \begin{array}{c ccccccccccccccccccccccccccccccccccc$			1.000000	-		0,369298			
$\begin{tabular}{c c c c c c c c c c c c c c c c c c c $	Ortofosfato			0.420933	-	1,000000			
$ \begin{array}{c ccccccccccccccccccccccccccccccccccc$					1.000000	-			
Clorofila- α			-			1,000000			
Inverno 1,000000 1,000000 - 1,00	G1		1,000000	-,555500		1,000000			
	Clorofila-α			1,000000	-	1,000000			
					1,000000	-			
						0,293908			
Outono 0.049132 - 1.000000 1.00			0,049132	-		1,000000			
Llengidade de cianobacterias	Jensidade de cianobactérias			1,000000	-	1,000000			
Primavera 0,293908 1,000000 1,000000			,		1,000000	-			
						0,389633			
Outons 1,000000 0,002220 0,50			1,000000	-		0,591853			
	JD_{SAT}		,	0,003220	-	0,414658			
Primavera 0,389633 0,591853 0,414658					0,414658	-			

profundidade de 10 m no ponto PF-01

Tabela 17 - Testes de Kruskal-Wallis a um nível de significância de 5% para avaliação da homogeneidade

Parâmetro	Estação climatológica					
	emmatorogica _	Verão	Outono	Inverno	Primavera	
	Verão	-	0,047653	0,227677	0,573439	
4 1	Outono	0,047653	-	1,000000	1,000000	
Aphanocapsa	Inverno	0,227677	1,000000	-	1,000000	
	Primavera	0,573439	1,000000	1,000000	_	
	Verão	_	1,000000	0,165591	0,006284	
	Outono	1,000000	_	0,479804	0,027031	
Planktolyngbya limnetica	Inverno	0,165591	0,479804	-	1,000000	
	Primavera	0,006284	0,027031	1,000000	-	
	Verão	-	0,714671	0,349617	0,180009	
	Outono	0,714671	-	1,000000	1,000000	
Limnococcus	Inverno	0,349617	1,000000	-	1,000000	
	Primavera	0,180009	1,000000	1,000000	-	
	Verão	0,100007	1,000000	1,000000	1,000000	
	Outono	1,000000	1,000000	1,000000	1,000000	
Lemmermanniella/Epigloeosphaera	Inverno	1,000000	1,000000	1,000000	1,000000	
	Primavera	1,000000	1,000000	1,000000	1,000000	
		1,000000	0,362649		0.022097	
	Verão	0.262640	0,362649	0,842068	0,032087	
Temperatura da água	Outono	0,362649	0.005226	0,005226	0,000013	
1	Inverno	0,842068	0,005226	1 000000	1,000000	
	Primavera	0,032087	0,000013	1,000000	-	
	Verão	-	1,000000	0,091207	1,000000	
pH	Outono	1,000000	-	0,016830	1,000000	
r	Inverno	0,091207	0,016830	-	0,146288	
	Primavera	1,000000	1,000000	0,146288	-	
	Verão	-	0,104837	1,000000	0,557157	
Nitrogênio Amoniacal	Outono	0,104837	-	1,000000	1,000000	
Nitrogenio Amoniacai	Inverno	1,000000	1,000000	-	1,000000	
	Primavera	0,557157	1,000000	1,000000	-	
	Verão	-	0,245796	1,000000	0,549575	
Nitrito	Outono	0,245796	-	0,762146	1,000000	
Nitrito	Inverno	1,000000	0,762146	-	1,000000	
	Primavera	0,549575	1,000000	1,000000	-	
	Verão	-	0,190080	1,000000	0,371773	
NT:	Outono	0,190080	_	0,014232	0,000593	
Nitrato	Inverno	1,000000	0,014232	_	1,000000	
	Primavera	0,371773	0,000593	1,000000	_	
	Verão	-	0,338814	1,000000	1,000000	
	Outono	0,338814	-	0.037843	0,068999	
Fósforo Total	Inverno	1,000000	0,037843	-	1,000000	
	Primavera	1,000000	0,068999	1,000000	-	
	Verão	-	0,803500	1,000000	1,000000	
	Outono	0,803500	-	0,278888	0,052214	
Ortofosfato	Inverno	1,000000	0,278888	-	1,000000	
	Primavera	1,000000	0,052214	1,000000	-	
	Verão	1,000000	1,000000	1,000000		
		1,000000	1,000000		1,000000	
Clorofila-α	Outono	,	1 000000	1,000000	1,000000	
	Inverno	1,000000 1,000000	1,000000	1 000000	1,000000	
	Primavera	1,000000	1,000000	1,000000	0.019204	
	Verão	0.204005	0,394885	0,568093	0,018204	
Densidade de cianobactérias	Outono	0,394885	1.000000	1,000000	1,000000	
	Inverno	0,568093	1,000000	-	1,000000	
	Primavera	0,018204	1,000000	1,000000		
	Verão	-	1,000000	0,077120	0,856941	
$\mathrm{OD}_{\mathrm{SAT}}$	Outono	1,000000	-	0,808316	1,000000	
SAT	Inverno	0,077120	0,808316	-	1,000000	
	Primavera	0,856941	1,000000	1,000000		

profundidade de 20 m no ponto PF-01

Tabela 18 - Testes de Kruskal-Wallis a um nível de significância de 5% nos parâmetros entre as estações climatológicas e por estação climatológica para na superfície da coluna d'água no ponto PF-01

	Superfício	e						
nanocapsa nktolyngbya limnetica nmermanniella/Epigloeosphaera nnococcus mperatura da água rato	Estação climatológica	Tes	Testes em cada estação climatológica					
Parametros	Diferença significativa - agrupamento por estação	Diferença significativa						
	Diferença significativa - agrupamento por estação	Verão	Outono	Inverno	Primavera			
Densidade de cianobactérias	Sim	Não	Não	Não	Sim			
Aphanocapsa	Sim	Não	Não	Não	Sim			
Planktolyngbya limnetica	Sim	Não	Não	Não	Não			
Lemmermanniella/Epigloeosphaera	Sim	Não	Não	Não	Não			
Limnococcus	Sim	Não	Não	Não	Sim			
pH	Sim	Não	Não	Não	Não			
Temperatura da água	Sim	Não	Sim	Não	Não			
Nitrato	Sim	Não	Não	Não	Não			
$\mathrm{OD}_{\mathrm{SAT}}$	Sim	Não	Não	Não	Não			
Clorofila-α	Não	-	-	-	-			
Nitrito	Não	-	-	-	-			
Fósforo Total	Não	-	-	-	-			
Nitrogênio Amoniacal	Não	-	-	-	-			

Legenda: Os valores que apresentaram diferença significativa (p-value <0,05) foram destacados em vermelho

Tabela 19 - Testes de Kruskal-Wallis a um nível de significância de 5% nos parâmetros entre as estações climatológicas e por estação climatológica para a profundidade de 5 m no ponto PF-01

	5 metros	3					
D. A.	Estação climatológica	Testes em cada estação climatológica					
chanocapsa anktolyngbya limnetica mmermanniella/Epigloeosphaera mnococcus I mperatura da água trato	Diferença significativa - agrupamento por estação	Diferença significativa					
	Diferença significativa - agrupamento poi estação	Verão	Outono	Inverno	Primavera		
Densidade de cianobactérias	Sim	Não	Não	Não	Não		
Aphanocapsa	Não	-	-	-	-		
Planktolyngbya limnetica	Sim	Não	Não	Não	Não		
Lemmermanniella/Epigloeosphaera	Não	-	-	-	-		
Limnococcus	Sim	Não	Não	Não	Sim		
pH	Sim	Não	Não	Não	Não		
Temperatura da água	Sim	Não	Sim	Sim	Sim		
Nitrato	Sim	Não	Não	Não	Não		
$\mathrm{OD}_{\mathrm{SAT}}$	Sim	Não	Não	Não	Não		
Clorofila-α	Não	-	-	-	-		
Nitrito	Não	-	-	-	-		
Fósforo Total	Não	-	-	-	-		
Nitrogênio Amoniacal	Não	-	-	-	-		

Legenda: Os valores que apresentaram diferença significativa (p-value <0,05) foram destacados em vermelho.

Tabela 20 - Testes de Kruskal-Wallis a um nível de significância de 5% nos parâmetros entre as estações climatológicas e por estação climatológica para a profundidade de 10 m no ponto PF-01

	10 metro	S					
D. A.	Estação climatológica	Testes em cada estação climatológica					
chanocapsa anktolyngbya limnetica mmermanniella/Epigloeosphaera mnococcus I emperatura da água trato O _{SAT} orofila-α	Diferença significativa - agrupamento por estação	Diferença significativa					
	Diferença significativa - agrupamento poi estação	Verão	Outono	Inverno	Primavera		
Densidade de cianobactérias	Sim	Não	Não	Não	Não		
Aphanocapsa	Não	-	-	-	-		
Planktolyngbya limnetica	Sim	Não	Não	Não	Sim		
Lemmermanniella/Epigloeosphaera	Não	-	-	-	-		
Limnococcus	Sim	Não	Não	Não	Não		
pH	Sim	Não	Não	Não	Não		
Temperatura da água	Sim	Não	Sim	Não	Não		
Nitrato	Não	-	-	-	-		
$\mathrm{OD}_{\mathrm{SAT}}$	Sim	Não	Não	Não	Sim		
Clorofila-α	Não	-	-	-	-		
Nitrito	Não	-	-	-	-		
Fósforo Total	Não	-	-	-	-		
Nitrogênio Amoniacal	Não	-	-	-	-		

Legenda: Os valores que apresentaram diferença significativa (p-value <0,05) foram destacados em vermelho

Tabela 21 - Testes de Kruskal-Wallis a um nível de significância de 5% nos parâmetros entre as estações climatológicas e por estação climatológica para a profundidade de 20 m no ponto PF-01

	20 metro	S					
D A .	Estação climatológica	Tes	tes em ca	da estação c	ação climatológica		
Parâmetros	Diferença significativa - agrupamento por estação	Diferença significativa					
	Diferença significativa - agrupamento por estação	Verão	Outono	Inverno	Primavera		
Densidade de cianobactérias	Sim	Não	Não	Não	Não		
Aphanocapsa	Sim	Não	Não	Não	Não		
Planktolyngbya limnetica	Sim	Não	Não	Não	Não		
Lemmermanniella/Epigloeosphaera	Não	-	-	-	-		
Limnococcus	Não	-	-	-	-		
pН	Sim	Não	Não	Não	Não		
Temperatura da água	Sim	Não	Não	Sim	Não		
Nitrato	Sim	Não	Não	Não	Não		
$\mathrm{OD}_{\mathrm{SAT}}$	Não	-	-	-	-		
Clorofila-α	Não	-	-	-	-		
Nitrito	Não	-	-	-	-		
Fósforo Total	Não	-	-	-	-		
Nitrogênio Amoniacal	Não	-	-	-	-		

Legenda: Os valores que apresentaram diferença significativa (p-value <0,05) foram destacados em vermelho.

A partir das Tabelas 18-21 é observado que há diferença significativa entre as estações climatológicas (efeito da sazonalidade) em todas as profundidades para alguns parâmetros. Considera-se que todos os parâmetros não apresentaram diferença significativa dentro de cada estação climatológica, uma vez que 92,6% dos testes apresentaram como resultado a homogeneidade dos dados.

5.2 Análise Descritiva

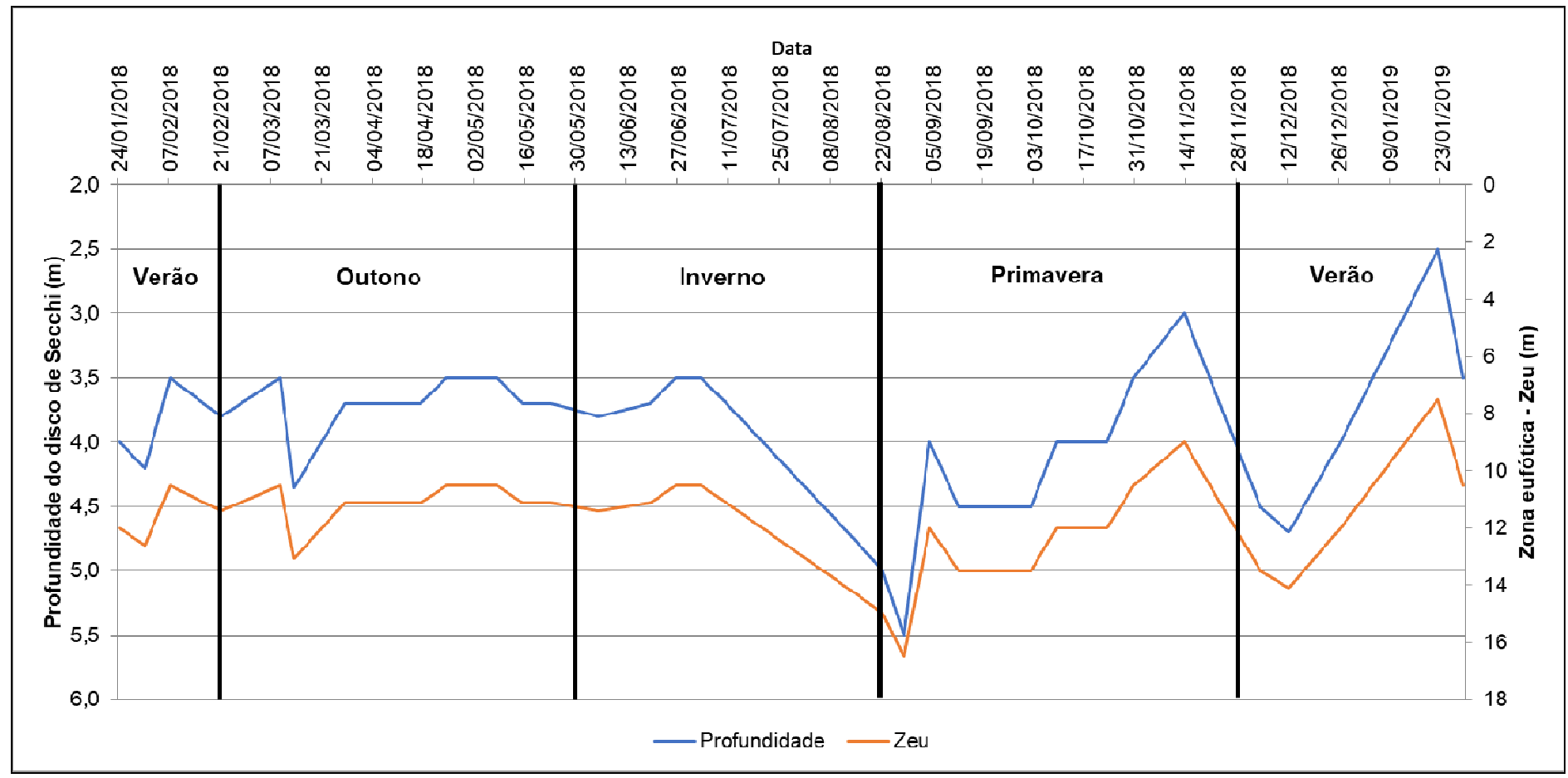
Para a avaliação dos dados foram gerados gráficos Box plot para todas as séries dos parâmetros e os dados foram agrupados por profundidade de coleta no ponto PF-01. A Tabela 22 apresentam o número de valores válidos (N), mediana, mínimo, máximo e o período de ocorrência.

Tabela 22 - Estatística descritiva dos dados das amostras coletadas nas profundidades superfície, 5m, 10m e 20m entre janeiro/2018 e janeiro/2019 no ponto PF-01

Prof.	Valores	T _{H2O} (°C)	pН	OD _{SAT} (% O ₂)	N-NH ₃ (mg.L ⁻¹ N)	N-NO ₂ (mg.L ⁻¹ N)	N-NO ₃ (mg.L ⁻¹ N)	P-PO ₄ (mg.L ⁻¹ P)	$\begin{array}{c} P_T \\ (mg.L^{-1} P) \end{array}$	Cl-a (µg.L ⁻¹)	CIAN (cél.mL ⁻¹)	$\begin{array}{c} MC \\ (\mu g.L^{\text{-}1}) \end{array}$	STX (μg.L ⁻¹)	CYN (µg.L ⁻¹)
	N	36	35	36	34	30	29	36	36	34	36	28	32	16
	Mediana	26,4	7	80	0,0075	0,0003	0,021	0,002	0,002	1,35	87835	0,05	0,01	0,03
	Mínimo	22	6,4	63,9	0,0075	0,0003	0,001	0,002	0,002	0,33	15451	0,05	0,01	0,03
Sup.	(mês)	(jun/18 -jul/18)	(jun/18)	(jun/18)	(jan/18 a jan/19)	(jan/18 a jun/18 e ago/18 a jan/19)	(fev/18 a mai/18, dez/18 e jan/19)	(fev/18, abr/18 a jan/19)	(mai/18 a jan/19)	(jan/18,mar/18, jun/18 a ago/18, dez/18 e jan/19)	(ago/18)	(jan/18 a jan/19)	(jan/18 a jan/19)	(jan/18 a jan/19)
	Máximo	32,8	7,4	94,6	0,059	0,004	0,13	0,011	0,021	3,14	395684	0,344	0,01	0,03
	(mês)	(jan/19)	(jan/18)	(jan/18)	(jan/19)	(jun/18)	(jun/18)	(mar/18- abril/18)	(mai/18)	(jun/18)	(nov/18)	(jun/18)	(jan/18 a jan/19)	(jan/18 a jan/19)
	N	36	35	36	34	30	29	36	36	34	36	17	17	12
	Mediana	24,5	7,2	77,8	0,0075	0,0003	0,032	0,002	0,005	2,04	102447	0,05	0,01	0,03
	Mínimo	21,4	6,3	57,3	0,0075	0,0003	0,001	0,002	0,002	0,33	10077	0,05	0,01	0,03
5m	(mês)	(ago/18)	(jun/18)	(jun/18)	(jan/18 a jan/19)	(jan/18 a jun/18 e ago/18 a jan/19)	(fev/18 a mai/18 e jan/19)	(abr/18 a jan/19)	(mai/18 a set/18, nov/18 a jan/19	(jan/18,fev/18, ago/18 e jan/19)	(jun/18)	(jan/18 a jan/19)	(jan/18 a jan/19)	(jan/18 a jan/19)
	Máximo	30,6	7,5	91,9	0,046	0,004	0,121	0,011	0,031	3,74	428596	0,05	0,01	0,03
	(mês)	(jan/19)	(set/18- out/18)	(mar/18)	(jan/19)	(jun/18)	(jun/18)	(jun/19)	(abr/18)	(mai/18 e ago/18)	(nov/18)	(jan/18 a jan/19)	(jan/18 a jan/19)	(jan/18 a jan/19)
	N	36	35	36	34	30	29	36	36	33	36	17	17	12
	Mediana	22,9	6,5	43,3	0,0075	0,0003	0,073	0,002	0,002	1,04	41651	0,05	0,01	0,03
	Mínimo	21,3	6,2	19,7	0,0075	0,0003	0,01	0,002	0,002	0,33	6891	0,05	0,01	0,03
10m	(mês)	(ago/18)	(abr/18)	(dez/18)	(jan/18 a jan/19)	(jan/18 a jun/18, ago/18, set/18 e jan/19)	(fev/18 e jan/19)	(abr/18 a jan/19)	(mai/18 a jan/19)	(fev/18,abr/18, jun/18,jul/18, dez/18 e jan/19)	(out/18)	(jan/18 a jan/19)	(jan/18 a jan/19)	(jan/18 a jan/19)
	Máximo	26,5	7	67,3	0,032	0,005	0,127	0,01	0,037	3,28	178388	0,05	0,01	0,03
	(mês)	(abr/18)	(mai/18- ago/18)	(set/18)	(dez/19)	(jun/18)	(fev/18)	(mar/18- abr/18)	(mai/18)	(ago/18)	(jan/19)	(jan/18 a jan/19)	(jan/18 a jan/19)	(jan/18 a jan/19)
	N	36	35	36	34	30	29	36	36	33	36	17	17	12
	Mediana	21,9	6,4	11,5	0,0075	0,0003	0,103	0,002	0,006	0,33	2458	0,05	0,01	0,03
	Mínimo	20,5	5,7	2	0,0075	0,0003	0,001	0,002	0,002	0,33	0	0,05	0,01	0,03
20m	(mês)	(set/18)	(abr/18)	(dez/18)	(jan/18 a out/18 e jan/19)	(jan/18 a out/18)	(mar/18)	(jan/18, mar/18 a jan/19)	(mai/18 a jan/19)	(jan/18 a jan/19)	(jul/18,set/18 e out/18)	(jan/18 a jan/19)	(jan/18 a jan/19)	(jan/18 a jan/19)
	Máximo	24,4	6,7	27,3	0,059	0,007	0,22	0,015	0,023	1,44	21161	0,05	0,01	0,03
	(mês)	(abr/18)	(ago/18)	(jun/18)	(jan/19)	(jan/19)	(jun/18)	(mai/18)	(mai/18)	(ago/18)	(jan/19)	(jan/18 a jan/19)	(jan/18 a jan/19)	(jan/18 a jan/19)

A transparência da água teve uma variação entre 2,5 metros e 5,5 metros, definindo uma zona eufótica (Z_{eu}) variando entre 7,5 metros e 16,5 metros. Durante o verão (dezembro, janeiro e fevereiro) e o outono (março, abril e maio) estações caracterizadas por períodos de maior pluviosidade, foi observado redução na Z_{eu} , enquanto no inverno (junho, julho e agosto), há um aumento da profundidade da Z_{eu} e na primavera observa-se uma maior instabilidade (Figura 09). O aumento na transparência da água ocorrido entre final de junho e final de agosto coincide com a redução significativa da comunidade de cianobactérias, desestratificação térmica do reservatório e o período seco.

 $Figura~9-Evolução~temporal~da~variação~da~profundidade~do~Disco~de~Secchi~e~da~Z_{eu}~no~ponto~PF-01~entre~janeiro/2018~e~janeiro/2019$

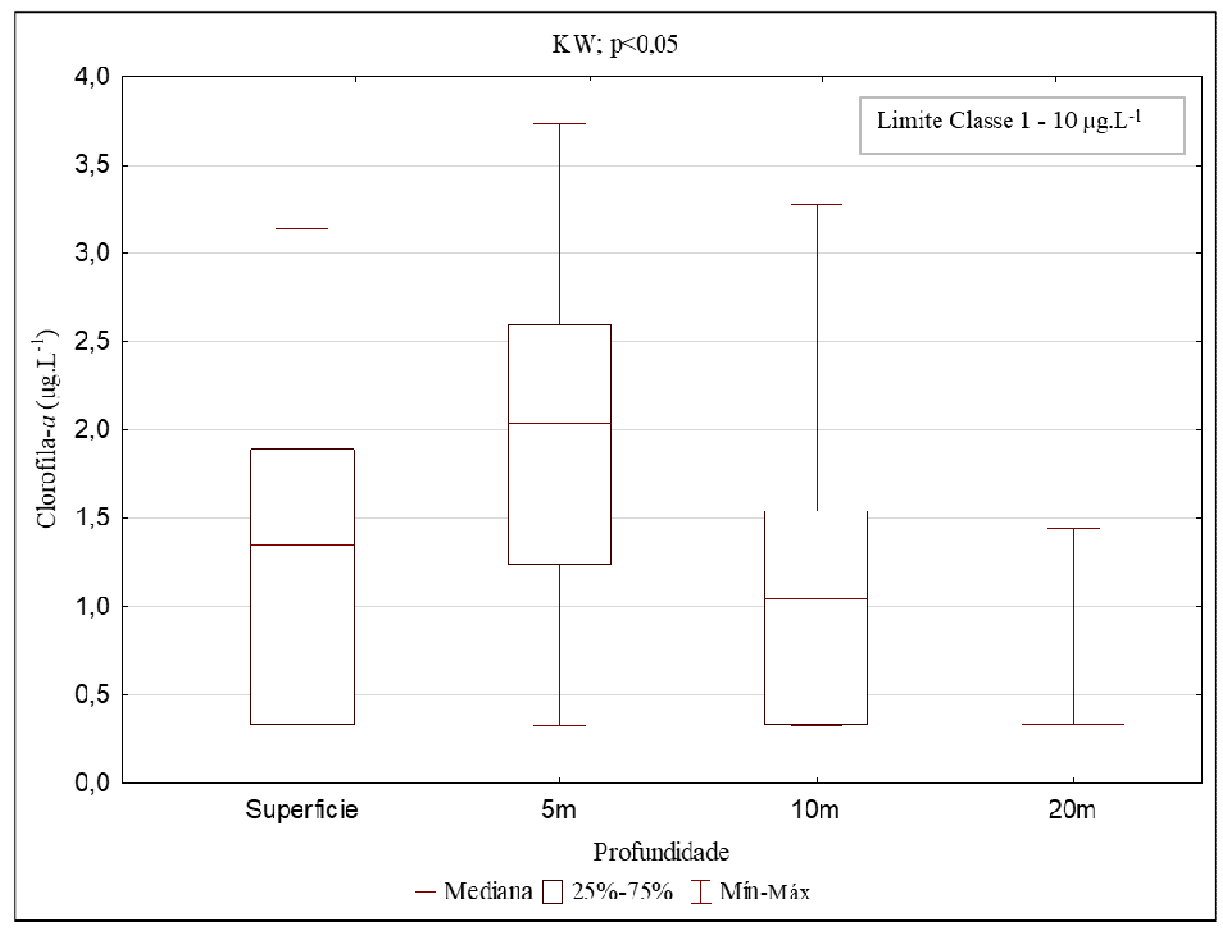


As Figuras de 10 a 35 representam através de diversos gráficos os parâmetros clorofila-*a* (Figura 10), oxigênio dissolvido (Figuras 11 a 14), temperatura da água (Figura 15 a 17), pH (Figura 18), nitrogênio amoniacal (Figura 19), nitrato (Figura 20), nitrito (Figura 21), fósforo total (Figura 22), ortofosfato (Figura 23) e da densidade de cianobactérias (e distribuição dos principais gêneros) (Figura 24 a 35).

A partir da Figura 10 é possível observar que ao longo do período estudado, os valores obtidos da concentração de clorofila-a foram significativamente diferentes nas profundidades monitoradas (KW, p<0,05). A mediana da concentração de clorofila-a na superfície foi 1,35 μ g.L⁻¹(Tabela 22), com os menores valores ocorrendo nos meses jan/18, mar/18, jun/18 a ago/18, dez/18 e jan/19 (0,33 μ g.L⁻¹) (Tabela 22) e o maior valor ocorrendo no mês de jun/18 (3,14 μ g.L⁻¹) (Tabela 22).

Os valores de clorofila-*a* em todas as profundidades foram baixos e inferiores ao limite de 10,0 µg.L⁻¹ 2 estabelecido pela resolução CONAMA 357/05 para águas do tipo classe 1 (Figura 10).

Figura 10 - Valores medianos, mínimo (Min) e máximo (Máx) da concentração de clorofila-*a* na superfície, 5, 10 e 20 m, do ponto PF-01, situado próximo a barragem do Reservatório de Ribeirão das Lajes, Piraí, RJ, para o período de janeiro de 2018 a janeiro de 2019



A partir da Figura 10 é possível observar que ao longo do período estudado, os valores obtidos da saturação de oxigênio dissolvido foram significativamente diferentes nas profundidades monitoradas (KW, p<0,05). A mediana da saturação de oxigênio dissolvido na superfície foi igual a 80% O₂ (Tabela 22), com menor valor ocorrendo no mês de junho de 2018 (63,9% O₂) (Tabela 22) e o maior valor em jan/18 (94,6 % O₂) (Tabela 22).

Durante todo o período de estudo, não foi observada diferença significativa entre os valores de saturação de oxigênio dissolvido na superfície e em 5 m (KW, p= 1,0) (Tabela 14). Os valores da saturação de oxigênio dissolvido para a profundidade de 10m foram significativamente diferentes das demais profundidades ($KW_{Superfície}$, p<0,05; KW_{5m} , p<0,05; KW_{20m} , p<0,05) (Tabela 14), apresentaram a maior variabilidade, oscilando na mínima de 19,7% O_2 , atingida dez/18 (Tabela 22), a 67,3 % O_2 obtida em set/18 (Tabela 22). Na

profundidade de 20m houve redução significativa na saturação de oxigênio, apresentando valores medianos próximos a 10% O₂.

Os valores de oxigênio dissolvido nas profundidades superficial, 5m e 10m, foram inferiores ao limite de concentração mínima de 6,0 mg.L⁻¹ O₂ estabelecida pela resolução CONAMA 357/05 para águas do tipo classe 1 (Figura 11) (limite estabelecido para profundidade superficial) em algumas amostragens. A partir da profundidade de 20m, os valores de oxigênio dissolvido em todas as amostragens foram inferiores ao limite supracitado.

A Figura 12 apresenta os dados de saturação de oxigênio dissolvido ao longo da coluna d'água, em todas as amostragens e a Figura 13 por estação climatológica. Entre jan/18 e mai/18 há um perfil bem definido entre as camadas superficiais e as mais profundas. Nesse período, a saturação de oxigênio na superfície e a 5 m segue um mesmo padrão, enquanto as camadas mais profundas, de 10m e 20m, apresentam níveis bem mais baixos de saturação de oxigênio. Entre final de mai/18 e final de ago/18 ocorre uma homogeneização da coluna d'água até os 10m de profundidade. A partir de set/18 até jan/19, a saturação na profundidade de 10m volta a diminuir, enquanto nas camadas superiores, superfície e 5m, os valores seguem estáveis e elevados. Ao longo de todo o período estudado a camada mais profunda tem pouca alteração na saturação de OD, variando entre 2,0 % O₂ e 27,3 % O₂, demonstrando a estabilidade dessa camada.

Figura 11 – Valores medianos, mínimo (Min) e máximo (Máx) de saturação de oxigênio dissolvido na superfície, 5, 10 e 20 m, do ponto PF-01, situado próximo a barragem do Reservatório de Ribeirão das Lajes, Piraí, RJ, para o período de janeiro de 2018 a janeiro de 2019

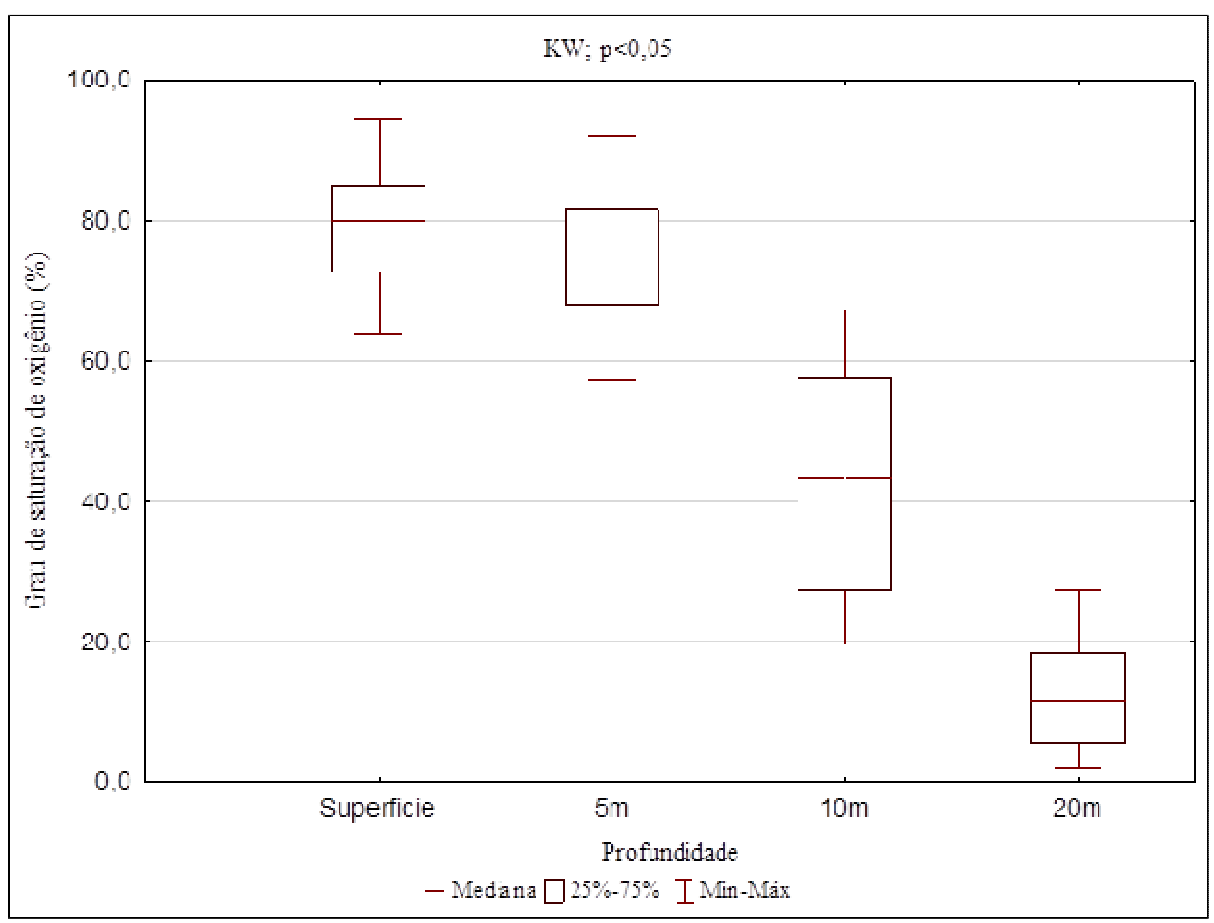


Figura 12 - Valores medianos, mínimo (Min) e máximo (Máx) de saturação de oxigênio dissolvido na superfície, 5, 10 e 20 m, do ponto PF-01, situado próximo a barragem do Reservatório de Ribeirão das Lajes, Piraí, RJ, para o período de janeiro de 2018 a janeiro de 2019

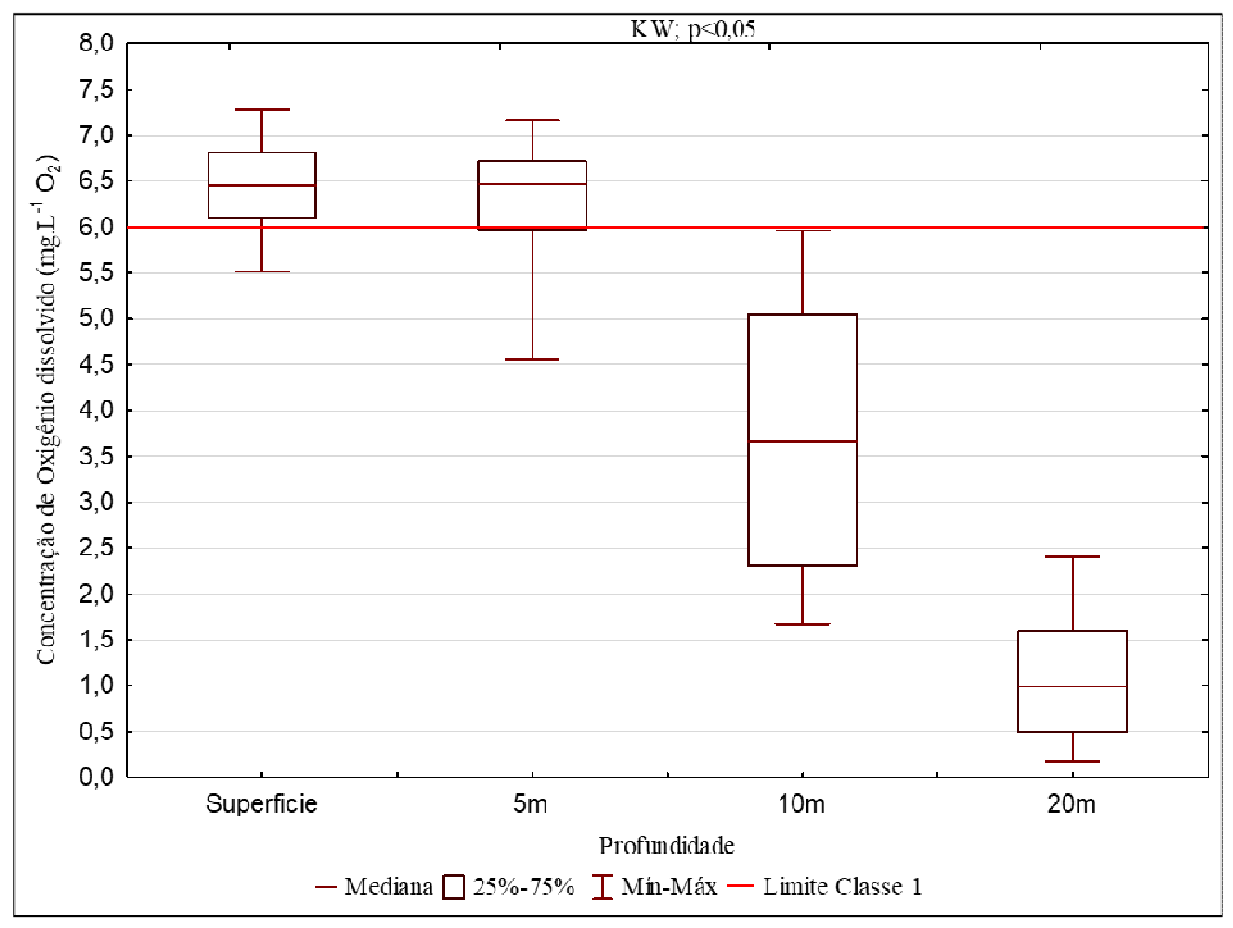
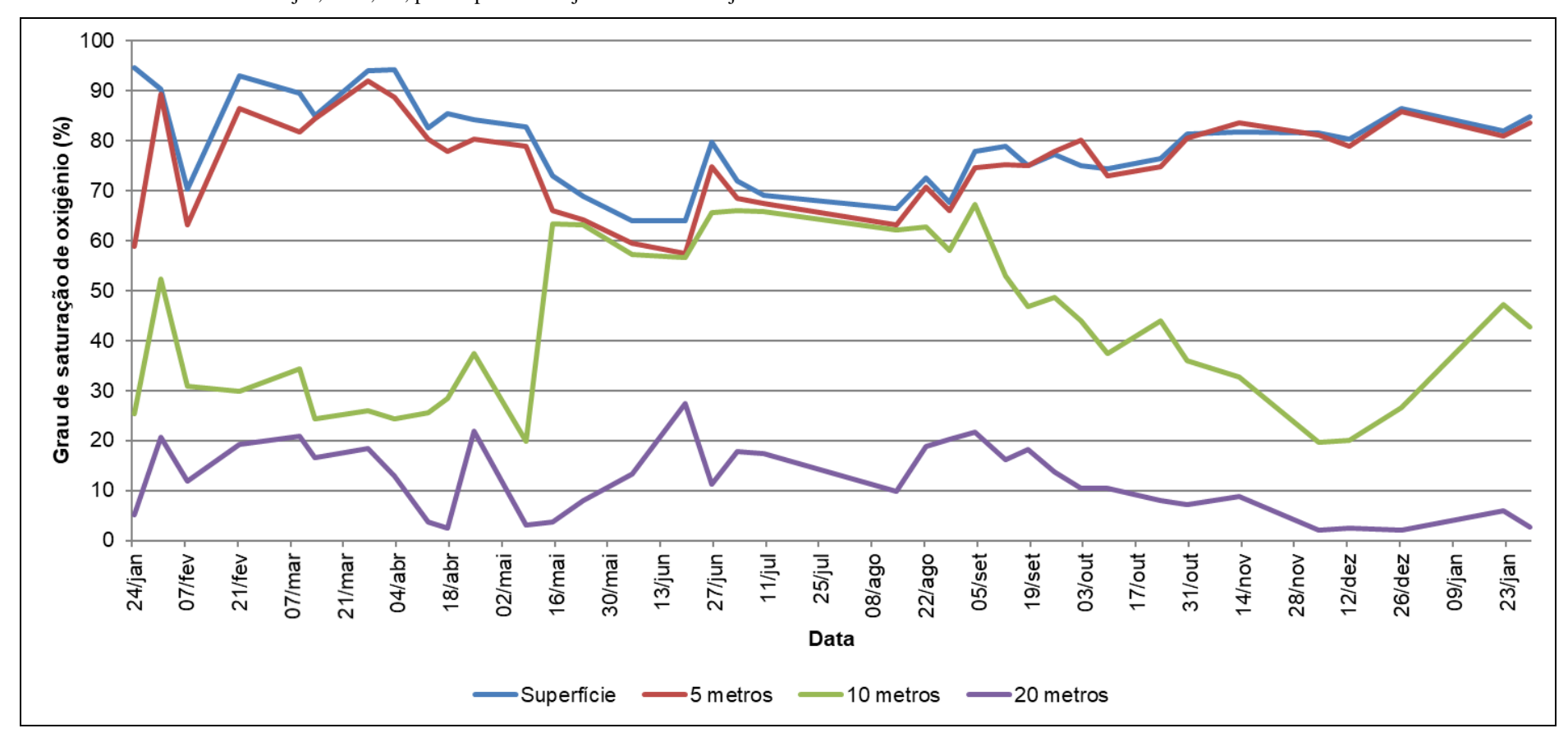
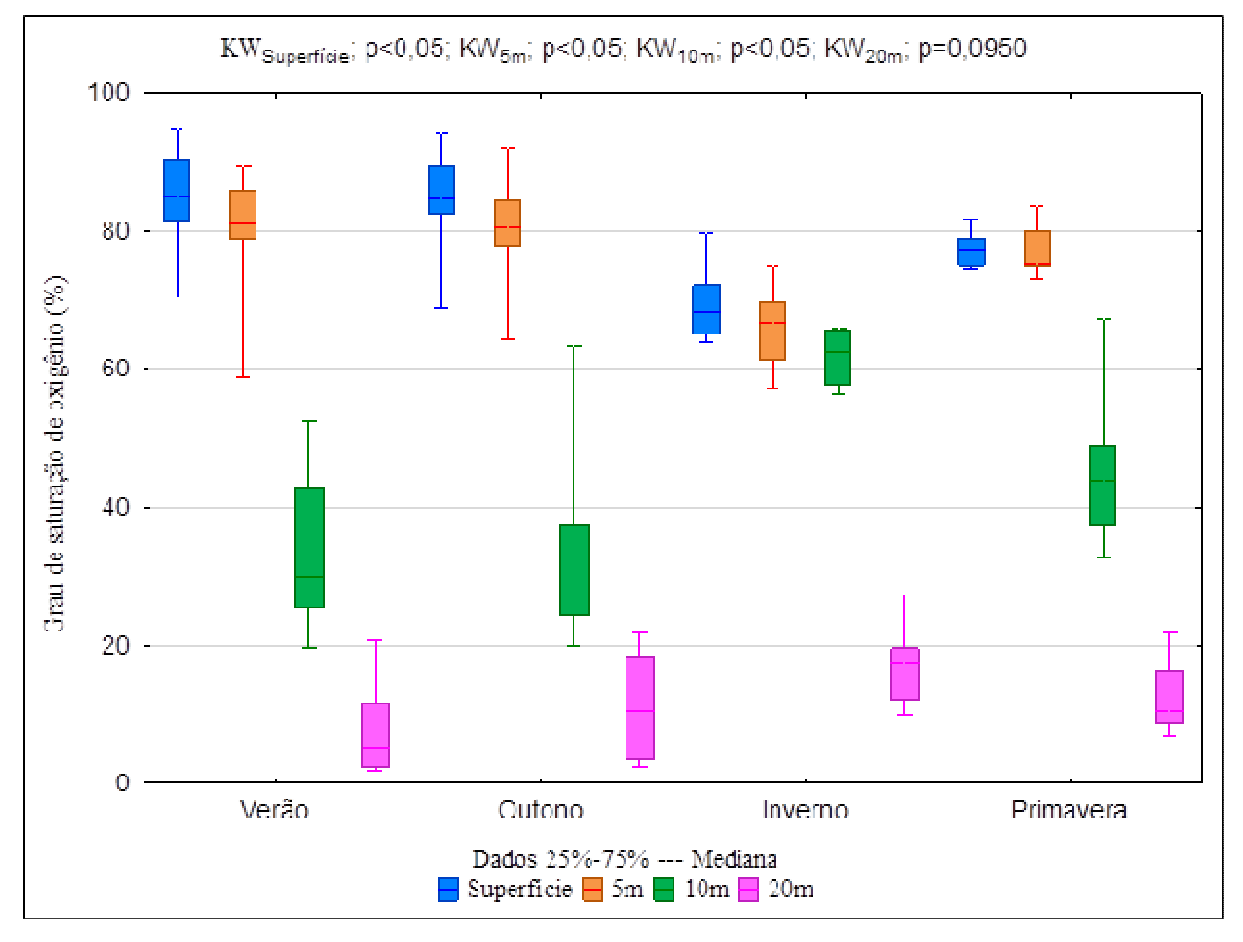


Figura 13 – Variação por data de amostragem da saturação de oxigênio dissolvido na superfície, 5, 10 e 20 m, do ponto de PF-01, situado próximo a barragem do Reservatório de Ribeirão das Lajes, Piraí, RJ, para o período de janeiro de 2018 a janeiro de 2019.



A Figura 14 demonstra que o impacto da sazonalidade nos valores de saturação de oxigênio dissolvido é evidente. Durante o verão, outono e primavera é observado três agrupamentos das profundidades em função da saturação de oxigênio, enquanto no inverno, há somente dois agrupamentos.

Figura 14 - Estudo da sazonalidade da saturação de oxigênio dissolvido nas profundidades superfície, 5, 10 e 20 m, do ponto de PF-01, situado próximo a barragem do Reservatório de Ribeirão das Lajes, Piraí, RJ, para o período de janeiro de 2018 a janeiro de 2019



Fonte: O autor, 2020.

Os gráficos da série de temperatura apresentados na Figura 15, indicam que os valores obtidos da temperatura da água foram significativamente diferentes nas profundidades monitoradas (KW, p<0,05). A mediana da temperatura da água na superfície é 26,4 °C, atingiu os valores mínimos de 22,0 °C nos meses nos meses de jun/18 e jul/18 e temperatura máxima de 32,8 °C em jan/2019 (Tabela 22).

Durante todo o período de estudo, não foi observada diferença significativa entre os valores de temperatura da água na superfície e em 5 m (KW, p= 1,0) (Tabela 14). Os valores de temperatura da água para a profundidade de 20m foram significativamente diferentes das

demais profundidades ($KW_{Superficie}$, p<0,05; KW_{5m} , p<0,05; KW_{10m} , p<0,05) (Tabela 14), apresentaram a menor variabilidade, oscilando na mínima de 20,5 °C em set/18 (Tabela 22) a máxima de 24,4 °C em abr/18 (Tabela 22).

Os valores medianos da temperatura da água reduzem conforme aumenta a profundidade (Figuras 15 e 16). A variação na temperatura na superfície do reservatório no ponto PF-01 foi maior sendo observado menor amplitude nos valores da temperatura a partir da profundidade de 10m, indicando maior estabilidade das temperaturas em profundidades maiores.

Figura 15 - Gráficos Box plot para o parâmetro temperatura da água agrupados por profundidade no do ponto de PF-01, situado próximo a barragem do Reservatório de Ribeirão das Lajes, Piraí, RJ, para o período de janeiro de 2018 a janeiro de 2019

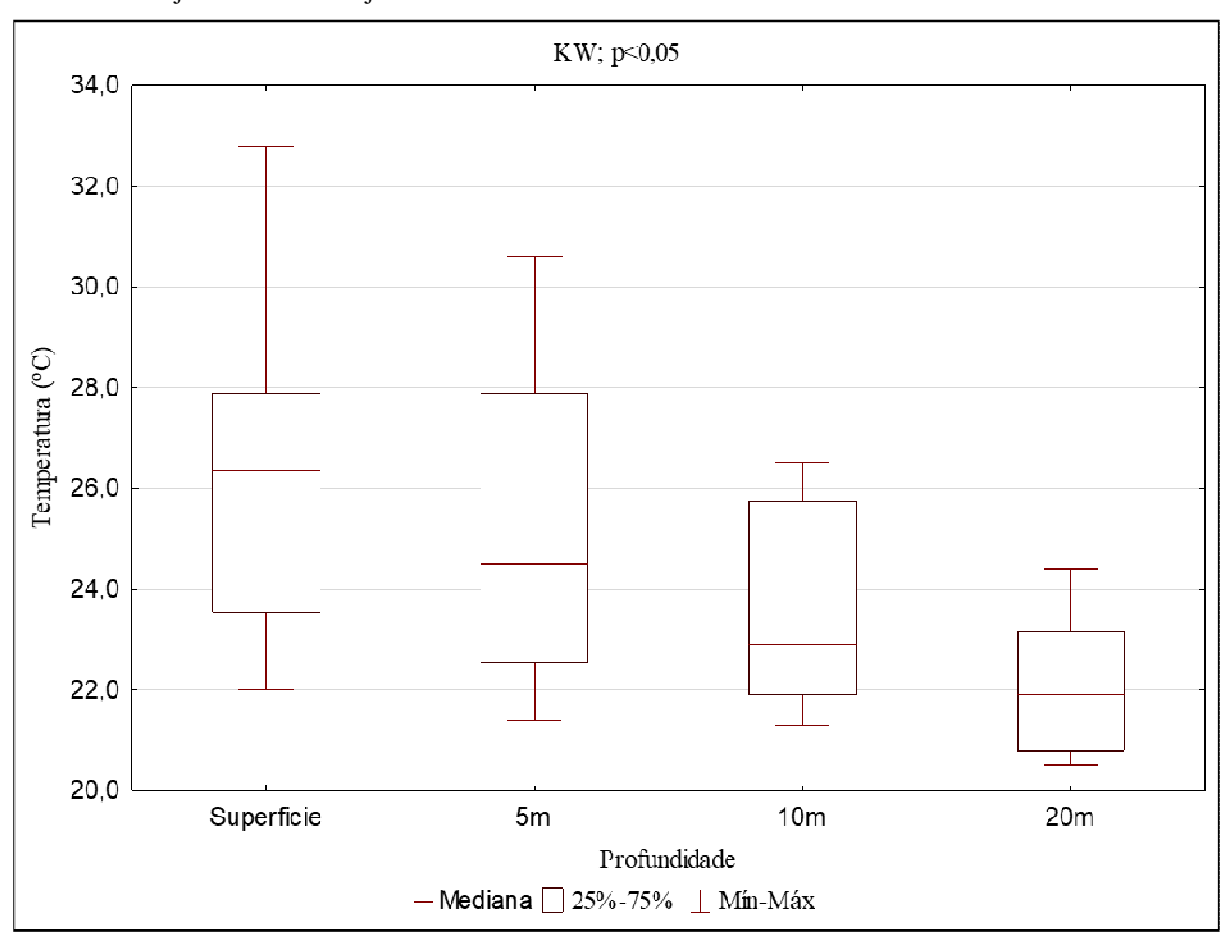
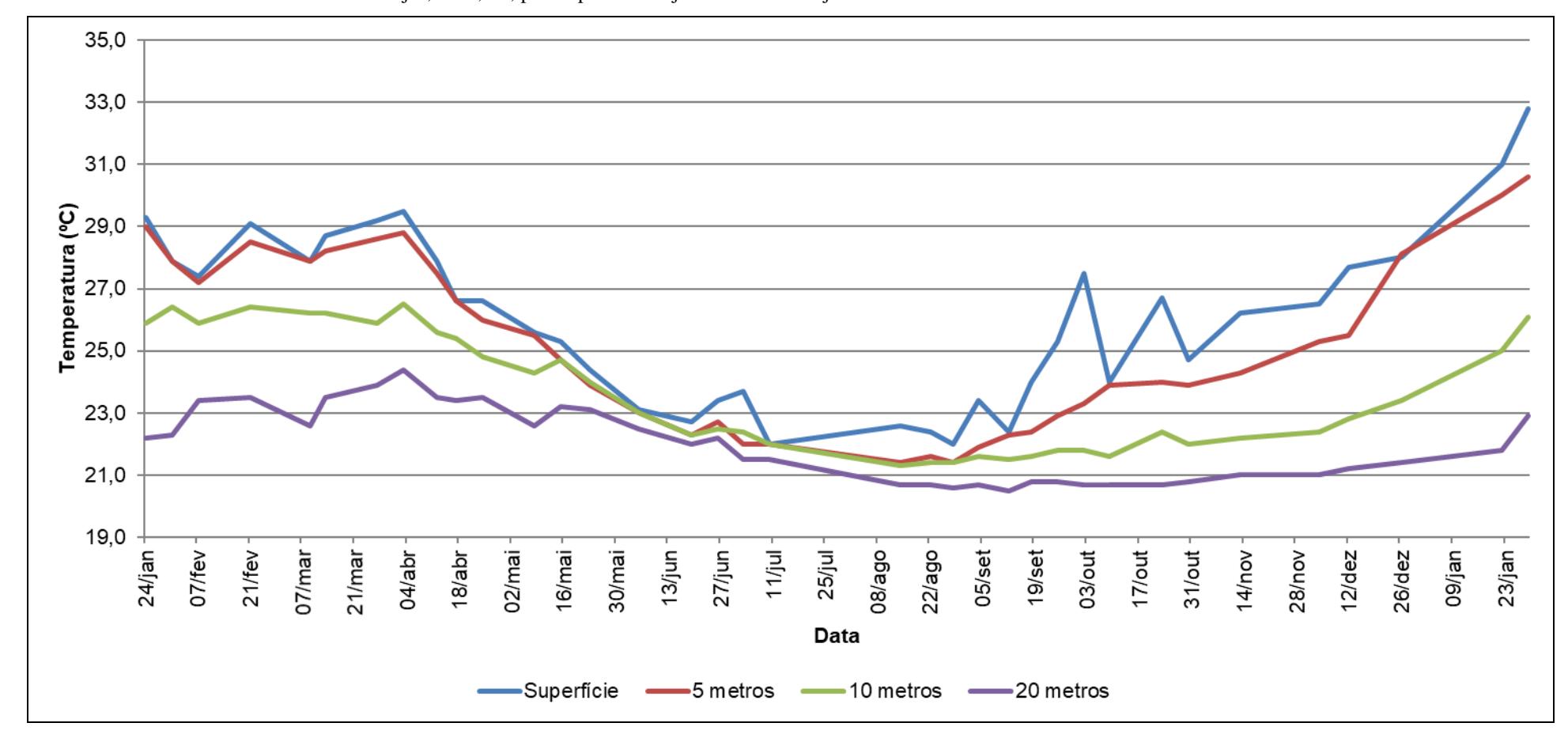
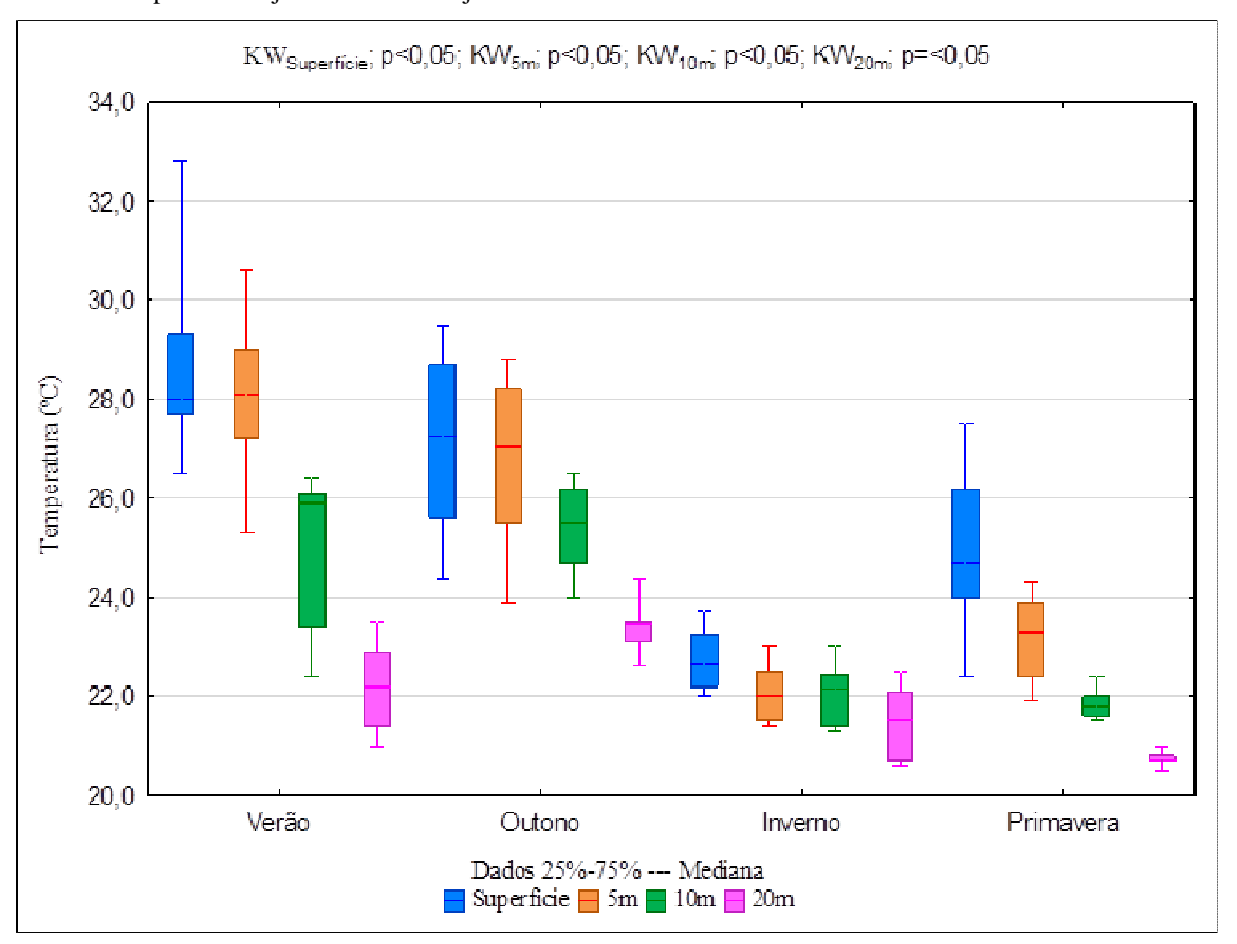


Figura 16 - Evolução temporal da variação da temperatura da água nas profundidades superfície, 5, 10 e 20 m, do ponto de PF-01, situado próximo a barragem do Reservatório de Ribeirão das Lajes, Piraí, RJ, para o período de janeiro de 2018 a janeiro de 2019.



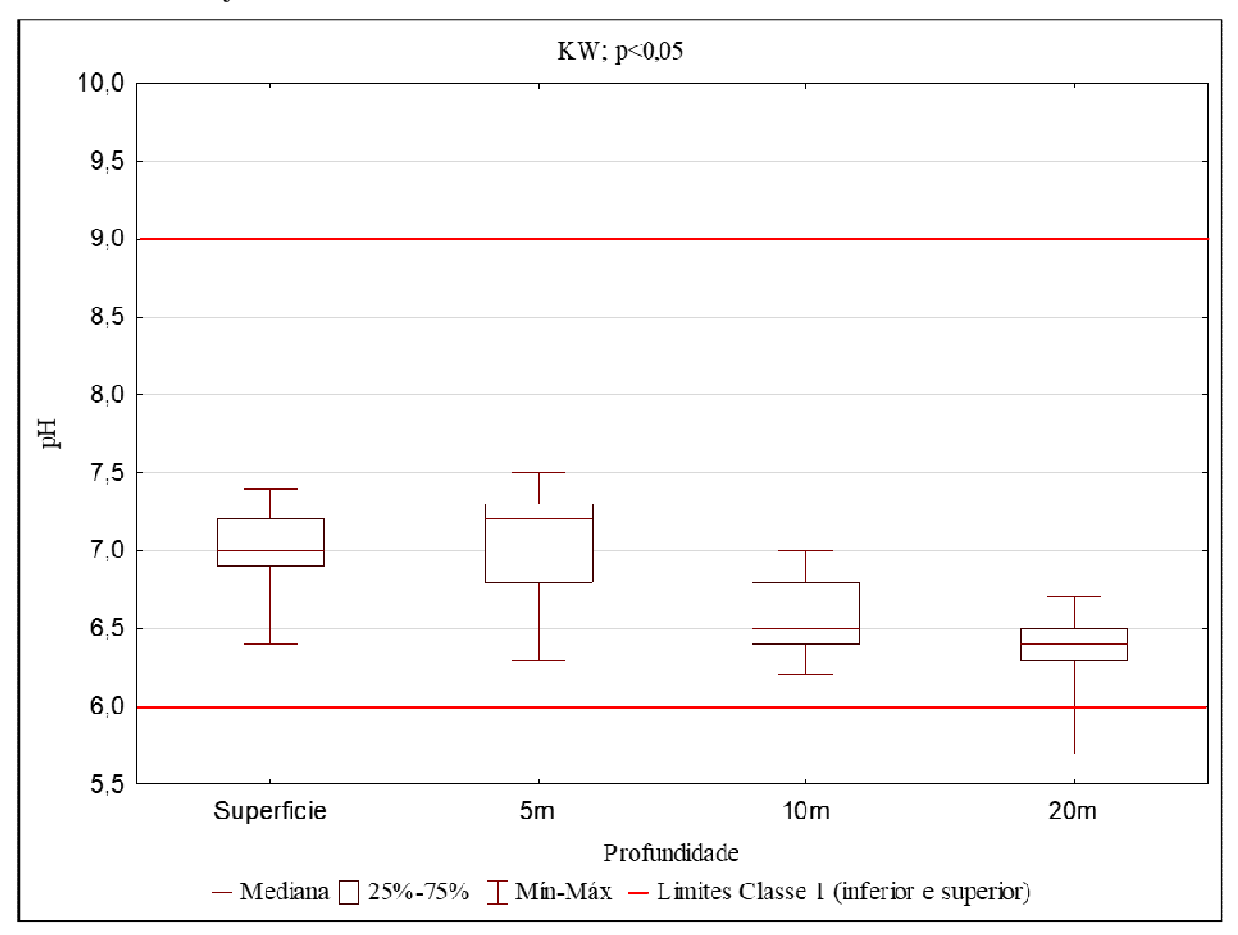
A temperatura da água segue um comportamento similar ao ocorrido com a saturação de oxigênio (Figuras 16 e 17). Entre os meses de abr/18 e jul/18 há uma tendência de redução e uniformização da temperatura ao longo da coluna d'água de forma mais homogênea durante o inverno e volta a subir a partir de set/18 até jan/19. A temperatura da água na camada superficial atinge seu valor mínimo de 22,0 °C no inverno, enquanto a máxima atingida no verão foi de 32,8°C. Em 12/12/2018, observou-se diferença de até 5 °C entre as profundidades mais superficiais e a profundidade de 10 m e essa diferença chegou a ser de quase 10 °C entre a temperatura da água da superfície e a temperatura da profundidade de 20m no dia 29/01/19, ocorrências essas características do verão.

Figura 17 - Estudo da sazonalidade da temperatura da água nas profundidades superfície, 5, 10 e 20 m, do ponto de PF-01, situado próximo a barragem do Reservatório de Ribeirão das Lajes, Piraí, RJ, para o período de janeiro de 2018 a janeiro de 2019



A partir da Figura 18 é possível observar que os valores de pH obtidos, nas coletas realizadas entre jan/18 e jan/19 foram significativamente diferentes entre as profundidades monitoradas (KW, p<0,05). O maior valor de pH foi observado nos meses de set/18 e out/18 na profundidade de 5m (pH 7,2) e o valor mínimo foi observado em ago/18 na profundidade de 20m (pH 5,7). Observa-se que os valores medianos de pH são mais elevados nas camadas mais superficiais (valores medianos pH 7,0 e 7,2 na superfície e na profundidade de 5m, respectivamente) e sofrem pequena redução na medida em que se ultrapassa a profundidade de 10m (Tabela 13). É relevante ressaltar que para todas as profundidades, todos os registros atendem ao padrão de qualidade recomendado para águas superficiais de classe tipo 1 estabelecido pela resolução CONAMA 357/05, com valores medianos entre 6,0 e 9,0.

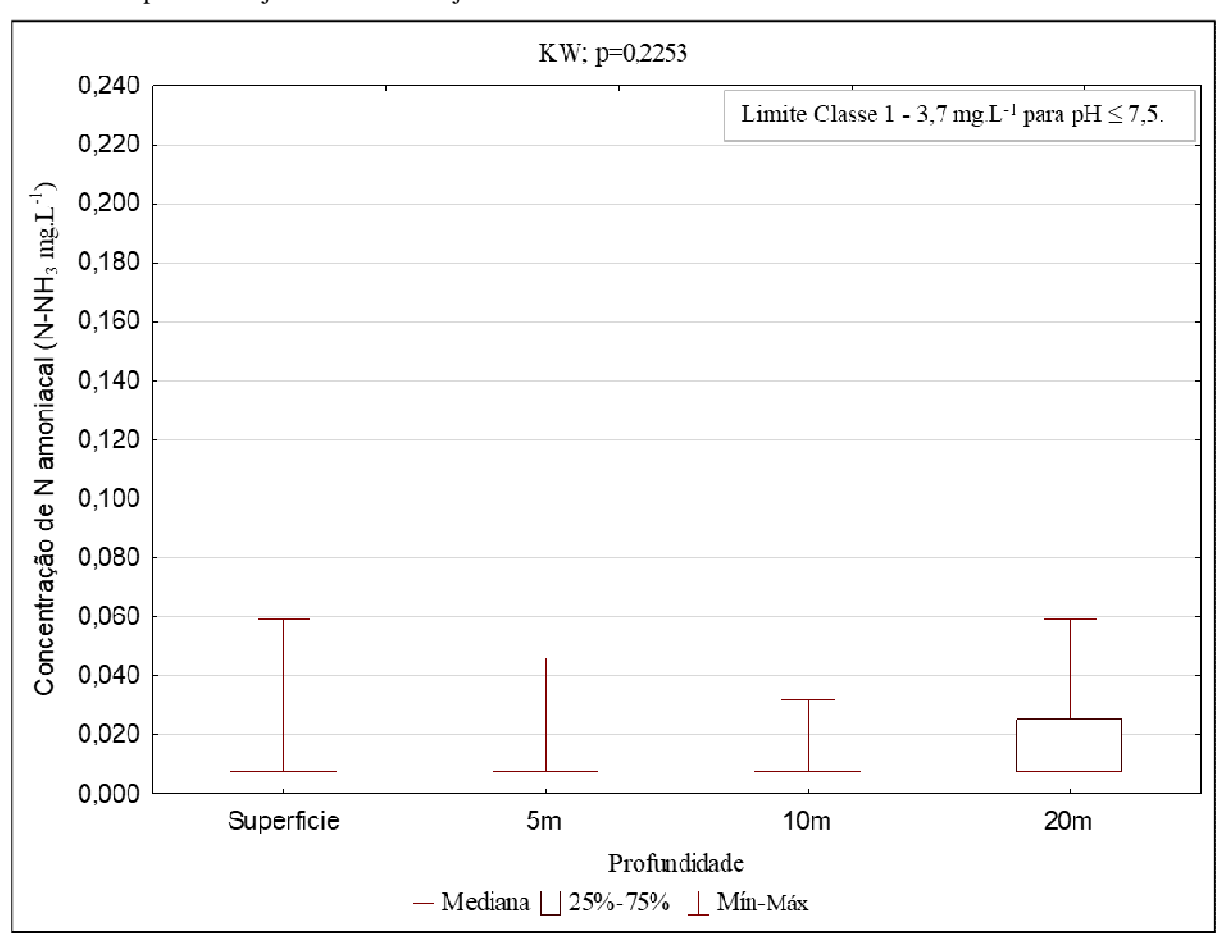
Figura 18 - Gráficos Box plot para o parâmetro pH agrupados por profundidade no do ponto de PF-01, situado próximo a barragem do Reservatório de Ribeirão das Lajes, Piraí, RJ, para o período de janeiro de 2018 a janeiro de 2019



Os valores de N-NH₃ obtidos durante o período de jan/18 e jan/19 indicam baixa disponibilidade na coluna d'água. Os valores medianos em todas as profundidades foi 0,0075 mg.L⁻¹ N. As concentrações máximas N-NH₃ foram observadas em jan/19 (0,059 mg.L⁻¹ N) na superfície e em 20m de profundidade (0,059 mg.L⁻¹ N).

A Figura 19 indica que não há diferença significativa (KW; p=0,2253) nas concentrações de o N-NH₃ na coluna d'água. Os valores medianos das concentrações de nitrogênio amoniacal são baixos e não superam o padrão de qualidade mais rigoroso estabelecido para águas de classe tipo 1 estabelecido pela resolução CONAMA 357/05 (3,7 mg.L⁻¹) associado ao pH > 7,5.

Figura 19 - Gráficos Box plot para o parâmetro nitrogênio amoniacal total agrupados por profundidade no do ponto de PF-01, situado próximo a barragem do Reservatório de Ribeirão das Lajes, Piraí, RJ, para o período de janeiro de 2018 a janeiro de 2019



Na Figura 20 estão representadas as concentrações de N-NO₃ nas profundidades da superfície, 5m, 10m e 20m no ponto PF-01 para o período de jan/18 a jan/19. Verifica-se que as concentrações de N-NO₃ foram significativamente diferentes entre as profundidades monitoradas (KW, p<0,05).

As concentrações de N-NO₃ aumentaram conforme o aumento da profundidade, sendo 0,021 mg.L⁻¹ N-NO₃ e 0,103 mg.L⁻¹ N-NO₃ as concentrações medianas da superfície e da profundidade de 20m (Tabela 13). As maiores concentrações de N-NO₃ foram observadas em jun/18 (0,130 mg.L⁻¹ N-NO₃ e 0,220 mg.L⁻¹ N-NO₃ na superfície e na profundidade de 20m, respectivamente).

As concentrações de N-NO $_3$ são homogêneas entre a superfície e a profundidade de 5 m (KW $_{Superfície}$, p=1,00; KW $_{5m}$, p=1,00) e entre as profundidades de 10m e 20m (KW $_{10m}$, p=1,00; KW $_{20m}$, p=1,00) conforme Tabela 14. As concentrações de nitrato que foram encontradas nas profundidades monitoradas são baixas e todos os resultados ficaram dentro do limite do padrão de qualidade para águas de classe tipo 1 estabelecidos pela resolução CONAMA 357/05 para o nitrato (10 mg.L $^{-1}$).

| KW; p<0,05 | 0,240 | 0,220 | 0,200 | () 0,180 | 0,180 | 0,120 | 0,120 | 0,100 | 0,080 | 0,080 | 0,040 | 0,040 | 0,020

Figura 20 - Gráficos Box plot para o parâmetro nitrato agrupados por profundidade no do ponto de PF-01, situado próximo a barragem do Reservatório de Ribeirão das Lajes, Piraí, RJ, para o período de janeiro de 2018 a janeiro de 2019

0,000

Superficie

Na Figura 21 estão representadas as concentrações de N-NO₂ nas profundidades da superfície, 5m, 10m e 20 m no ponto PF-01 para o período de jan/18 a jan/19. Verifica-se que não há diferença significativa (KW; p=0,0507) nas concentrações de concentrações de N-NO₂ na coluna d'água.

- Mediana ☐ 25%-75% ☐ Min-Máx

Profundidade

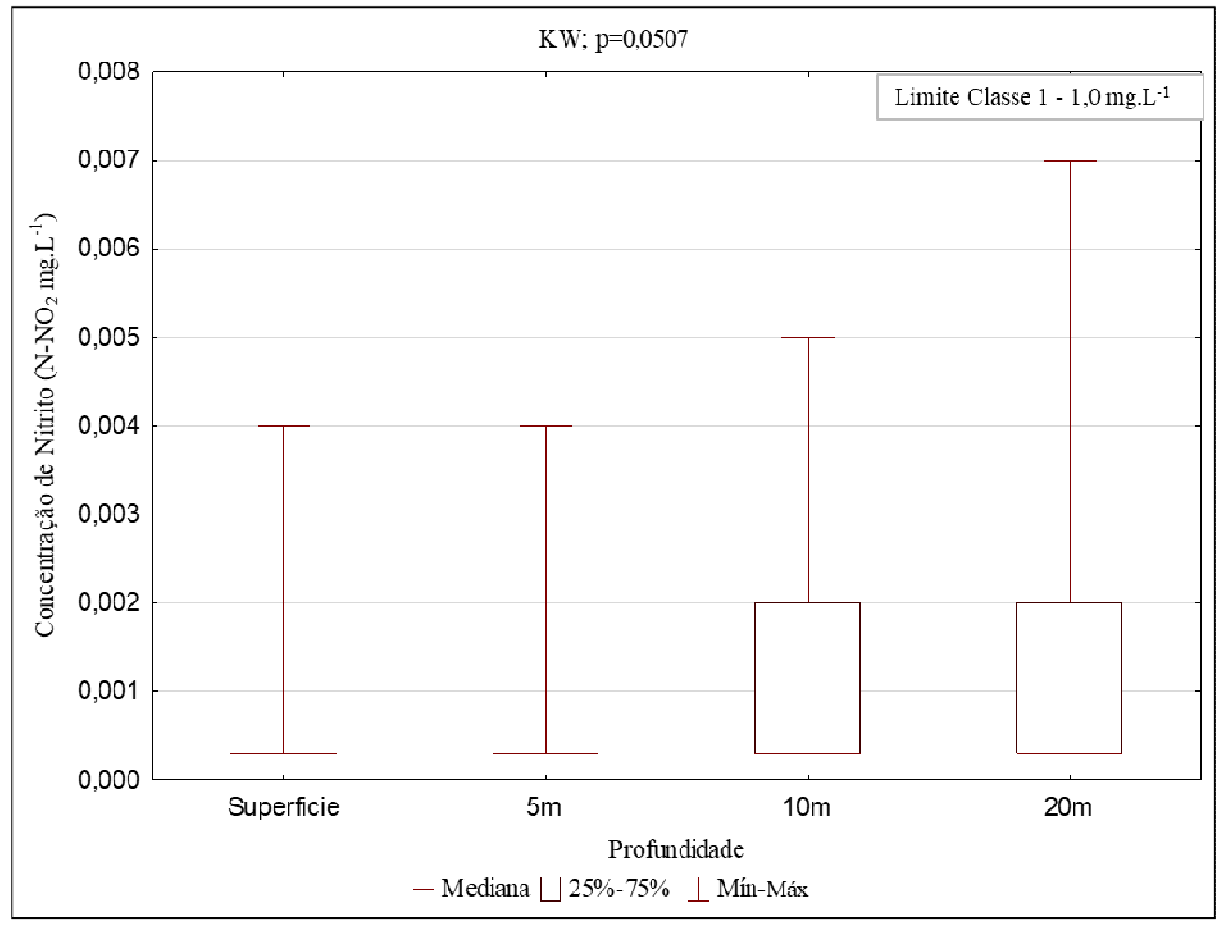
5m

10m

20m

Os valores medianos das concentrações de N-NO₂ em todas as profundidades foi 0,0003 mg.L-1 N. As concentrações máximas N-NO₂ foram observadas em jun/18 (0,004 mg.L⁻¹ N) na superfície e na profundidade de 20m 0,007 mg.L⁻¹ N em jan/19. As concentrações de nitrito que foram encontradas nas profundidades monitoradas são baixas e todos os resultados ficaram dentro do limite do padrão de qualidade para águas de classe tipo 1 estabelecidos pela resolução CONAMA 357/05 para o nitrato (1,0 mg.L⁻¹).

Figura 21 - Gráficos Box plot para o parâmetro nitrito agrupados por profundidade no do ponto de PF-01, situado próximo a barragem do Reservatório de Ribeirão das Lajes, Piraí, RJ, para o período de janeiro de 2018 a janeiro de 2019



Na Figura 22 estão representadas as concentrações de P_T nas profundidades da superfície, 5m, 10m e 20m no ponto PF-01 para o período de jan/18 jan/19. Verifica-se que as concentrações de fósforo total não têm diferença significativa entre as profundidades monitoradas (KW, p=0,8649), portanto, os valores medianos de fósforo total são similares e homogêneos ao longo da coluna d'água até os 20m.

A concentração mediana, máxima e mínima de P_T na superfície são de 0,002 mg.L⁻¹ P, 0,021 mg.L⁻¹ P (mai/18) e 0,002 mg.L⁻¹ P (mai/18 a jan/19) , respectivamente. Na profundidade de 20m a concentração mediana, máxima e mínima de P_T são de 0,006 mg.L⁻¹ P, 0,023 mg.L⁻¹ (mai/18) P e 0,002 mg.L⁻¹ P (jan/18 e de mar/18 a jan/19), respectivamente. As concentrações de P- PO_4 seguiram o mesmo padrão de distribuição homogênea na coluna d'água até os 20m de profundidade (KW, p=0,8353).

Na Figura 23 estão representadas as concentrações de P-PO₄ nas profundidades da superfície, 5m, 10m e 20m no ponto PF-01 para o período de jan/18 a jan/19. As concentração mediana, máxima e mínima de P-PO₄ na superfície são de 0,002 mg.L⁻¹ P, 0,011 mg.L⁻¹ P (mar/18 e abr/18) e 0,002 mg.L⁻¹ P (fev/2018, abr/2018 a jan/2019), respectivamente. Na profundidade de 20m a concentração mediana, máxima e mínima de P_T são de 0,002 mg.L⁻¹ P, 0,015 mg.L⁻¹ P (mai/2018) e 0,002 mg.L⁻¹ P (jan/2018 e mar/2018 a jan/2019), respectivamente.

É relevante ressaltar que para todas as profundidades, as concentrações de P_T atendem ao padrão de qualidade recomendado para águas de classe tipo 1 em ambientes lênticos (0,020 mg.L⁻¹) estabelecido pela resolução CONAMA 357/05.

Figura 22 - Gráficos Box plot para o parâmetro fósforo total agrupados por profundidade no do ponto de PF-01, situado próximo a barragem do Reservatório de Ribeirão das Lajes, Piraí, RJ, para o período de janeiro de 2018 a janeiro de 2019

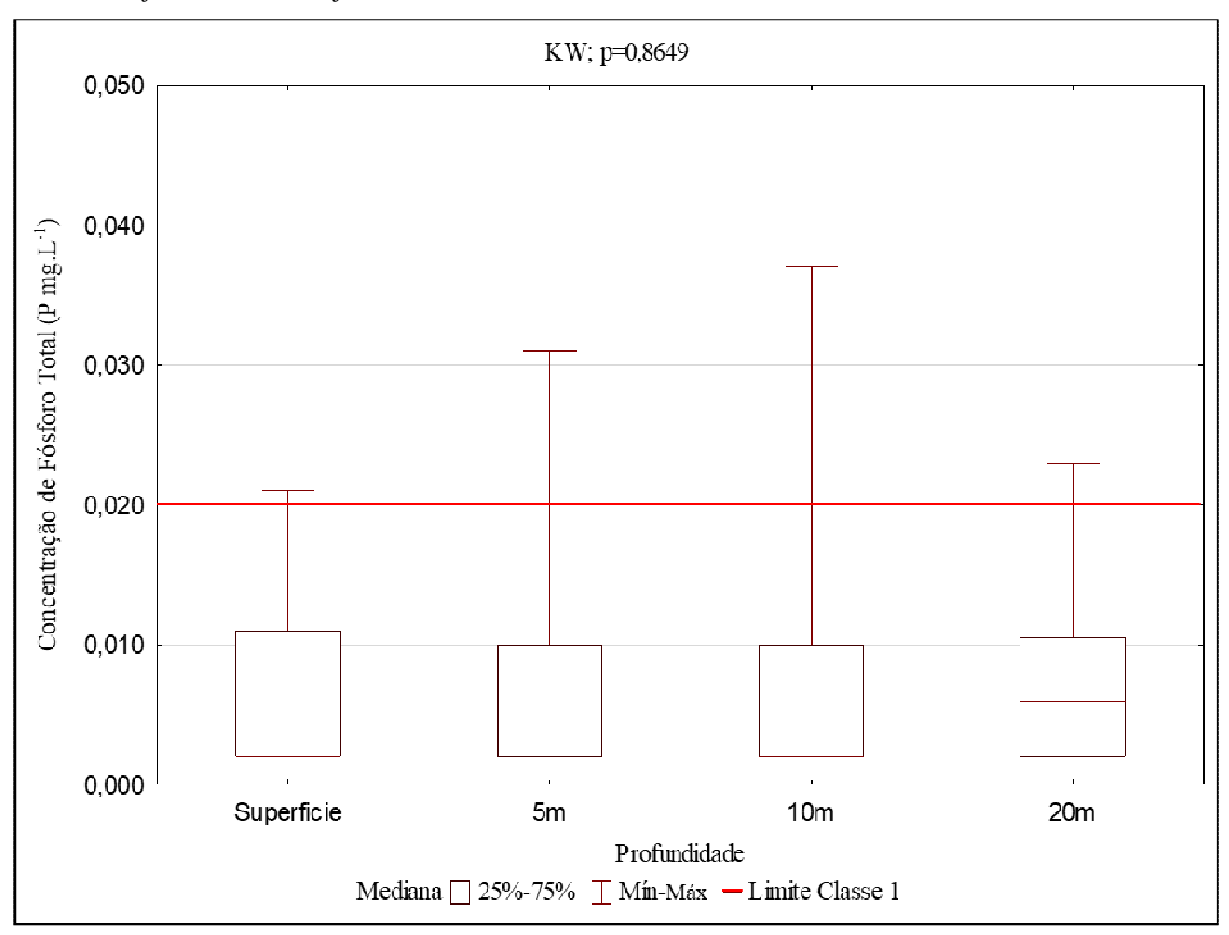
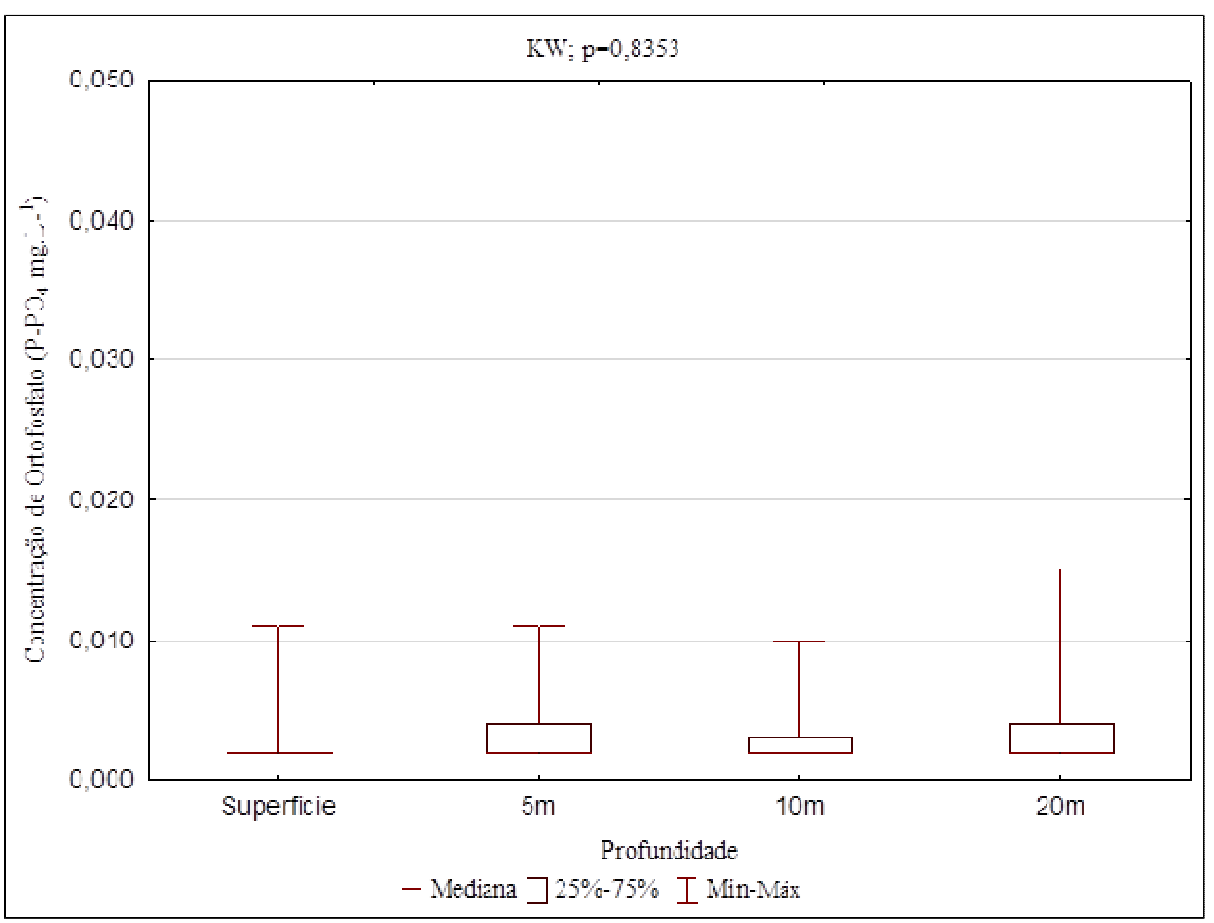


Figura 23 - Gráficos Box plot para o parâmetro ortofosfato agrupados por profundidade no do ponto de PF-01, situado próximo a barragem do Reservatório de Ribeirão das Lajes, Piraí, RJ, para o período de janeiro de 2018 a janeiro de 2019



Os resultados de cianobactérias estão apresentados na Figura 24. A linha vermelha indica o valor limite de 20.000 cel.mL⁻¹, estabelecido pela CONAMA 357/05 para águas de classe tipo 1. O Anexo XX da PCMS 5/2017, estabelece a obrigatoriedade de realização de monitoramento semanal de cianotoxinas quando a densidade de cianobactérias ultrapassa o limite de 20.000 cel.mL⁻¹.

A partir da Figura 24 é possível observar que ao longo do período estudado que as densidades de cianobactérias foram significativamente diferentes nas profundidades monitoradas (KW, p<0,05). O valor mediano da densidade de cianobactérias na superfície foi de 87.835 cél.mL⁻¹ (Tabela 22), o valor mínimo foi 15.451 cél.mL⁻¹ e ocorreu nos mês de ago/2018 (Tabela 22) e o maior valor 395.684 cél.mL⁻¹ ocorreu no mês de nov/18 (Tabela 22).

Durante todo o período de estudo, não foi observada diferença significativa entre os valores densidade de cianobactérias na superfície até a profundidade de 10m (KW_{5m}, p=1,00; KW_{10m}, p=0,161724) (Tabela 14). Os valores da densidade de cianobactérias para a profundidade de 20m foram significativamente diferentes das demais profundidades (KW_{Superfície}, p<0,05; KW_{5m}, p<0,05; KW_{10m}, p<0,05) (Tabela 14), apresentaram a menor variabilidade, oscilando na densidade mínima de 2.458 cél.mL⁻¹, verificadas em jul/18, set/2018 e out/18 (Tabela 22) a 21.161 cél.mL⁻¹ verificadas jan/19 (Tabela 22).

Nas profundidades da superfície e 5m os valores das medianas são similares, com distribuição simétrica em relação a mediana, com grandes variações entre os valores mínimo e máximo, indicando maiores variabilidades e dispersão dos dados. As densidades de cianobactérias variam de aproximadamente 20.000 cél.mL⁻¹ até cerca de 400.000 cél.mL⁻¹ .A partir da profundidade de 10m, há uma redução no valor mediano da densidade de cianobactérias, com menor variabilidade e menor dispersão dos dados, atingindo valores menos elevados. Na profundidade de 20m as densidades de cianobactérias são relativamente baixas.

É relevante ressaltar que ao longo da coluna d'água até os 10m, grande parte dos registros extrapolam ao padrão de qualidade para águas do tipo classe 1 (para águas superficiais) definidos pela CONAMA 357/05 e ultrapassa o limite estabelecidos da PCMS 5/2017, indicando a necessidade de monitoramento semanal de cianotoxinas.

A Tabela 16 apresenta a lista de gêneros de cianobactérias identificadas ao longo do estudo no reservatório. Alguns gêneros apresentaram números pequenos de células, embora identificados, não representam populações significativas frente a outros gêneros.

Dentre estes gêneros identificados, três são potenciais produtores de cianotoxinas. Os gêneros *Aphanocapsa* e *Radiocystis* são potenciais produtores de microcistina, enquanto o gênero *Cylindrospermopsis* é potencial produtor de saxitoxina e cilindrospermopsina. Vale ressaltar que os gêneros *Radiocystis* e *Cylindrospermopsis* foram identificados, porém apresentaram baixas densidades (Tabela 23). Durante o período estudado não foram detectadas concentrações de microcistina, saxitoxina ou cilindrospermopsina em nenhuma profundidade estudada.

Figura 24 - Gráficos Box plot para o parâmetro cianobactérias agrupados por profundidade no do ponto de PF-01, situado próximo a barragem do Reservatório de Ribeirão das Lajes, Piraí, RJ, para o período de janeiro de 2018 a janeiro de 2019

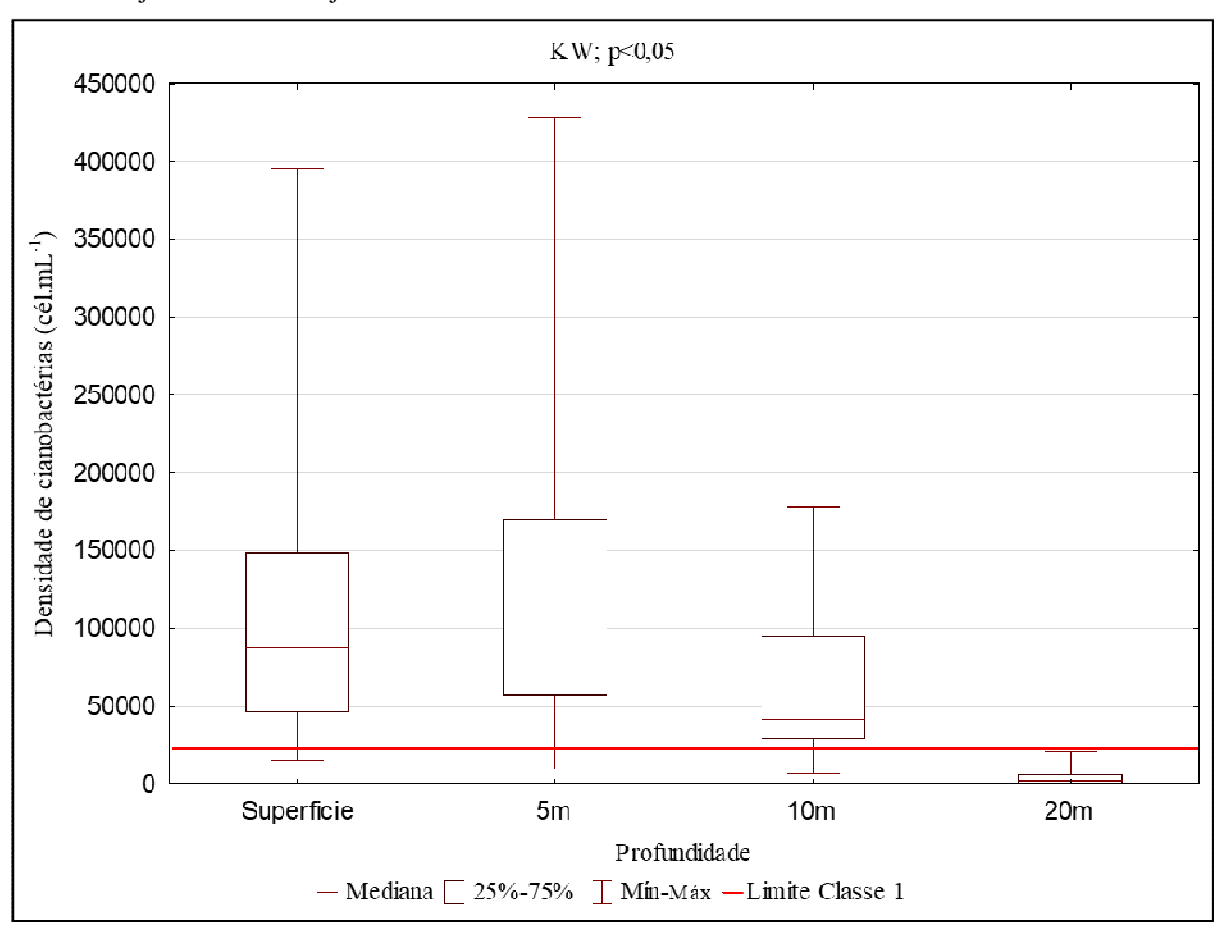


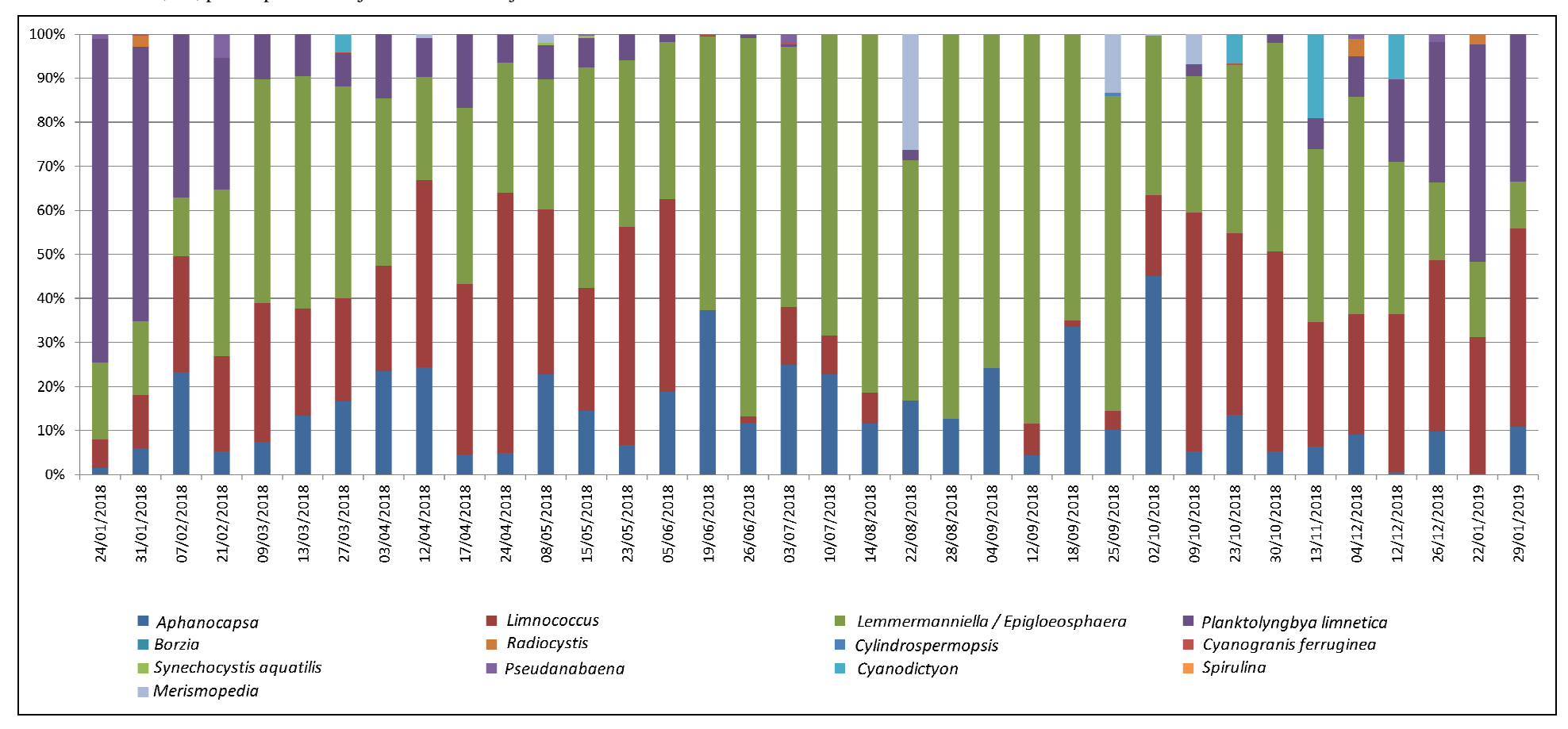
Tabela 23 - Identificação dos gêneros de cianobactérias encontradas na Barragem do Reservatório de Ribeirão das Lajes

Gêneros de Cianobactérias	Observações		
Aphanocapsa			
Borzia	Nunca ultrapassou 5% de densidade relativa de cianobactérias		
Cyanodictyon	•		
Cyanogranis ferruginea	Nunca ultrapassou 5% de densidade relativa de cianobactérias		
Cylindrospermopsis	Nunca ultrapassou 5% de densidade relativa de cianobactérias		
Lemmermanniella/Epigloeosphaera	Houve dificuldade na diferenciação dos gêneros		
Limnococcus	, ,		
Merismopedia			
Planktolyngbya limnetica			
Pseudanabaena			
Radiocystis	Nunca ultrapassou 5% de densidade relativa de cianobactérias		
Spirulina	Nunca ultrapassou 5% de densidade relativa de cianobactérias		
Synechocystis aquatilis	Nunca ultrapassou 5% de densidade relativa de cianobactérias		

A Figura 25 apresenta a distribuição relativa de cada gênero de cianobactéria ao longo das coletas. É possível observar a predominância de 4 gêneros em diferentes momentos: $Aphocanapsa, \quad Limnococcus, \quad Lemmermanniella/Epigloeosphaera^{12}. \quad \text{e} \quad Planktolyngbya$ limnetica.

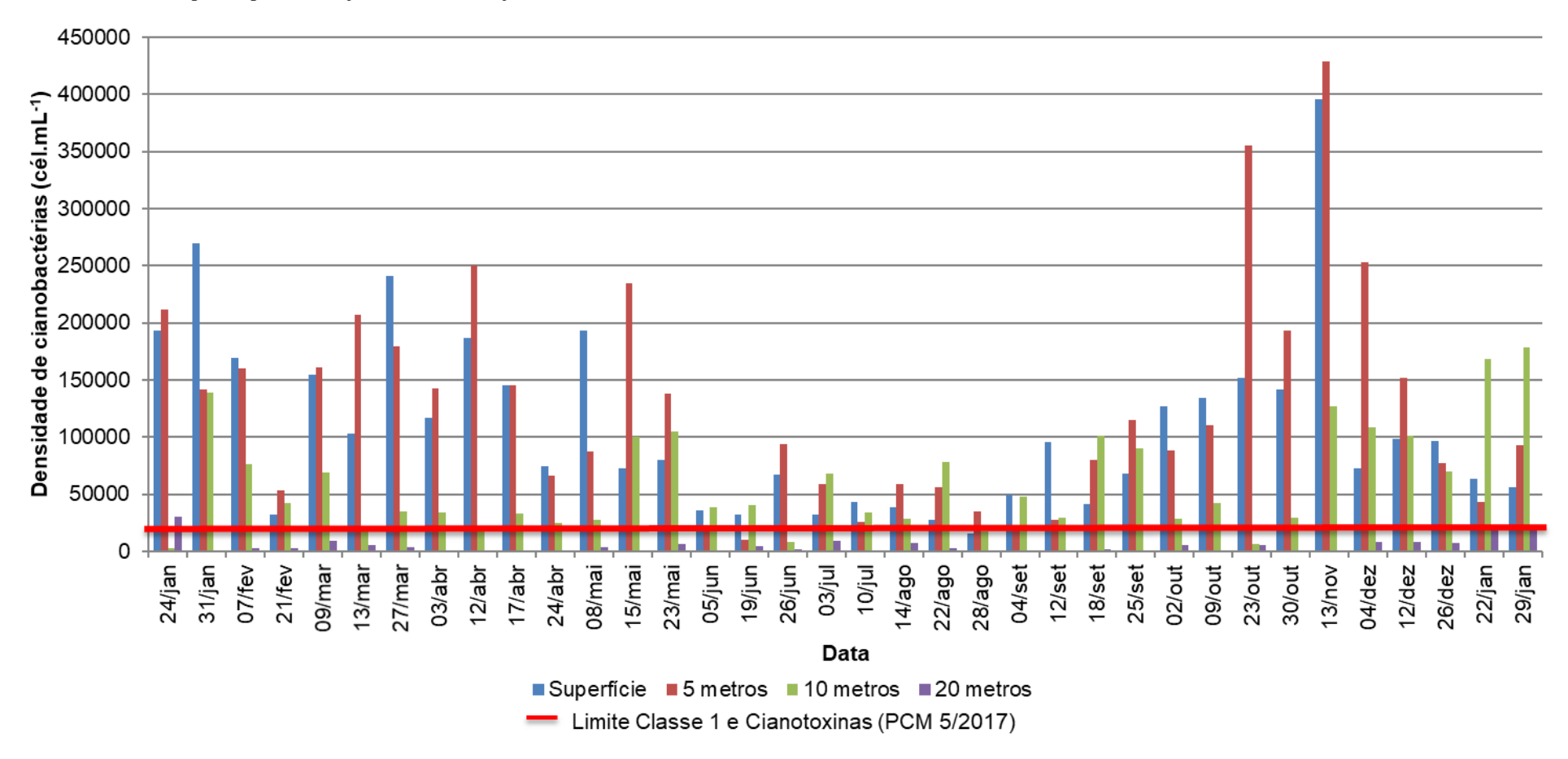
¹²Não foi possível diferenciar as espécies, portanto, foi considerado que é possível de ambos os genêros terem sido contados juntos para cálculo da densidade.

Figura 25 - Distribuição relativa dos gêneros de cianobactérias na coluna d'água no do ponto de PF-01, situado próximo a barragem do Reservatório de Ribeirão das Lajes, Piraí, RJ, para o período de janeiro de 2018 a janeiro de 2019.



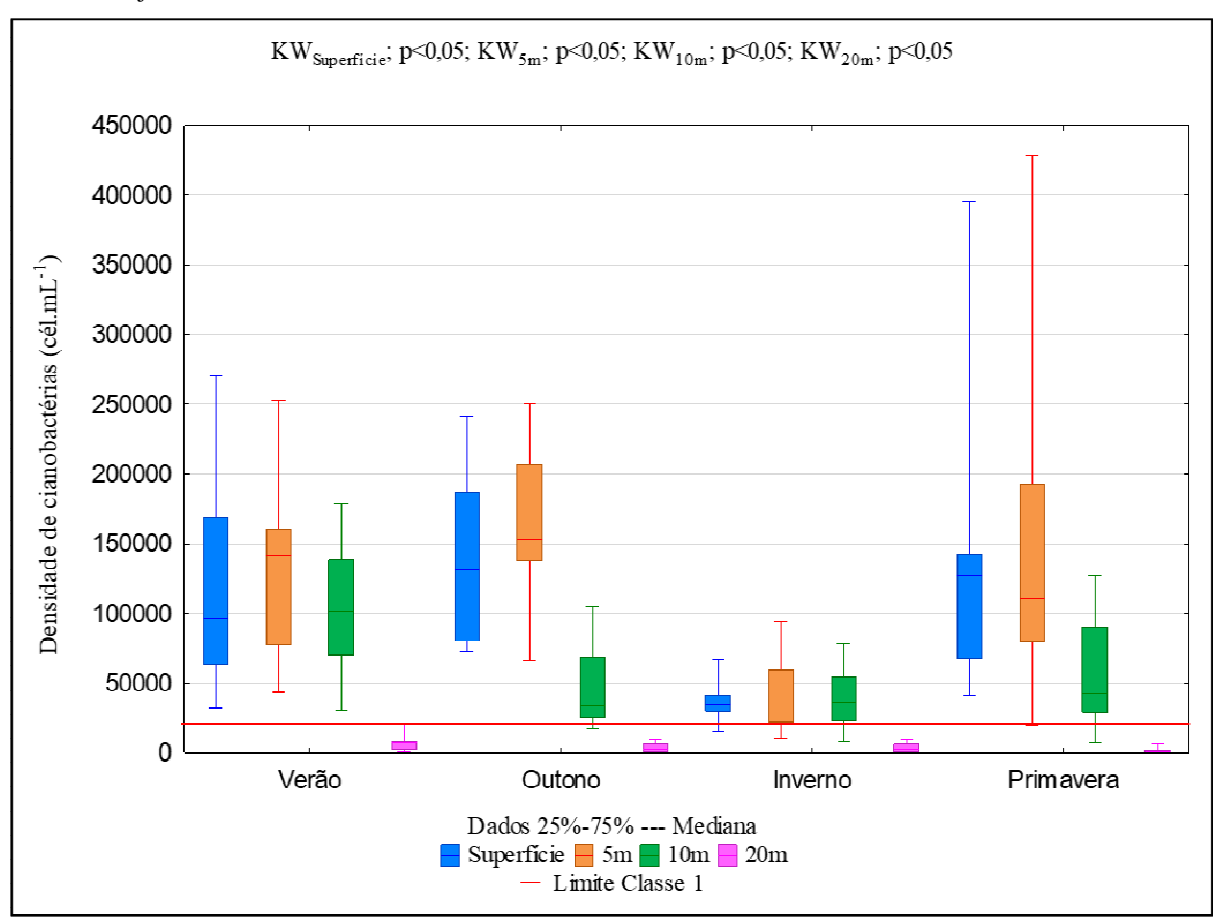
A Figura 26 apresenta a densidade de cianobactérias por profundidade e por amostragem, mostrando que durante em jun/18 foram atingidos os níveis mais baixos da densidade de cianobactérias, enquanto as máximas foram determinadas em nov/18, ultrapassando o valor de 400.000 cél.mL⁻¹ na profundidade de 5 m.

Figura 26 - Densidade total de cianobactérias por profundidade e por amostragem no do ponto de PF-01, situado próximo a barragem do Reservatório de Ribeirão das Lajes, Piraí, RJ, para o período de janeiro de 2018 a janeiro de 2019.



A Figura 27 apresenta de forma mais objetiva o impacto da sazonalidade na comunidade de cianobactérias nas camadas mais superficiais do reservatório de Lajes. Na superfície e na profundidade de 5m, durante as estações do verão, outono e primavera, os valores oscilaram entre 50.000 cél.mL⁻¹ à 250.000 cél.mL⁻¹. No inverno, mesmo com valores medianos inferiores, observou-se que os limites de 20.000 cél.mL⁻¹ foram igualmente violados. O inverno é a estação climatológica onde ocorrem as menores incidências de cianobactérias no reservatório, havendo redução de valores para as profundidades superficial, 5m e 10m. Nesse período há uma maior homogeneidade na coluna d'água, em função de ser a estação seca e ocorrer o processo de desestratificação térmica reservatório. Os maiores picos populacionais ocorreram durante a primavera, embora as medianas não sejam as maiores.

Figura 27 - Estudo da sazonalidade das cianobactérias por profundidade no ponto de PF-01, situado próximo a barragem do Reservatório de Ribeirão das Lajes, Piraí, RJ, para o período de janeiro de 2018 a janeiro de 2019



Fonte: O autor, 2020.

Dentre os gêneros de cianobactérias os gêneros *Aphanocapsa*, *Limnococcus*, *Lemmermanniella/Epigloeosphaera e Planktolyngbya limnetica*, foram os que somados representaram quase que a totalidade das populações de cianobactérias. Em vista disso, foram avaliadas suas respectivas densidades relativas e distribuição na coluna d'água ao longo do estudo.

As Figuras 28 e 29 apresentam a distribuição do gênero *Aphanocapsa* ao longo de toda a coluna d'água. A densidade deste gênero oscilou em grande parte do período estudado entre 10 a 25% da densidade total. Foi observado valores mais elevados durante as estações do outono e da primavera. Durante o inverno, este gênero passa representar um percentual maior na densidade relativa de cianobactérias, não em função do seu aumento populacional, mas sim da redução de forma significativa de grande parte dos demais gêneros de cianobactérias, o que foi não observado para a densidade de cianobactérias do gênero *Aphanocapsa*.

Figura 28 - Evolução temporal da variação da densidade de cianobactérias para o gênero *Aphanocapsa* na coluna d'água no do ponto de PF-01, situado próximo a barragem do Reservatório de Ribeirão das Lajes, Piraí, RJ, para o período de janeiro de 2018 a janeiro de 2019.

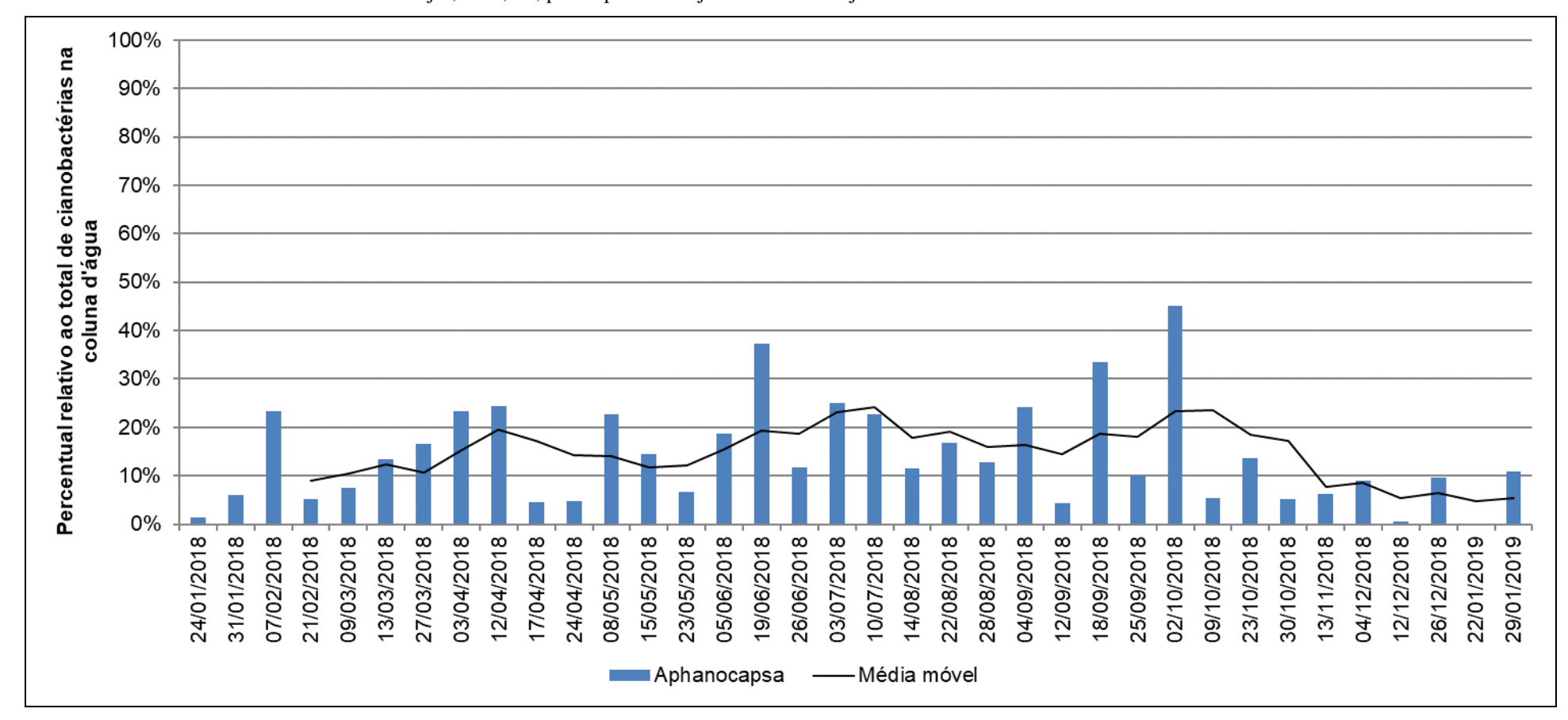
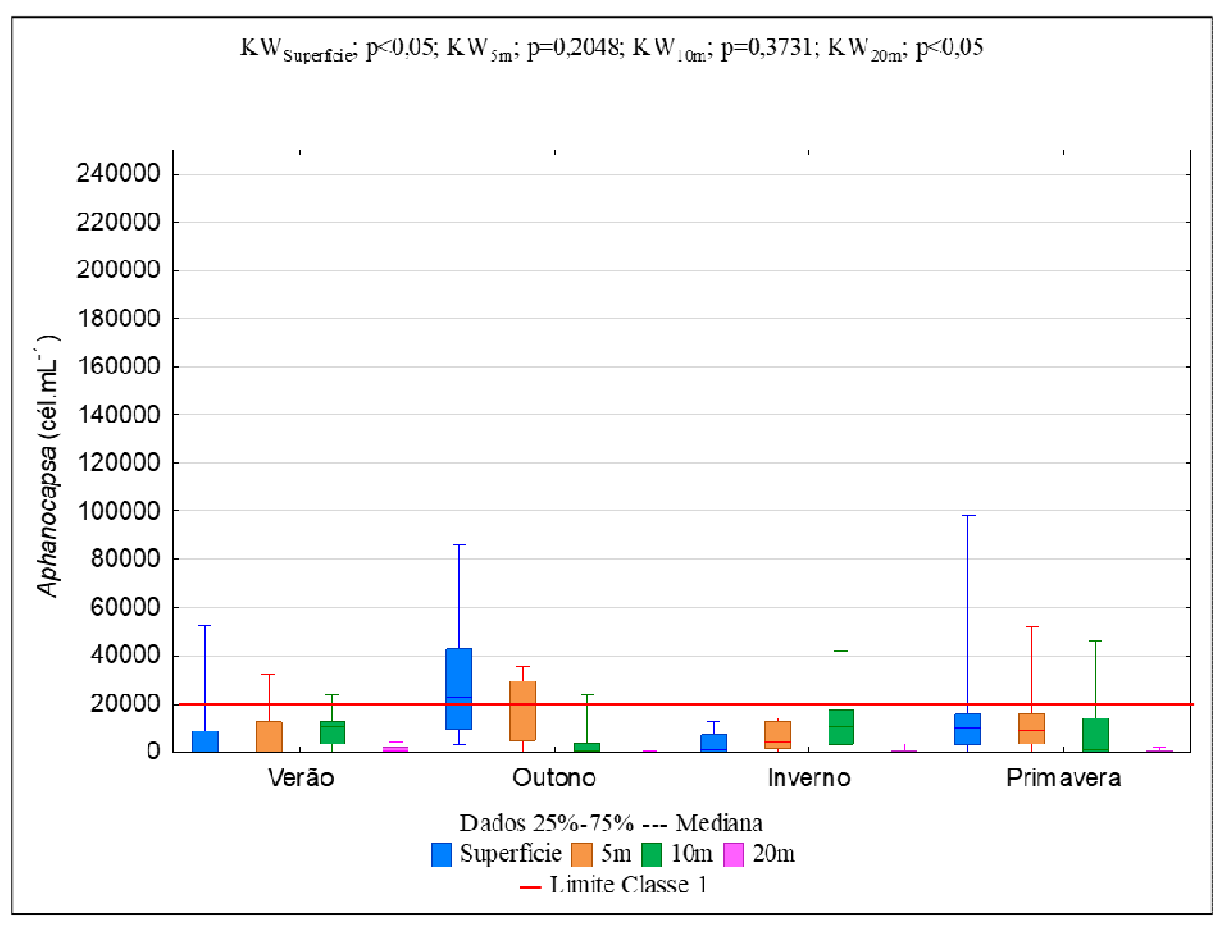


Figura 29 - Estudo da sazonalidade do gênero *Aphanocapsa* por profundidade no ponto de PF-01, situado próximo a barragem do Reservatório de Ribeirão das Lajes, Piraí, RJ, para o período de janeiro de 2018 a janeiro de 2019



O gênero *Limnococcus* apresentou densidades que oscilaram entre 20% e 60% da densidade total de cianobactérias ao longo da coluna d'água. As máximas atingidas foram na primavera. Durante o período do inverno há uma redução significativa na densidade de cianobactérias, muito impactada pela redução deste gênero, que chegou a ter densidades insignificantes (Figuras 30 e 31).

Figura 30 - Evolução temporal da variação da densidade de cianobactérias para o gênero *Limnococcus* na coluna d'água no do ponto de PF-01, situado próximo a barragem do Reservatório de Ribeirão das Lajes, Piraí, RJ, para o período de janeiro de 2018 a janeiro de 2019.

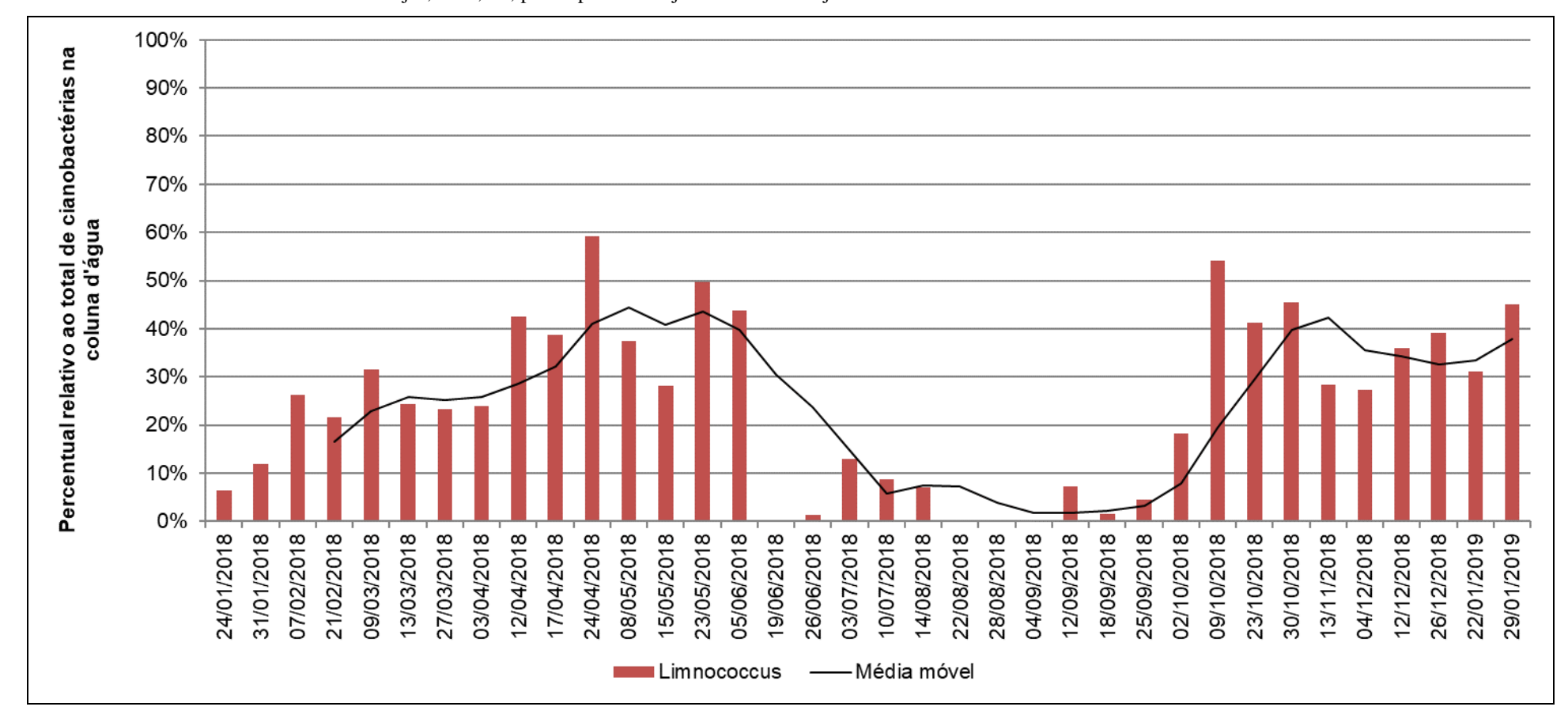
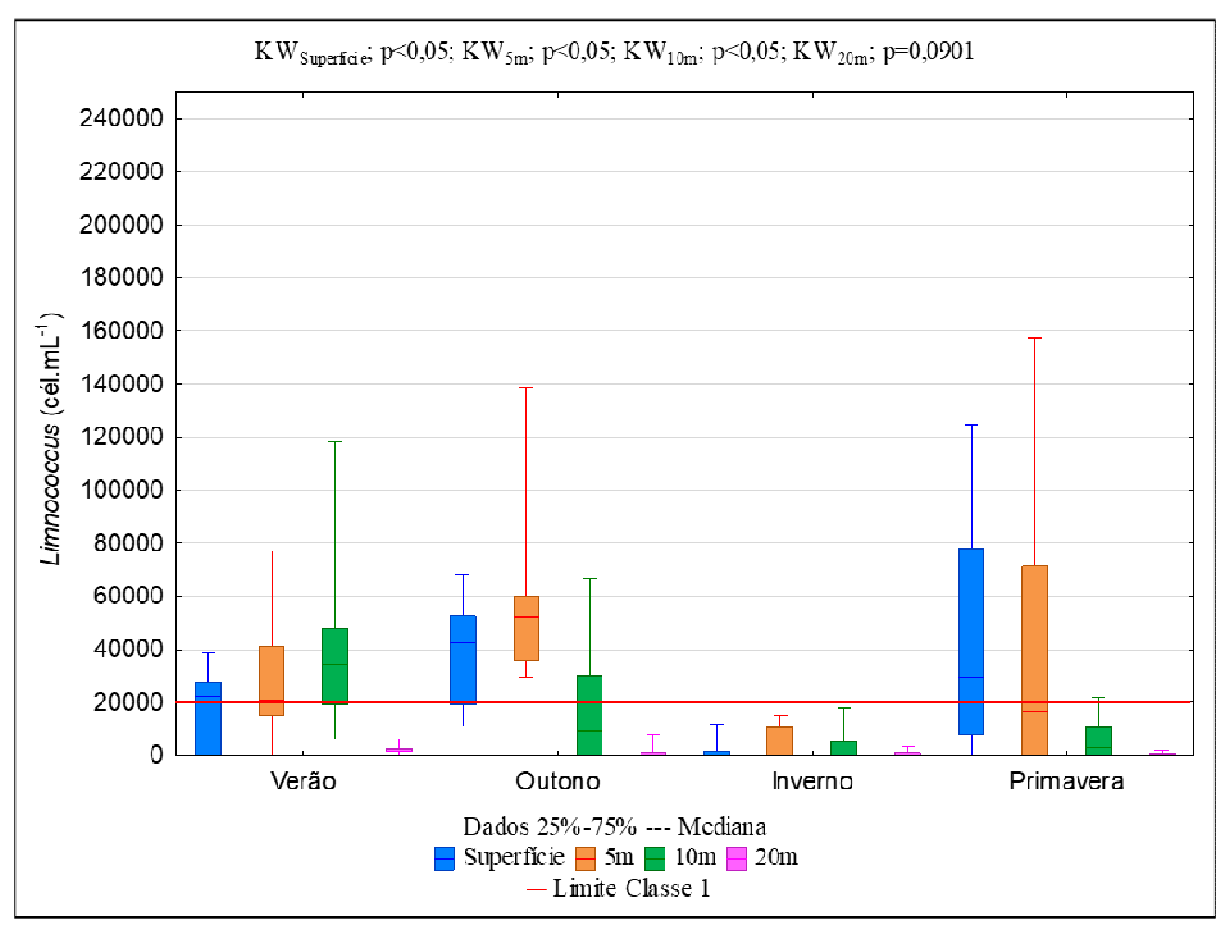


Figura 31 - Estudo da sazonalidade do gênero *Limnococcus* por profundidade no ponto de PF-01, situado próximo a barragem do Reservatório de Ribeirão das Lajes, Piraí, RJ, para o período de janeiro de 2018 a janeiro de 2019



As Figuras 32 e 33 apresentam as densidades de *Lemmermanniella/ Epigloeosphaera* e sua distribuição ao longo da coluna d'água em cada estação climatológica do ano. As estações climatológicas mais favoráveis ao crescimento desse gênero foram no outono e na primavera, chegando a ter picos de 150.000 cél.mL⁻¹ e 200.000 cél.mL⁻¹. Apesar do aumento na densidade relativa de cianobactérias durante o inverno, não houve aumento na densidade de cianobactérias deste gênero. Cerca de 80% de toda a densidade de cianobactérias identificada durante o inverno corresponde a este gênero, enquanto nas demais estações climatológicas esta incidência oscila entre 15% a 50%.

Figura 32 - Evolução temporal da variação da densidade de cianobactérias para o gênero *Lemmermanniella/Epigloeosphaera* na coluna d'água no do ponto de PF-01, situado próximo a barragem do Reservatório de Ribeirão das Lajes, Piraí, RJ, para o período de janeiro de 2018 a janeiro de 2019.

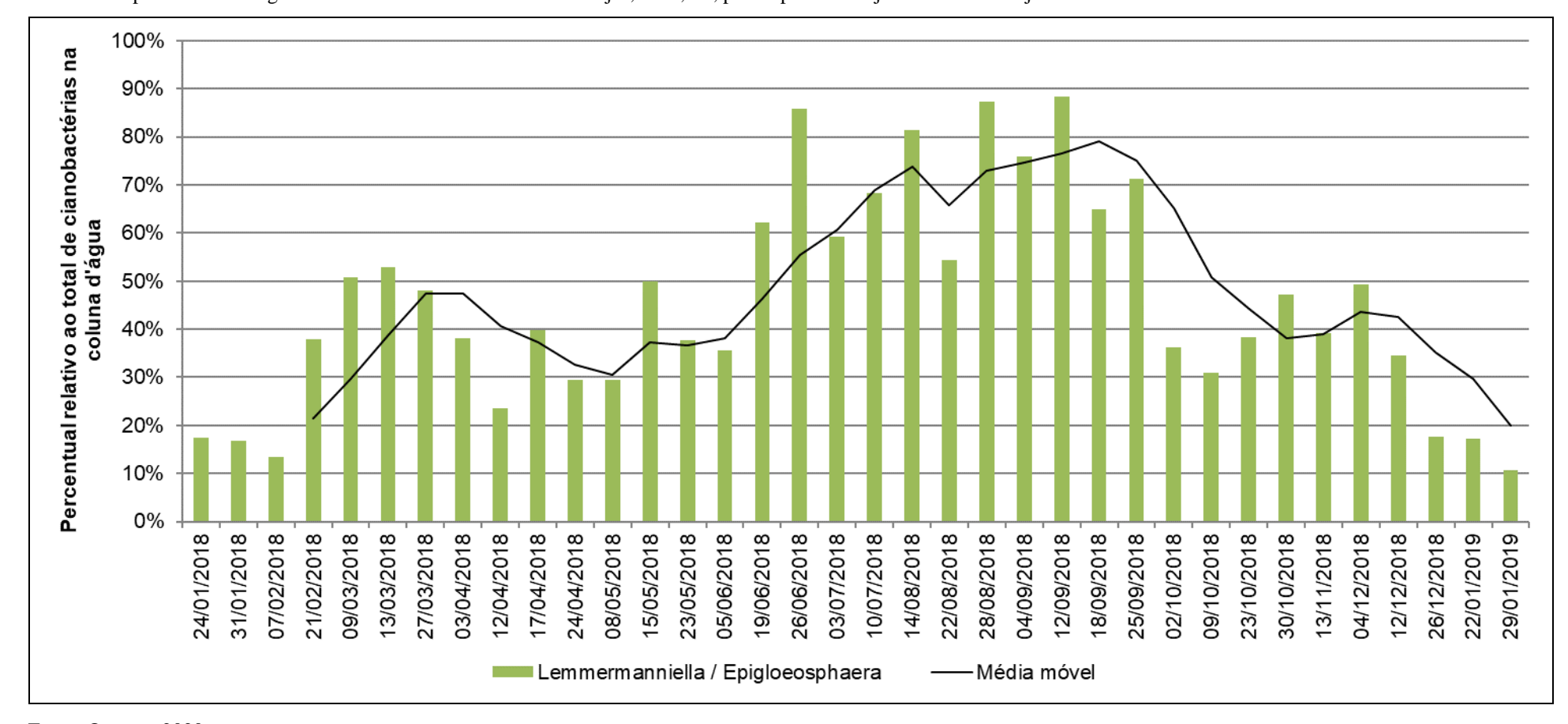
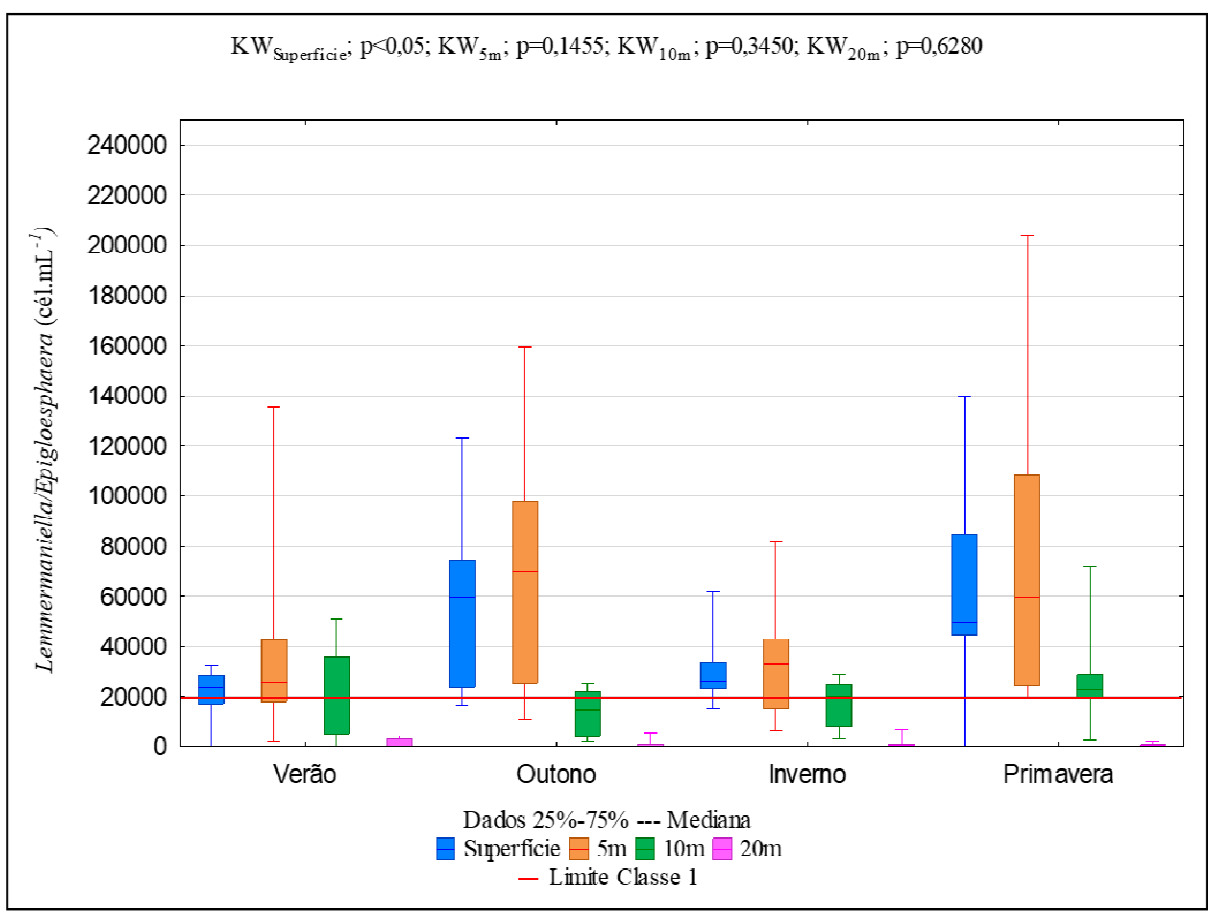


Figura 33 - Estudo da sazonalidade do gênero *Lemmermanniella / Epigloeosphaera* por profundidade no ponto de PF-01, situado próximo a barragem do Reservatório de Ribeirão das Lajes, Piraí, RJ, para o período de janeiro de 2018 a janeiro de 2019



A densidade relativa do gênero de cianobactérias *Planktolyngbya limnetica* aumentou no verão, onde houve picos de cerca de 200.000 cél.mL⁻¹ na superfície. Nas demais estações climatológicas há um declínio acentuado na sua densidade, (Figuras 32 e 33).

Figura 34 - Evolução temporal da variação da densidade de cianobactérias para o gênero *Planktolyngbya limnetica* na coluna d'água no do ponto de PF-01, situado próximo a barragem do Reservatório de Ribeirão das Lajes, Piraí, RJ, para o período de janeiro de 2018 a janeiro de 2019.

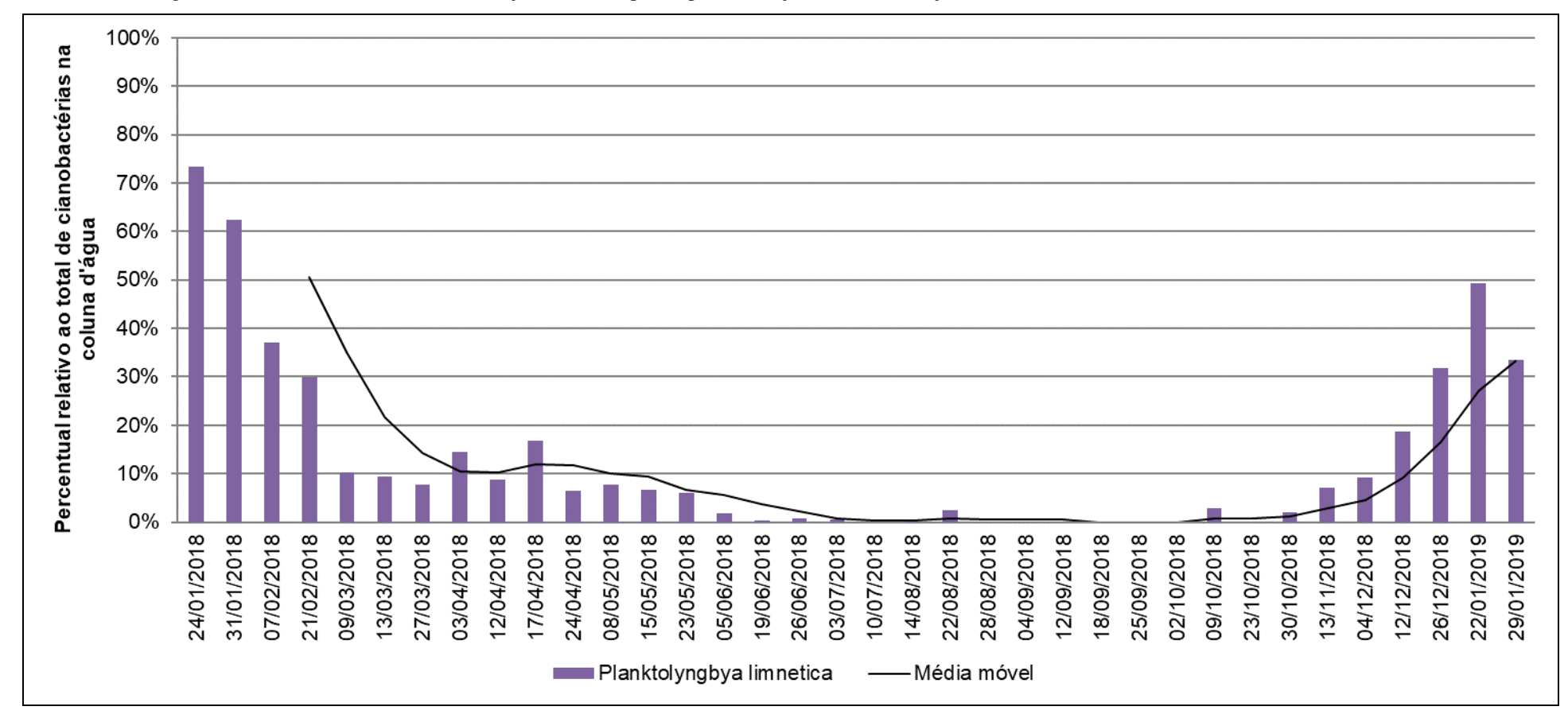
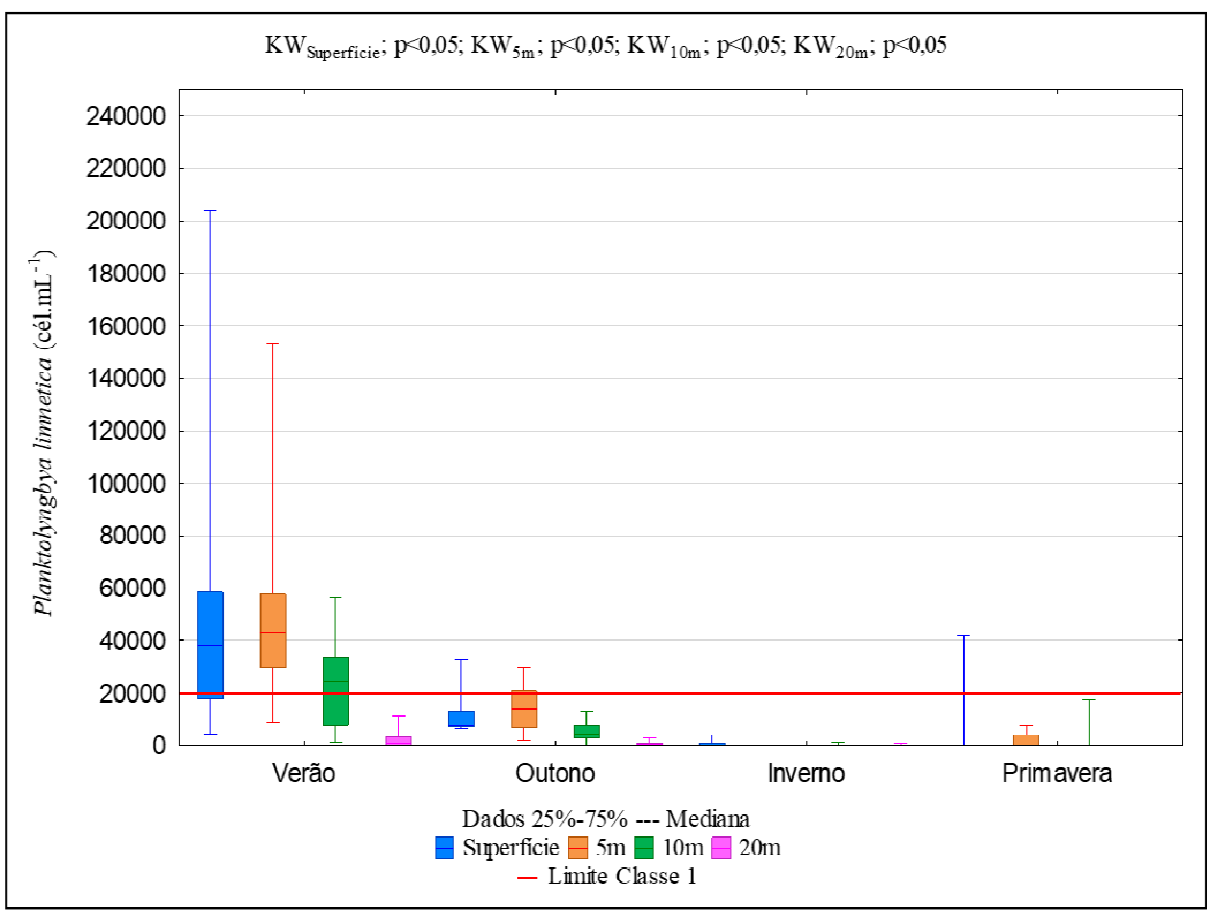


Figura 35 - Estudo da sazonalidade do gênero *Planktolyngbya limnetica* por profundidade no ponto de PF-01, situado próximo a barragem do Reservatório de Ribeirão das Lajes, Piraí, RJ, para o período de janeiro de 2018 a janeiro de 2019



5.3 Índice de Estado Trófico (IET)

A Tabela 24 apresenta o IET calculado para o reservatório, agrupado por estação climatológica. Em função de grande parte dos resultados para os parâmetros fósforo total e clorofila-α serem baixos, o IET calculado para o reservatório é majoritariamente classificado em ultraoligotrófico chegando a oligotrófico em períodos com maior pluviosidade que costumam ocorrer no verão e no outono.

Tabela 24 - Índice de Estado Trófico calculado para o ponto de PF-01, situado próximo a barragem do Reservatório de Ribeirão das Lajes, Piraí, RJ, para o período de janeiro de 2018 a janeiro de 2019 agrupado por estação climatológica

Data da coleta	Estação Climatológica	IET Clorofila-a (mg.m ⁻³)	IET P-total - P (mg.m ⁻³)	Classificação do Estado Trófico
24/01/2018	Verão	41,34	48,42	ULTRAOLIGOTRÓFICO
31/01/2018	Verão	49,36	52,31	OLIGOTROFICO
07/02/2018	Verão	46,68	47,06	ULTRAOLIGOTRÓFICO
21/02/2018	Verão	46,53	49,52	OLIGOTROFICO
09/03/2018	Outono	50,98	48,42	OLIGOTROFICO
13/03/2018	Outono	49,85	48,99	OLIGOTROFICO
27/03/2018	Outono	41,34	48,99	ULTRAOLIGOTRÓFICO
03/04/2018	Outono	46,32	50,01	OLIGOTROFICO
12/04/2018	Outono	50,77	49,52	OLIGOTROFICO
17/04/2018	Outono	49,66	49,52	OLIGOTROFICO
24/04/2018	Outono	50,1	50,01	OLIGOTROFICO
08/05/2018	Outono	51,97	38,66	ULTRAOLIGOTRÓFICO
15/05/2018	Outono	51,02	52,91	OLIGOTROFICO
23/05/2018	Outono	51,24	38,66	ULTRAOLIGOTRÓFICO
05/06/2018	Inverno	52,34	38,66	ULTRAOLIGOTRÓFICO
19/06/2018	Inverno	-	38,66	ULTRAOLIGOTRÓFICO
26/06/2018	Inverno	41,34	38,66	ULTRAOLIGOTRÓFICO
03/07/2018	Inverno	41,34	38,66	ULTRAOLIGOTRÓFICO
10/07/2018	Inverno	41,34	38,66	ULTRAOLIGOTRÓFICO
14/08/2018	Inverno	41,34	38,66	ULTRAOLIGOTRÓFICO
22/08/2018	Inverno	48,85	38,66	ULTRAOLIGOTRÓFICO
28/08/2018	Inverno	47,5	38,66	ULTRAOLIGOTRÓFICO
04/09/2018	Primavera	51,64	38,66	ULTRAOLIGOTRÓFICO
12/09/2018	Primavera	49,12	38,66	ULTRAOLIGOTRÓFICO
18/09/2018	Primavera	-	50,01	OLIGOTROFICO
25/09/2018	Primavera	45,12	42,86	ULTRAOLIGOTRÓFICO
02/10/2018	Primavera	49,8	38,66	ULTRAOLIGOTRÓFICO
09/10/2018	Primavera	48,78	42,86	ULTRAOLIGOTRÓFICO
23/10/2018	Primavera	45,63	46,26	ULTRAOLIGOTRÓFICO
30/10/2018	Primavera	49,27	48,42	OLIGOTROFICO
13/11/2018	Primavera	49,44	38,66	ULTRAOLIGOTRÓFICO
04/12/2018	Verão	41,34	38,66	ULTRAOLIGOTRÓFICO
12/12/2018	Verão	41,34	38,66	ULTRAOLIGOTRÓFICO
26/12/2018	Verão	41,34	38,66	ULTRAOLIGOTRÓFICO
22/01/2019	Verão	41,34	38,66	ULTRAOLIGOTRÓFICO
29/01/2019 Fonta: O auto	Verão	41,34	38,66	ULTRAOLIGOTRÓFICO

Fonte: O autor, 2020

5.4 Índice de Qualidade de Água de Reservatórios (IQAR)

A Tabela 25 apresenta o IQAR calculado para o reservatório, agrupado por estação climatológica.

Tabela 25 - Índice de Qualidade de Água de Reservatórios do Reservatório para o ponto de PF-01, situado próximo a barragem do Reservatório de Ribeirão das Lajes, Piraí, RJ, para o período de janeiro de 2018 a janeiro de 2019 agrupado por estação climatológica

Variáveis	Unidade	Verão	Outono	Inverno	Primavera
Déficit oxigênio dissolvido	%	48,9%	47,7%	46,5%	46,8%
Fósforo total	P mg.L ⁻¹	0,007	0,011	0,003	0,005
Nitrogênio Inorgânico Total	N mg.L ⁻¹	0,075	0,025	0,115	0,0106
Clorofila-α	μg.L ⁻¹	<2,0	2,49	3,14	2,72
Profundidade (disco de Secchi)	metros	3,9	3,7	4,2	4,1
Densidade de cianobactérias	cél.mL ⁻¹	116927	136943	36738	134020
Profundidade média	metros	15	15	15	15
Tempo de residência	dias	282	282	282	282
IQAR		2,44	2,75	2,26	2,61
Legenda		Pouco Degradado	Moderadamente Degradado	Pouco Degradado	Moderadamente Degradado

Fonte: O autor, 2020.

Segundo a classificação pelo IQAR, o reservatório de Ribeirão das Lajes, no ponto próximo à barragem se enquadra na classe III, sendo considerado moderadamente degradado, apresentando um déficit considerável de oxigênio dissolvido na coluna de água (abaixo de 20m), podendo ocorrer anoxia na camada de água próxima ao fundo, em determinados períodos. Essa classificação considera como médio o aporte de nutrientes e matéria orgânica, com elevada densidade de cianobactérias, podendo haver dominância de algumas espécies. Classifica o reservatório com qualidade de água regular/aceitável, com tendência moderada a eutrofização e com tempo de residência das águas consideravelmente alto.

6 DISCUSSÃO DOS RESULTADO

O reservatório de Lajes apresentou, considerando o uso para abastecimento público, ao longo do período estudado, ocorrências de elevadas densidades de cianobactérias, com impactos significativos dos efeitos da sazonalidade e pluviosidade, principalmente no inverno, apresentando valores mais baixos.

Durante o período estudado em grande parte do ano a densidade de cianobactérias foi de aproximadamente 150.000 a 250.000 cél.mL⁻¹, tendo momentos com picos de 400.000 cél.mL⁻¹ e mínimas de 15.000 cél.ml⁻¹ na camada superficial. Destaca-se o aumento nas densidades de cianobactérias nos últimos anos, nos estudos apresentados por Gomes (2005) e Unirio (2006) a quantificação de cianobactérias não excedeu 20.000 ind.mL⁻¹ ou 36.000 cél.mL⁻¹. A CONAMA 357/05 estabelece para águas classe tipo 1 o limite de 20.000 cél.mL⁻¹ enquanto o Anexo XX da PCMS 5/2017 estabelece a obrigatoriedade de monitoramento semanal das cianotoxinas. Nesse sentido é imprescindível a vigilância e monitoramento contínuo da qualidade da água.

Apesar do aumento nas densidades de cianobactérias nos últimos anos, não foi observado incremento nas concentrações de N e P na coluna d'água, tendo sido observados em baixas concentrações.

O estudo realizado por Gomes (2005) no reservatório indica que embora este seja classificado como oligo-mesotrófico, há dominância das cianobactérias na estrutura do fitoplâncton.

Os dados obtidos neste trabalho indicam que o reservatório foi classificado como ultraoligotrófico para oligotrófico, apontando para ligeira melhoria na qualidade da água comparado aos resultados obtidos por Gomes (2005), entretanto, é importante ampliar o período de monitoramento visando uma análise mais efetiva de tendência.

Ao comparar o reservatório de Lajes com outros seis reservatórios do complexo de hidrelétricas da LIGHT, Puga (2016) concluiu que diferentemente do esperado, os reservatórios com menores graus de trofia não apresentaram as menores biomassas em carbono na comunidade planctônica. Puga (2016) aponta que o elevado tempo de detenção da água no reservatório como fator importante ao comparar as biomassas do fitoplâncton, tendo Lajes como destaque com maiores valores em relação aos demais reservatórios.

Foram identificados 13 gêneros de cianobactérias, dentre eles os gêneros Aphanocapsa e Radiocystis são potenciais produtores de microcistina, enquanto o gênero *Cylindrospermopsis* é potencial produtor de saxitoxina e cilindrospermopsina, esta última ainda não se tem registros no Brasil.

Vale ressaltar que os gêneros *Radiocystis* e *Cylindrospermopsis* foram identificados, porém apresentaram baixas densidades e nunca ultrapassaram a densidade relativa de 5% de cianobactérias. Durante o período estudado não foram detectadas concentrações de microcistina, saxitoxina ou cilindrospermopsina em nenhuma profundidade estudada.

Dentre os gêneros encontrados, *Aphocanapsa*, *Limnococcus*, *Lemmermanniella/Epigloeosphaera* e *Planktolyngbya limnetica* tiveram maiores densidades, o que justificou uma análise mais detalhada deles. Gomes (2005) ao estudar as espécies de cianobactérias dominantes no reservatório de Lajes relatou a presença dos gêneros *Leptolyngbya e Cyanodictyon* como espécies dominantes, chamando a atenção para o fato dessas espécies não serem as clássicas formadoras de florações no Brasil nem no Mundo. Unirio (2006) identificou os gêneros *Aphanocapsa*, *Coelomoron*, *Lemmermmaniella*, *Leptolynbya*, *Merismopedia e Synechococcus*, chamando a atenção para a dominância do gênero *Leptolynbya*, corroborando com o estudo de Gomes (2005).

Neste estudo, diferentemente dos estudos anteriores, houve alternância entre os gêneros dominantes, tendo destaque a presença estável ao longo do ano inteiro do gênero *Aphocanapsa*. Este gênero desperta atenção pelo seu potencial de produção de toxinas.

Durante o período do inverno houve uma redução significativa na densidade de cianobactérias, impactada pela redução do gênero *Limnococcus*, que chegou a ter densidades muito reduzidas. Neste mesmo período, o gênero *Lemmermanniella/Epigloeosphaera* se destacou com 80% de toda a densidade de cianobactérias, enquanto nas demais estações climatológicas esta incidência oscilou entre 15% a 50%.

A densidade relativa do gênero de cianobactérias *Planktolyngbya limnetica* aumentou no verão, onde houveram picos de cerca de 200.000 cél.mL⁻¹ na superfície. Nas demais estações climatológicas houve um declínio acentuado da sua incidência.

A estrutura da comunidade fitoplanctônica sofre impactos em função das diferentes condições de estabilidade. Teixeira (2020) ao estudar a estabilidade térmica e química no reservatório de Lajes demonstra ocorrência de forte estabilidade e instabilidade da coluna d'água, com significativa sazonalidade associada ao regime climatológico. Costa (2014) associou o maior biovolume do fitoplâncton ao período de estratificação térmica mais pronunciado da coluna d'água, em função do aumento da temperatura da água, um modesto incremento na disponibilidade de fósforo (controle ascendente) e a uma redução da biomassa

do zooplâncton herbívoro (controle descendente). Em relação a composição do fitoplâncton, Costa (2014) associou os efeitos diretos (metabolismo) e indiretos (estratificação) da temperatura e, potencialmente, pela ação seletiva do zooplâncton herbívoro.

Os resultados deste trabalho obtidos para o grau de saturação de oxigênio e temperatura da água, variaram ao longo das profundidades estudadas, apresentando homogeneidade entre as profundidades da superfície até a profundidade de 5 m durante o período inteiro. Teixeira (2020) aponta uma forte estratificação térmica nos primeiros 6 m de profundidade da coluna d'água no ponto da barragem do reservatório de Lajes, dificultando a mistura dessas águas. A fraca ação dos ventos é apontada como fator importante nos fenômenos de mistura das camadas d'água do reservatório, favorecendo aos processos de estratificação térmica e química (TEIXEIRA, 2020).

Durante o inverno os resultados do grau de saturação de oxigênio e da temperatura da água, apresentaram maior homogeneidade entre a superfície até os 10 m de profundidade. Por ser um reservatório profundo, o grau de saturação de oxigênio varia bastante ao longo do perfil vertical, sendo abaixo dos 20 m, um ambiente próximo a hipóxido. O impacto da sazonalidade no grau de saturação de oxigênio dissolvido e temperatura da água é evidente. Durante o verão, outono e primavera é observado três camadas no grau de saturação de oxigênio e temperatura da água, enquanto no inverno, há somente duas camadas, com redução dos valores nas camadas superficiais. A temperatura da água na camada superficial atinge seu valor mínimo de 22°C ± 0,9°C no inverno, enquanto no verão atingiu 32,5°C ± 0,9°C, sendo esta, uma oscilação expressiva, impactando a dinâmica do reservatório. No verão há uma diferença estabelecida entre as camadas, chegando a apresentar 5°C ± 0,9°C de diferença entre a camada superficial e a profundidade de 10 m na coleta dia 12/12/18 e de quase 10°C ± 0,9°C entre a superfície o ponto de 20 m no dia 29/01/19.

Teixeira (2020) demonstra que apesar de ocorrer a desestratificação térmica na camada superficial do reservatório no inverno, as águas não sofrem mistura completa, com permanente estratificação química.

A espécie preponderante de nitrogênio inorgânico até a profundidade de 20 m é o nitrato, corroborando com o estudo realizado por (UERJ, 2019) que constatou a predominância do nitrato até a profundidade de 30 m e a partir dessa, a amônia apresenta valores mais elevados, justificados pela redução da presença de oxigênio. Com a anoxia, a respiração da matéria orgânica se dá pela via de geração de amônia, aumentando o pH e aumentando os teores de amônia.

Os valores medianos de fósforo total se mantiveram estáveis ao longo da coluna d'água, indicando disponibilidade suficiente deste elemento, diferentemente do ortofosfato, que praticamente não foi detectado, sendo este, um elemento importante na regulação do controle de cianobactérias. O estudo desenvolvido por (UERJ, 2019) aponta o ortofosfato como principal constituinte do fósforo total corroborando para importância da limitação deste composto. Costa (2014) aponta o fósforo como elemento limitante no reservatório de Lajes, não havendo limitação por nitrogênio. Isto pode ocorrer devido ao consumo deste nutriente pelas cianobactérias em seu metabolismo, utilizando o ortofosfato para seu crescimento

As concentrações de clorofila-α no reservatório de Lajes, durante o período estudado foram baixas, com valor mediano de 1,35 μg.L⁻¹ na profundidade superficial, resultados que corroboram com os encontrados por Costa (2014) 1,4 μg.L⁻¹ e Soares *et al.* (2008) 1,9 μg.L⁻¹.

A clorofila-α é muitas vezes utilizada como indicador para monitoramento indireto da densidade de cianobactérias. Em casos como o encontrado no reservatório de Lajes, essa relação entre clorofila e densidade de cianobactérias não é adequada, uma vez são encontradas baixas concentrações de clorofila-α e elevadas densidades de cianobactérias.

O reservatório, no ponto estudado, próximo à barragem, apresentou baixo grau de trofia, quando analisados os índices de estado trófico (IET) em função dos resultados das concentrações do fósforo e clorofila-α, podendo ser incluído como um sistema ultraoligotrófico a oligotrófico. No entanto, o reservatório pode ser classificado como classe III pelo Índice de Qualidade de Água de Reservatórios (IQAR), sendo considerado moderadamente degradado, apresentando um déficit considerável de oxigênio dissolvido na coluna de água (abaixo de 20m), podendo ocorrer anoxia na camada de água próxima ao fundo, fato este corroborado por Teixeira (2020). Essa classificação considera a elevada densidade de cianobactérias, indicando haver dominância de algumas espécies, entretanto, não foi observada floração durante o período estudado. Classifica o reservatório com qualidade de água regular/aceitável, com tendência moderada a eutrofização e com tempo de residência das águas consideravelmente alto.

CONSIDERAÇÕES FINAIS

O reservatório de Ribeirão das Lajes apresentou, durante o estudo, ocorrência de elevadas densidades de cianobactérias, violando os limites estabelecidos pela CONAMA 357/05 para águas do tipo classe 1 em praticamente todo o ano, com diferenças significativas entre as estações climatológicas, tendo apresentado valores mais baixos no inverno.

Dos gêneros de cianobactérias identificados, os gêneros *Aphanocapsa, Limnococcus, Lemmermanniella/Epigloeosphaera* e *Planktolyngbya limnetica* se alternaram entre os gêneros dominantes, sendo influenciadas pelas estações climatológicas. Esses gêneros não foram citados como dominantes em estudos anteriores conduzidos por Gomes (2005) e Unirio (2006), que apontavam *Leptolyngbya* e *Cyanodictyon* como gêneros dominantes. Apesar da ocorrência do gênero *Aphanocapsa* ao longo de todo o período estudado, não foi detectado a presença das cianotoxinas (microcistinas, saxitoxinas e cilindrospermopsinas).

Os resultados obtidos para os parâmetros de oxigênio dissolvido e temperatura da água corroboram estudos desenvolvidos no reservatório que avaliaram a estratificação térmica do reservatório durante o verão, outono e primavera, ocorrendo a desestratificação térmica na camada superficial do reservatório no inverno.

O reservatório é classificado como ultraoligotrófico para oligotrófico, apresentou baixas concentrações de clorofila-α, nitrogênio e fósforo, praticamente não sendo quantificadas concentrações de ortofosfato.

Apesar da classificação de baixo grau de trofia pelo IET (CETESB, 2020) o reservatório foi enquadrado como classe III pelo IQAR (IAP, 2017) apresentando características de reservatório moderadamente degradado.

Embora a represa de Lajes seja considerada de ótima qualidade com baixo estado de trofia, situada em região onde ocorra pouca contaminação antropogênica, é necessária uma permanente preocupação com as ocorrências de cianobactérias, devido ao aumento nas densidades de cianobactérias ao longo dos anos e a presença de gêneros com potencial produção de cianotoxinas.

REFERÊNCIAS

- ADLOFF, C. T. et al. Analysis of the Phytoplankton Community Emphasizing Cyanobacteria in Four Cascade Reservoirs System of the Iguazu River, Paraná, Brazil. *Revista Brasileira de Recursos Hidricos*, v. 23, 1 fev. 2018. Disponível em: http://www.scielo.br/scielo.php?script=sci_arttext&pid=S2318-03312018000100203&lang=pt.
- AGEVAP Associação Pró-Gestão das Águas da Bacia hidrográfica do Rio Paraíba do Sul. *Relatório de Gestão da Região Hidrográfica do Guandu*. Resende, RJ, 2016.
- AGUILERA, A. et al. The polyphasic analysis of two native Raphidiopsis isolates supports the unification of the genera Raphidiopsis and Cylindrospermopsis (Nostocales, Cyanobacteria). *Phycologia*, v. 57, n. 2, p. 130–146, 1 mar. 2018. Disponível em: https://www.tandfonline.com/doi/full/10.2216/17-2.1.
- ALCOCER, J; BERNAL-BROOKS, F. W. Limnology in Mexico. Hydrobiologia, v. 644, n. 1, p. 15-68, 2010.
- ALLENDE, L. et al. Phytoplankton functional group classifications as a tool for biomonitoring shallow lakes: a case study. *Knowledge and Management of Aquatic Ecosystems*, v. 2019-Janua, n. 420, 2019.
- APHA; AWWA; WEF. Standard methods for examination of water and wastewater. 21. ed. Washington, DC: American Public Health Assosiation, 2005.
- APRILE, F.M. Thermal structure of the Poraquê lake, Central Amazonian, Brazil. Acta Scientiarum. Biological Sciences, v. 33, n. 2, p. 171-178, 2011.
- ARAÚJO, J. A. F.; SALES, R. J. M.; SOUZA, R. O. Risco de eutrofização em reservatórios de regiões semiáridas com uso da teoria dos conjuntos difusos. Revista de Gestão de Água da Ámérica Latina, v. 10, nº 1. 2013.
- BARTRAM, J et al. Toxic Cyanobacteria in Water: a Guide to Their Public Health Consequences, Monitoring and Management. E & FN Spon, p. 1-14, 1999.
- BECKER, V. et al. Driving factors of the phytoplankton functional groups in a deep Mediterranean reservoir. *Water Research*, v. 44, n. 11, p. 3345–3354, 2010.
- BECKER, V; HUSZAR, V. L. M; CROSSETTI, L. O. Responses of phytoplankton functional groups to the mixing regime in a deep subtropical reservoir. *Hydrobiologia*, v. 628, p. 137-151, 2009.
- BINA, B. Fatores ambientais e dinâmica de população de cianobactérias em um reservatório tropical no Sudeste. Belo Horizonte, MG, 2008. Tese (Programa de Pós-graduação em Ecologia, Conservação e Manejo de Vida Silvestre) Universidade Federal de Minas Gerais, 2008.

- BORGES, P. A. F; TRAIN, S; RODRIGUES, L. C. Spatial and temporal variation of phytoplankton in two subtropical Brazilian reservoirs. *Hydrobiologia*, v. 607, p. 63-74, 2008.
- BORTOLINI, J. C. et al. Response to environmental, spatial, and temporal mechanisms of the phytoplankton metacommunity: comparing ecological approaches in subtropical reservoirs. *Hydrobiologia*, v. 830, n. 1, p. 45–61, 2019.
- BOUVY, M et al. Occurrence of Cylindrospermopsis (Cyanobacteria) in 39 Brazilian tropical reservoirs during the 1998 drought. *Aquatic Microbial Ecology*, v. 23, p. 13-27, 2000.
- BRAGA, G. G.; BECKER, V. Influence of water volume reduction on the phytoplankton dynamics in a semiarid m an-made lake: A comparison of two morphofunctional approaches. *Anais da Academia Brasileira de Ciencias*, v. 92, n. 1, p. 1–17, 2020.
- BRANCO, C. W. C et al. Impact of climate on the vertical water column structure of Lajes Reservoir (Brazil): A tropical reservoir case. *Lakes and Reservoirs: Research and Management*, v. 14, n. 3, p. 175-191, 2009.
- BRANDÃO, L.; DOMINGOS, P. Ambiente. FATORES AMBIENTAIS PARA A FLORAÇÃO DE CIANOBACTÉRIAS TÓXICAS ENVIRONMENTAL FACTORS FOR TOXICS CYANOBACTERIA BLOOM, n. Saude & em revista Ambiente, p. 40–50, 2006.
- BRASIL. Conselho Nacional de Meio Ambiente CONAMA. Resolução n. 357, de 17 de março de 2005: dispõe sobre a classificação dos corpos de água e diretrizes ambientais para seu enquadramento, bem como esclarece condições e padrões de lançamento de efluentes. Disponível em: http://www.mma.gov.br. Acesso em: 10 de janeiro de 2020.
- BRASIL. *Ministério da Saúde. Portaria n. 5, de 28 de setembro de 2017. ANEXO XX.* Diário Oficial da União. Brasília, 28 de setembro de 2017.
- CABECINHA, E et al. Ecological relationships between phytoplankton communities and different spatial scales in European reservoirs: implications at catchment level monitoring programs. *Hidrobiologia*, v. 628, p. 27-45, 2009.
- CALIJURI, M. C et al. Temporal changes in the phytoplankton community structure in a tropical and eutrophic reservoir. *Journal of Plankton Research*, Barra Bonita, SP Brazil, v. 24, p. 617-634, 2002.
- CARACO, N. F.; MILLER, R. Effects of Co2 on competition between a cyanobacterium and eukaryotic phytoplankton. *Canadian Journal of Fisheries and Aquatic Sciences*, v. 55, n. 1, p. 54–62, 1998.
- CARLSON, R. E. A trophic state index for lakes. *Limnology Oceanography*, v. 22, n. 2, p. 261-269, 1977.
- CARMICHAEL, W. W. The toxins of cyanobacteria. *Scientific American*, v. 270, n. 1, p. 78–86, jan. 1994. Disponível em: https://www.scientificamerican.com/article/the-toxins-of-cyanobacteria.
- CARMICHAEL, W. W. The cyanotoxins. Adv Bot Res, v. 27, p. 211-12, 1997.

- CETESB. *IET- Índice do estado trófico*. *COMPANHIA AMBIENTAL DO ESTADO DE SÃO PAULO*. Disponível em: https://cetesb.sp.gov.br/aguas-interiores/wp-content/uploads/sites/12/2013/11/Ap%C3%AAndice-C-%C3%8Dndices-de-Qualidade-das-%C3%81guas-2.pdf. Acesso em: 3 jan. 2020.
- CETESB. Manual de Cianobactérias Planctônicas: Legislação, Orientações para o Monitoramento e Aspectos Ambientais. São Paulo, 2013.
- Comitê das Bacias Hidrográficas dos rios Guandu, da Guarda e Guandu-Mirim COMITÊ GUANDU. Monitoramento da qualidade da água do rio Piraí à montante de Tócos, na Região Hidrográfica II Guandu. Seropédica. 2013.
- CORDEIRO, E. M. S.; ROCHA, F. N. S.; PEQUENO, M. N. C.; BUARQUE, H. L. B. *Avaliação comparativa dos índices de estado trófico das lagoas do opaia e da sapiranga, Fortaleza-CE*. In: IX Encontro de pesquisa e pós-graduação, IX Encontro de iniciação científica, III Simpósio de Inovação Tecnológica. Fortaleza, 2009.
- COSTA, A. R. Fatores que controlam a composição e o biovolume do fitoplâncton do Reservatório de Ribeirão das Lajes. Rio de Janeiro, 2014. Dissertação (Programa de Pósgraduação em Botânica) UFRJ/Museu Nacional, 2014.
- CROSSETI, L. O et al. Phytoplankton biodiversity changes in a shallow tropical reservoir during the hypertrophication process. *Brazilian Journal of Biology*, v. 68, p. 1061-1067, 2008.
- CUNHA, D. G. F. Heterogeneidade espacial e variabilidade temporal do Reservatório de Itupararanga: uma contribuição ao manejo sustentável dos recursos hídricos da Bacia do Rio Sorocaba (SP). São Carlos, f. 235, 2012. Tese (Doutorado em Hidráulica e Saneamento) Escola de Engenharia da Universidade de São Paulo, 2012.
- CUNHA, D. G. F; CALIJURI, M. C. Variação sazonal dos grupos funcionais fitoplanctônicos em braços de um reservatório tropical de usos múltiplos no estado de São Paulo (Brasil). *Acta Botânica Brasílica*, v. 25, p. 822-831, 2011.

Danish Lakes. n. 1990, 1994. Disponível em: <www.nrcresearchpress.com>

- DELLAMANO-OLIVEIRA, M. J et al. Phytoplankton taxonomic composition and temporal changes in a tropical reservoir. Fundamental and Applied Limnology Archiv für Hydrobiologie, v. 171, p. 27-38, 2008.
- DODDS, W. K. Freshwater Ecology: Concepts and Environmental Applications. 1. ed. San Diego, California: Academic Press, 2002.
- DOS SANTOS, A. C. A; CALIJURI, M. C. Survival strategies of some species of the phytoplankton community in the Barra Bonita Reservoir. Hydrobiologia. São Paulo, Brazil, v. 367, 1998, p. 139-152.
- ESTEVES, F. A. Fundamentos de Limnologia. 3. ed. Rio de Janeiro: Interciência, 2011.

- ESTEVES, F. A. Fundamentos de limnologia. 2. ed. Rio de Janeiro: Interciência, 1998. 602 p.
- ESTEVES, F. A. *Fundamentos de Limnologia*. Rio de Janeiro: Interciência/FINEP, 1988. FALCO, P. B; CALIJURI, M. C. Longitudinal phytoplankton community distribution in a tropical reservoir. *Acta Limnologica Brasiliensia*, Americana, SP Brazil, v. 14, p. 27-37, 2002.
- FALCONER, I. Potential impact on human health of toxic cyanobacteria. *Phycologia*, v. 35(6), p. 6-11, 1996.
- FERNANDES, S. S. Biodisponibilidade de Cianotoxinas em Bivalves. Porto, 2008. Dissertação (Ecologia Aplicada) Faculdade de Ciências da Universidade do Porto, Portugal, 2008.
- FIGUEREDO, C. C; GIANI, A. Phytoplankton community in the tropical lake of LagoaSanta (Brazil): Conditions favoring a persistent bloom of Cylindrospermopsis raciborskii: Limnologica . 2009.
- FIGUEREDO, C. C; GIANI, A. Seasonal variation in the diversity and species richness of phytoplankton in a tropical eutrophic reservoir. *Hydrobiologia*, v. 445, p. 165-174, 2001.
- FOGG, G. E; THAKE, B. Algae cultures and phytoplankton ecology. 3. ed. The University of Wisconsin (Ed.), 1987.
- GANF, G. G. Diurnal Mixing and the Vertical Distribution of Phytoplankton in a Shallow Equatorial Lake (Lake George, Uganda). *The Journal of Ecology*, v. 62, n. 2, p. 611, 1974.
- GOMES, A. M. A. *Impacto Da Atividade De Piscicultura Intensiva E Da Adição De Nutrientes Inorgânicos (N E P) Na Qualidade Da Água Do Reservatório De Ribeirão Das Lajes*. Rio de Janeiro, 2005. Dissertação (Programa de Pós-graduação em Ciências Biológicas) Universidade Federal do Rio de Janeiro, Rio de Janeiro, 2005.
- GUEDES, I. A. *Diversidade e Dinâmica de cianobactérias e produção de microcistinas no Reservatório do Funil- RJ*. Rio de Janeiro, 2013. Dissertação (Programa de Pós-graduação em Ciências Biológicas) Universidade Federal do Rio de Janeiro, Rio de Janeiro, 2013.
- HANEY, J. F. Field studies on zooplankton □ cyanobacteria interactions. *New Zealand Journal of Marine and Freshwater Research*, v. 21, n. April 1987, p. 467–475, 1987.
- HANEY, J. F. Field studies on zooplankton-Cyanobacteria interactions. *Marine Freshwater Research*, N.Z.J, v. 21, p. 467-475, 1987.
- HUSZAR, V; DA SILVA, L. A. A Estrutura da Comunidade Fitoplanctônica no Brasil: Cinco Décadas de Estudos. *Limnotemas*, v. 2, p. 1-22, 1999.
- IAP. Qualidade das águas dos reservatórios do estado do Paraná. Curitiba, PR, 2017.
- IMBERGER, J; HAMBLIN, P. F. Dynamics of Lakes, Reservoirs, and Coolong Ponds. Annu. Re. Fluid Mech, p. 153-187, 1982.

INSTITUTO NACIONAL DE METROLOGIA, QUALIDADE E TECNOLOGIA. Comissão Técnica de Química CT05. *Orientação sobre validação de métodos analíticos: documento de caráter orientativo: DOQCGCRE-008: revisão 04*. Brasília, DF, 2011. 19 p.

JENSEN, P. et al. mpad of Nu Factors on the Shift from bacterial to ance in Shallow

KALFF, J. Limnology: Inland Water Ecosystems. Upper Saddle River, NJ: Prentice-Hall, 2002.

LAMPARELLI, M.C. Grau de trofia em corpos d'água do Estado de São Paulo: avaliação dos métodos de monitoramento. São Paulo, f. 238, 2004. Tese (Ecologia Aplicada) - Universidade de São Paulo, São Paulo, 2004.

LEWIS, W. M. Perspectives in Tropical Limnology: Tropical lakes: how latitude makes a difference. 1996b, p. 43-64.

LEWIS, W. M. Tropical limnology. Ann. Rev. Ecol. Syst, v. 18, n. 1, p. 59-84, 1987.

MARTÍN-FERNANDEZ, J. .; BARCELÓ-VIDAL, C.; PAWLOWSKY-GLAHN, V. Dealing With Zeros and Missing Values in Compositional Data Sets Using Nonparametric Imputation. *Mathematical Geology*, v. 35, n. 3, 2003.

MARTINS, R. Q. A. *CONTRIBUIÇÃO PARA O ESTUDO DO IMPACTO DE CIANOBACTÉRIAS NA SAÚDE ANIMAL*. 2020. Universidade Lusófona de Humanidades e Tecnologias, 2020.

MATSUMURA-TUNDISI, T et al. The Ecological Significance of the Metalimnion in Lakes of Middle Rio Doce Valley. *Limnological Studies on the Rio Doce Valley Lakes, Brazil.* São Paulo: Brazilian Academy of Science, p. 528, 1997.

MCINTIRE, C. D; LARSON, G. L; TRUITT, R. E. Seasonal and interannual variability in the taxonomic composition and production dynamics of phytoplankton assemblages in Crater Lake, Oregon. *Hydrobiologia*, v. 574, p. 179-204, 2007.

MCQUEEN, D. J.; LEAN, D. R. S. Influence of water temperature and nitrogen to phosphorus ratios on the dominance of blue-green algae in Lake St. George, Ontario. *Canadian Journal of Fisheries and Aquatic Sciences*, v. 44, n. 3, p. 598–604, 1987.

MIKŠOVÁ, D.; FILZMOSER, P.; MIDDLETON, M. Imputation of values above an upper detection limit in compositional data. *Computers and Geosciences*, v. 136, n. November 2018, p. 104383, 2020. Disponível em: https://doi.org/10.1016/j.cageo.2019.104383.

MORAES, D. S. de L.; JORDÃO, B. Q. Degradação de recursos hídricos e seus efeitos

MOURA, A. N et al. Phytoplanktonic Associations: A Tool to Understand Dominance Events in a Tropical Brazilian Reservoir. *Acta Botanica Brasilica*, v. 21, p. 641-648, 2007.

NYENJE, P. M. et al. Eutrophication and nutrient release in urban areas of sub-Saharan Africa - A review. *Science of the Total Environment*, v. 408, n. 3, p. 447–455, 2010. Disponível em: http://dx.doi.org/10.1016/j.scitotenv.2009.10.020>.

- PAERL, H. W.; OTTEN, T. G. Harmful Cyanobacterial Blooms: Causes, Consequences, and Controls. *Environmental Microbiology*, 2013.
- PALAREA-ALBALADEJO, J.; MARTÍN-FERNÁNDEZ, J. A. Values below detection limit in compositional chemical data. *Analytica Chimica Acta*, v. 764, p. 32–43, 2013. Disponível em: http://dx.doi.org/10.1016/j.aca.2012.12.029>.
- PANOSSO, R. et al. Cianobactérias e Cianotoxinas em Reservatórios do Estado do Rio Grande do Norte e o Potencial Controle das Florações pela Tilápia do Nilo (Oreochromis niloticos). *Oecologia brasiliensis*, p. 11 (3): 443-449, 2007.
- PEREIRA CASALI, Simone. *A comunidade fitoplanctônica no reservatório de Itupararanga (bacia do rio Sorocaba, SP)*. São Carlos, 2014. Tese (Ciência, Programa de Engenharia Hidráulica e Saneamento.) Universidade de São Paulo, 2014.
- PETTERSSON, K.; HERLITZ, E.; ISTVÁNOVICS, V. The role of Gloeotrichia echinulata in the transfer of phosphorus from sediments to water in Lake Erken. *Hydrobiologia*, v. 253, n. 1–3, p. 123–129, 1993.
- PROFILL/AGEVAP. *PLANO ESTRATÉGICO DE RECURSOS HÍDRICOS DAS BACIAS HIDROGRÁFICAS DOS RIOS GUANDU, DA GUARDA E GUANDU-MIRIM*. Rio de Janeiro, 2017. 554 p.
- PUGA, A. Biomassa em carbono nas comunidades fitoplanctônica e zooplanctônica de sete reservatórios tropicais. Rio de Janeiro, 2016. Dissertação (Mestrado em Ciências Biológicas (Biodiversidade Neotropical)) Universidade Federal do Estado do Rio de Janeiro, 2016.
- RAMÍREZ, J. J; BICUDO, C. E. M. Variation of climatic and physical co-determinants of phytoplankton community in four nictemeral sampling days in a shallow tropical reservoir, Southeastern Brazil. Brazilian. *Journal of Biology*, v. 62, p. 1-14, 2002.
- REYNOLDS, C. S. The response of phytoplankton communities to changing lake environments. *Swiss Journal of Hydrology*, v. 49, n. 2, p. 220–236, jun. 1987. Disponível em: http://link.springer.com/10.1007/BF02538504>.
- REYNOLDS, C. S. Cyanobacterial water-blooms. Advances in botanical research. *Academic Press*, London, v. 13, p. 67-143, 1987.
- RIO DE JANEIRO. Conselho Estadual de Recursos Hídricos CERHI. Resolução nº. 127, de 27 de agosto de 2014: aprova o enquadramento de corpos d'água em classes de uso para 24 trechos de rio da região hidrográfica Guandu. Disponível em: http://www.inea.rj.gov.br. Acesso em: 10 de janeiro de 2020.
- ROCHA, M. Estudo da variação sazonal do fitoplâncton e zooplâncton e da concentração de microcistinas nesses dois níveis tróficos no Reservatório do Funil (Resende-RJ). Rio de Janeiro, 2007. Dissertação (Programa de Pós-graduação em Ciências Biológicas) Universidade Federal do Rio de Janeiro, 2007.

- ROCHA, M. Avaliação de fatores que contribuem para a dominância de cianobactérias no Reservatório do Funil e proposição de medidas para a melhoria da qualidade da água. Rio de Janeiro, 2012. Dissertação (Programa de Pós-Graduação em Ciências Biológicas (Biofísica)) Universidade Federal do Rio de Janeiro, 2012.
- RODRIGUES, F. *Proposta e avaliação dos métodos de digestão ácida e digestão básica via bloco digestor e micro-ondas para análise de fósforo total*. Rio de Janeiro, f. 36, 2016. Trabalho de Conclusão de Curso (Ciência Ambiental) Universidade Federal do Estado do Rio de Janeiro, 2016.
- SAKER, M. L. et al. First report and toxicological assessment of the cyanobacterium Cylindrospermopsis raciborskii from Portuguese freshwaters. *Ecotoxicology and Environmental Safety*, v. 55, p. 243–250, 2003.
- SAKER, M. L.; NOGUEIRA, I. C. G.; VASCONCELOS, V. M. First report and toxicological assessment of the cyanobacterium Cylindrospermopsis raciborskii from Portuguese freshwaters. *Ecotox. Environ*, v. 55, p. 243-250, 2003.
- SALMASSO, N; PADISÂK, J. Morpho-Functional Groups and phytoplankton development in two deep lakes (Lake Garda, Italy and Lake Stechlin, Germany). *Hydrobiologia*, v. 578, p. 97-112, 2007.
- SANT'ANNA, C. L et al. *Manual ilustrado para identificação e contagem de cianobactérias planctônicas de águas continentais*. Interciência, 2006. 60 p.
- SANTOS, V. L. *CIANOBACTÉRIAS TÓXICAS E PROCESSOS DE REMOÇÃO*. Belo Horizonte, 2009. Monografia (Especialização em Microbiologia Ambiental e Industrial) Universidade Federal de Minas Gerais, Minas Gerais, 2009.
- SILVA, C. A; TRAIN, S; RODRIGUES, L. C. Phytoplankton assemblages in a Brazilian subtropical cascading reservoir system. *HydrobiologiaI*, v. 537, p. 99-109, 2005.
- SILVA, L. A influência das condições de estabilidade da coluna d'água na estrutura das comunidades planctônicas (fito e zooplâncton) do reservatório de Ribeirão das Lajes, RJ. Rio de Janeiro, 2016. Dissertação (Programa de Pós-Graduação em Ciências Biológicas) Universidade do Federal do Estado do Rio de Janeiro, 2016.
- SILVA, M. S. et al. Química das Águas de Superfícies dos Rios da Bacia Amazônica: Uma Contribuição para Classificação de Acordo com seus Usos Preponderantes. In: XIX SIMPÓSIO BRASILEIRO DE RECURSOS HÍDRICOS, Maceió, 2011.
- SMITH, V. H. Light and nutrient effects on the relative biomass of blue-green algae in lake phytoplankton. *Canadian Journal of Fisheries and Aquatic Sciences*, v. 43, n. 1, p. 148–153, 1986.
- SMITH, V. H. Low nitrogen to phosphorus ratios favor dominance by blue-green algae in lake phytoplankton. *Science*, v. 221, n. 4611, p. 669–671, 1983.

- SMITH, V. H; TILMAN, G. D; NEKOLA, J. C. Eutrophication: impacts of excess nutrient inputs on freshwater, marine, and terrestrial ecosystems. Environmental Pollution, p. 179-196, 1999.
- SOARES, M. C. S., MARINHO, M. M., HUSZAR, V. L., BRANCO, C. W., & AZEVEDO, S. M. The effects of water retention time and watershed features on the limnology of two tropical reservoirs in Brazil. *Lakes & Reservoirs: Research & Management*, 13(4), 257-269. 2008.

Sobre a saúde humana. *Revista de Saúde Pública*, v. 36, n. 3, p. 370–374, jun. 2002. Disponível em: http://www.scielo.br/scielo.php?script=sci_arttext&pid=S0034-89102002000300018&lng=pt&tlng=pt.

SOONG, F. S et al. Ilnes associated with blue green algae. *The Medical Journal of Australia*, v. 156, p. 67, 1992.

TAVERA, R.; MARTINÉZ-ALMEIDA, V. Atelomixis as a possible driving force in the phytoplankton composition of Zirahuén, a warm-monomictic tropical lake. *Hydrobiologia*, v. 533, n. 1, p. 199-208, 2005.

TEIXEIRA, G. Z. Estabilidade Térmica e Química de Reservatórios: Um estudo de caso do Reservatório de Ribeirão das Lajes localizado no município de Piraí, RJ. 2020. Universidade do Estado do Rio de Janeiro, 2020.

TEIXEIRA, V. Análise da integração dos principais atores nos processos de decisão da bacia do rio Paraíba do Sul na escassez hídrica de 2014- 2015. Rio de Janeiro, 2018. Dissertação (Programa de Pós-Graduação em Gestão e Regulação de Recursos Hídricos) - Universidade do Estado do Rio de Janeiro, 2018.

TRAIN, S et al. Distribuição Espacial e Temporal do Fitoplâncton em Três Reservatórios da Bacia do Rio Paraná: Biocenoses em reservatórios: padrões espaciais e temporais. In: RODRIGUES, L., 167 S. M. THOMAZ, A. A. AGOSTINHO & L. C. GOMES (EDS). 2005, São Carlos, 2005. 73-85 p.

TSUTSUMI, T et al. Antiidiotype monoclonal antibodies against anti-microcystin antibody and the use in enzime immunoassay. Toxicon, v. 36, p. 235-245, 1998.

TUCCI, A; SANT'ANNA, C. L. Cylindrospermopsis raciborskii (Woloszynska) Seenayya & Subba Raju (Cyanobacteria): variação semanal e relações com fatores ambientais em um reservatório eutrófico. *Revista Brasileira de Botânica*, São Paulo, SP - Brazil, v. 26, p. 97-112, 2003.

TUNDISI, J. G. Água no século XXI: enfrentando a escassez. 2. ed. São Carlos: RIMA, 2003.

TUNDISI, J. G; MATSUMURA-TUNDISI, T. Limnologia. São Paulo: Oficina de Textos, 2008

TUPINAMBÁ, M; TEIXEIRA, W; HEILBRON, M. Neoproterozoic western Gondwana assembly and subduction-related plutonism: the role of the Rio 58 Negro Complex in the Ribeira Belt.. *Revista Brasileira de Geociências*, v. 30, p. 7-11, 2000.

UNIRIO. Aspectos limnológicos e de qualidade da água do reservatório de Ribeirão das Lajes. Universidade Federal do Estado do Rio de Janeiro - Núcleo de Estudos Limnológicos. 2006.

VASCONCELOS, V. Cianobactérias como fontes de compostos naturais de interesse biotecnológico. *Boletim da Sociedade Portuguesa de Biotecnologia*, v. 2, n. 5, p. 24–26, 2014.

VIALLE, C. et al. Monitoring of water quality from roof runoff: Interpretation using multivariate analysis. *Water Research*, v. 45, n. 12, p. 3765–3775, 2011.

Von SPERLING, M. *Introdução à qualidade das águas e ao tratamento de esgotos*. Belo Horizonte - MG: DESA-UFMG, p. 243.1996.

WHITTON, B. A; POTTS, M. The Ecology of Cyanobacteria. In: WHITTON, B. A; POTS, M. (eds). *Introduction to the cyanobacteria*. London: Introduction to the cyanobacteria, 2000.

YOO, R. S et al. *Cyanobacterial (Blue-Green Algal) Toxins: A Resource Guide.* U.S.A: American Water Works Association – Research Foundation, 1995. 229 p.

YUNES, J. S et al. Toxic blooms of cyanobacteria in the Patos Lagoon estuary, southern Brazil. *Journal of Aquatic Ecosystem Health*, v. 5, p. 223-229, 1996.

APÊNDICE A - Testes de Kruskal-Wallis aplicados a cada profundidade, entre cada parâmetro, a estação climatológica e em cada estação climatológica

	Su	uperfície					
Parâmetros	Estação climatológica	Tes	stes em cao	la estação cl	limatológica		
	p-value	p-value					
	p-value	Verão	Outono	Inverno	Primavera		
Densidade de cianobactérias	0,0011	0,1577	0,5463	0,4054	0,0357		
Aphanocapsa	0,0124	0,5531	0,9910	0,5386	0,0446		
Planktolyngbya limnetica	0,0000	0,1998	0,4455	0,6671	0,0821		
Lemmermanniella/Epigloeosphaera	0,0116	0,6149	0,1372	0,7549	0,2203		
Limnococcus	0,0023	0,5084	0,5463	0,4984	0,0347		
pH	0,0339	0,6211	0,3033	0,3453	0,6739		
Temperatura da água	0,0000	0,1577	0,0450	0,2773	0,1786		
Nitrato	0,0028	1,0000	0,7408	0,6514	1,0000		
$\mathrm{OD}_{\mathrm{SAT}}$	0,0003	0,3555	0,0795	0,7066	0,2231		
Clorofila- α	0,0047	-	_	-	-		
Nitrito	0,0223	_	=.	-	_		
Fósforo Total	0,0060	-	_	-	-		
Ortofosfato	0,0047						
Nitrogênio Amoniacal	0,1213	_	-	-	_		

	5	5 metros				
Parâmetros	Estação climatológica	Tes	tes em ca	da estação cl	limatológica	
	m violuo		p-value			
	p-value	Verão	Outono	Inverno	Primavera	
Densidade de cianobactérias	0,0069	0,4346	0,5849	0,7066	0,0907	
Aphanocapsa	0,2048	-	-	-	-	
Planktolyngbya limnetica	0,000	0,1998	0,1478	1,0000	0,1487	
Lemmermanniella/Epigloeosphaera	0,1455	-	-	-	-	
Limnococcus	0,0036	0,1025	0,1530	0,7335	0,0412	
pH	0,0041	0,7984	0,2030	0,2558	0,4914	
Temperatura da água	0,0000	0,1341	0,0429	0,0407	0,0347	
Nitrato	0,0017	1,0000	1,0000	0,6514	1,0000	
$\mathrm{OD}_{\mathrm{SAT}}$	0,0064	1,0000	0,0514	0,7066	0,2913	
Clorofila-α	0,0007	-	-	-	-	
Nitrito	0,0014	-	-	-	-	
Fósforo Total	0,3535	-	-	-	-	
Ortofosfato	0,0278					
Nitrogênio Amoniacal	0,3233	-	-	-	-	

	10	10 metros						
Parâmetros	Estação climatológica	Tes	tes em cac	la estação cl	ção climatológica			
	n volov	p-valeu						
	p-valeu	Verão	Outono	Inverno	Primavera 0,0721 - 0,0183 - 0,1929 0,3529 0,1414 - 0,0357			
Densidade de cianobactérias	0,0247	0,1998	0,2826	0,7897	0,0721			
Aphanocapsa	0,3731	-	-	-	-			
Planktolyngbya limnetica	0,000	0,3080	0,2346	0,4346	0,0183			
Lemmermanniella/Epigloeosphaera	0,3450	-	-	-	-			
Limnococcus	0,0023	0,1577	0,0835	0,2895	0,1929			
pH	0,0019	0,3830	0,7997	0,1795	0,3529			
Temperatura da água	0,0000	0,1167	0,0420	0,0601	0,1414			
Nitrato	0,9043	-	-	-	-			
$\mathrm{OD}_{\mathrm{SAT}}$	0,0007	0,1836	0,7275	0,1194	0,0357			
Clorofila-α	0,7380	-	-	-	´ -			
Nitrito	0,1231	-	-	-	_			
Fósforo Total	0,0071	-	-	-	_			
Ortofosfato	0,0165							
Nitrogênio Amoniacal	0,2240	-	_	-	-			

20 metros

	Estação climatológica	Testes em cada estação climatológica			
	p-value	p-value			
	p-value	Verão	Outono	Inverno	Primavera
Densidade de cianobactérias	0,0299	0,0719	0,0500	0,9862	0,5063
Aphanocapsa	0,0241	0,3340	0,4680	0,1489	0,5945
Planktolyngbya limnetica	0,0011	0,0821	0,1912	0,7335	1,0000
Lemmermanniella/Epigloeosphaera	0,6280	=	-	-	-
Limnococcus	0,0901	-	-	-	=
pH	0,0138	0,2213	0,1212	0,7756	0,1317
Temperatura da água	0,0000	0,0719	0,1484	0,0407	0,2546
Nitrato	0,0005	0,0916	0,5658	0,8071	1,0000
$\mathrm{OD}_{\mathrm{SAT}}$	0,0950	-	-	-	-
Clorofila- α	0,4375	-	-	-	=
Nitrito	0,0509	=	-	-	-
Fósforo Total	0,0158	-	-	-	-
Ortofosfato	0,0092				
Nitrogênio Amoniacal	0,0316	-	-	-	-